

50X1-HUM

INFORMATION REPORT INFORMATION REPORT

CENTRAL INTELLIGENCE AGENCY

This material contains information affecting the National Defense of the United States within the meaning of the Espionage Laws, Title 18, U.S.C. Secs. 793 and 794, the transmission or revelation of which in any manner to an unauthorized person is prohibited by law.

S-E-C-R-E-T

50X1-HUM

COUNTRY USSR

REPORT

SUBJECT Soviet Astronomical Publications and Reports

DATE DISTR. 19 October 1959

NO. PAGES 1

REFERENCES RD 50X1-HUM

DATE OF INFO.

PLACE & DATE ACQ.

SOURCE EVALUATIONS ARE DEFINITIVE. APPRAISAL OF CONTENT IS TENTATIVE.

Soviet publications

50X1-HUM

- a. Soobshcheniya Byurakanskoy Observatorii (Report of the Burakan Observatory), published by the Armenian Academy of Sciences, Yerevan, Vol. XXIV, 1958.
- b. Tekhnicheskoye Opisanie i Instruktsiya po Ekspluatatsii Fotographicheskoy Kamery C-180 i Spektralnoy Kamery C-180-S (Technical Description and Instruction on the Use of the Photographic Camera C-180 and the Spectrum Camera C-180-S); no author, publisher, or date given.
- c. Pylevye Sledy Bolidov (Dust Trails of Bolides), by I.S. Astapovich, reprinted from Uchebnye Zapiski Turkmenetskogo Gosudarstvennogo Universiteta im. A.M. Gorkogo, VI, 1956.
- d. On Hydrogen Emission in the Night Glow, by I.S. Shklovskiy; 1958; in English.
- e. The First Results of Investigations of Auroras on the Spectrum Camera C-180-S During the IGY, by L.S. Yevlashin; 1958; in English.
- f. A Discovery of Corpuscular Fluxes by Means of the Third Sputnik (Summary), by V.I. Krasovskiy, Yu. M. Kushnir, G.A. Pordovskiy, G.F. Zakharov, and E.M. Svetlitskiy; no date given; in English.
- g. Synchronous Aurora Registration by All Sky Camera C-180⁰ and Patrol Spectrograph C-180⁰-S (sic), by A.I. Lebedinskiy; no date given; in English.
- h. On the Reasons of Various Abundances of Hydrogen in Planets (sic), by A. I. Lebedinskiy; no date given; in English.

2. When separated from this report, the enclosures may be considered UNCLASSIFIED.

Distribution of Attachments:

OSI: (Atts.a and b previously disseminated). (cent direct)

50X1-HUM

50X1-HUM

S-E-C-R-E-T

50X1-HUM

STATE	X ARMY	X NAVY	X AIR	X FBI	AEC				
(Note: Washington distribution indicated by "X"; Field distribution by "#".)									

INFORMATION REPORT INFORMATION REPORT

ТЕХНИЧЕСКОЕ ОПИСАНИЕ

и инструкция по эксплуатации
фотографической камеры С-180
и спектральной камеры С-180-С

STAT



ТЕХНИЧЕСКОЕ ОПИСАНИЕ

и инструкция по эксплуатации
фотографической камеры С-180
и спектральной камеры С-180-С

В программе Международного геофизического года большое место занимает изучение полярных сияний. Арктика и значительная часть Антарктики покрыты сетью станций, фотографирующих весь небосвод в один и те же моменты времени. Многие из этих станций лежат друг от друга на расстоянии 100–500 км и расположены так, что при благоприятных атмосферных условиях на двух-трех станциях будут получаться фотографии одних и тех же сияний, фиксирующие их пространственное расположение.

Одновременно с фотосъемкой полярных сияний на ряде станций будет производиться спектрографирование, наблюдение радиолокационных отражений от сияний, фотографическое и измерение яркостей и некоторые другие, более специальные исследования.

Стоит отметить, что программа исследований понадобилась потому, что изучение сияний перспективно для понимания физической сутиности процессов в ионосфере и в случае успеха приведет к созданию методов прогноза ее состояния или даже откроет пути активного воздействия человека на верхние слои атмосферы и условий распространения в них радиоволн.

Принципиальная основа конструкции камер С-180 и С-180-S разработана исходя из опыта использования аналогичных приборов в Мурманской зимой 1949–50 г.г., описанного в Докладах АН СССР т. 102, № 3, 1955 г. В эту принципиальную основу были внесены, однако, существенные усовершенствования.

Вместо выпуклого зеркала в камере С-180 применена анаберрационная комбинация двух сферических зеркал — выпуклого и вогнутого, в результате чего, во-первых, удалось уменьшить кружок рассеянного практически до уровня определяемого aberrациями светосильного объектива фотокамеры и стало поэтому целесообразным применение 35-миллиметровой кинопленки, во-вторых, в промежутке между зеркалами оказалось действительное изображение небосвода, и это дало возможность сконструировать спектральный прибор С-180-S, сочетающий в себе разрешающую силу щелевого спектрографа с минимальными светопотерями и 180-градусным угловым охватом бесщелевого спектрографа.

Другим принципиальным усовершенствованием является комбинированный прибор камеры С-180, контролируемый контактным хронометром и поэтому обеспечивающий в случае надобности высокую точность синхронизации работы всех станций.

ОГЛАВЛЕНИЕ

	Стр
Краткая характеристика и основные данные камер C-180 и C-180-S	3
1. Назначение камер C-180 и C-180-S	3
2. Принцип работы	3
3. Основные данные фотокамеры C-180	3
4. Основные данные с квадратной камеры	4
5. Основные данные зенитной камеры	5
Часть первая	
ФОТОГРАФИЧЕСКАЯ КАМЕРА С-180	6
I. Оптическая схема фотокамеры С-180	6
II. Фотокамера	8
1. Конструкция фотокамеры	8
2. Кассета	10
3. Фокусировочная кассета	10
4. Крепление фотокамеры	11
5. Обогревательное устройство	11
III. Электрическая схема	11
1. Блок схема каменного прибора	11
2. Работа каменного прибора с различными хронометрами	12
3. Блок поправки хронометра	14
4. Работа на коротких выдержках	14
5. Блок шатовых искателей (ШИ)	15
6. Задание программы	16
7. Система синхронизации и контроля	17
8. Обогрев зеркал	19
9. Питание каменного прибора	19
10. Работа с сенситометром	19
11. Конструктивное оформление КП	20
IV. Зенитная фотокамера	20

Часть вторая

ЭКСПЛУАТАЦИЯ КАМЕРЫ С-180	22
I. Укладка, транспортировка и распаковка прибора	22
II. Наладка оптической системы	22
III. Включение и проверка командного прибора	23
IV. Установка головки	25
V. Работа с фотокамерой	26
Задание на съемку	26
Следование за съемкой	27
Зарядка батареи	27
Фокусировка фотокамеры	27
VI. Съемка полярных снимков	27
VII. Уход за фотографической камерой	29
1. Оптическая система	29
2. Электрооборудование	30
3. Фотокамера	30

Часть третья

СПЕКТРАЛЬНАЯ КАМЕРА С-180-С	32
I. Оптическая система камеры С-180-С	32
II. Фотоприставка	35
III. Особенности электрической схемы С-180-С	36

Часть четвертая

ЭКСПЛУАТАЦИЯ СПЕКТРАЛЬНОЙ КАМЕРЫ	38
I. Юстировка оптики	38
II. Съемка спектров полярных снимков и работа с фотоприставкой	38
III. Уход за спектральной камерой	39
1. Оптическая система	39
2. Фотоприставка	40
Приложение № 1 Характерные неисправности установок С-180 и С-180-С	41
Приложение № 2 Перечень обозначений на иллюстрациях	46
Приложение № 3 Перечень иллюстраций	

КРАТКАЯ ХАРАКТЕРИСТИКА И ОСНОВНЫЕ ДАННЫЕ
КАМЕР С-180 и С-180-С

Назначение С-180 и С-180-С

Обе камеры предназначены для исследования полярных сияний. Этими приборами оснащена сеть советских полярных станций во время Международного геофизического года (1957-1958 гг.)

Принцип работы

Принцип работы камеры заключается в следующем. Лучи от небесного света падают на выпуклое сферическое зеркало. Отразившись от него, они попадают на вогнутое сферическое зеркало расположенное над выпуклым. В фокусе первого зеркала (то есть в центре) получим изображение небесного света.

Б С-180 по изображению небесного света фотографируется фотокамерой через коллимационную линзу.

В спектральной камере С-180-С в плоскости изображения поставлена чаша, на которой в фокусе коллиматорного объектива параллельный пучок лучей после коллиматора попадает на дифракционную решетку, падающий снимок фотографируется фотокамерой.

Камера С-180 имеет угол зрения 180° и позволяет на одном кадре получать изображение всего небосвода, включая линию горизонта. Общий вид прибора показан на рис. 1.

Спектральная камера С-180-С позволяет получать на каждом снимке спектра луги вертикала длиной 180° (вертикалом называется большой круг небесной сферы, проходящий через две диаметрально противоположные точки горизонта и зенита). Головка прибора поверачивается для установки шели в любом вертикале. Общий вид прибора показан на рис. 2.

Управление работой фотокамеры — автоматическое, действия с дистанционным управлением, осуществляется от командного прибора (рис. 3), находящегося в лабораторном помещении и связанного с камерой многожильным кабелем. Командный прибор запускается контактым хронометром б-МХ, давшим полусекундные замыкания через 5 сек (предусмотрена такая возможность работы с обычным односекундным хронометром). Командный прибор обеспечивает одно- или десятимиутутные периодичности повторения заданной программы съемки, при определенном задании программы двух- или пятиминутную периодичность. Командный прибор может управлять двумя фотокамерами по двум разнозначным программам. Он имеет различные цепи питания от источников постоянного тока (аккумуляторов и анондых батарей) с напряжением 6,3-24 вольт и 300 вольт.



Наибольшее удаление съемочной части камеры от командного прибора (линия соединительного кабеля) - 90 м
Фотокамера заряжается периферийной 35-мм кинопленкой, защищенной в кассете - приблизительно на 3000 кадров (60 м).
Привод камеры - электрический, имеет 2 скорости.
Выдержки - 0,2 сек, любые в пределах от 0,5 л/с до 4,5 сек; кратные 1/2 сек или от 5 сек до 10 мин.

Оптическая система прибора с заключенной в герметичную камеру (объектив прибора) устанавливается на высокой треноге. Для работы в условиях низких температур фотокамера и сферические зеркала имеют теплозащиту.
Старайся между наблюдателями у места и у головки прибора осущест-
вляется при помощи телефона.

Для стабилизации полученных снимков в комплекте фотографического варианта камеры введен сенситометр типа ФСР-4, затвор которого ставится так, что может управляться командным прибором С-180. Сенситометр позволяет осуществлять стабилизацию снимков шкалами яркости и поверхности яркостей, которые впечатываются в начале каждого киноплёнки.

На спектральной камере С-180 С для стандартизации и получения одинаковой длины волн в каждый кадр автоматически через ступенчатый лабиринт впечатывается спектр неона.

В комплекте некоторых камер могут быть фотокамеры, дающие обычные снимки обеих леба близ зенита (рис. 22) и имеющие дополнением к прибору С-180, к которому эта часть поля зрения выделяется верхним зонтом.

Для инверсии изображения (изменение чувствительности) пленки толщиной 0,05 мкм в комплекте имеется специальная фокусировка. Фотоприставка вместе с гальванометром позволяет регулировать изменения вертикальной составляющей земного магнитного поля.

Фотоприставка может служить также фиксатором моментов срабатывания камер С-180, С-180 С и синхронизированных с ними установок (одного фиксированного и т. п.).

Основные данные фотокамеры С-180

Угол поля зрения - 180°, у зенита кружок диаметром 22° закрыт листом верхнего зеркала.

Диаметр изображения небосвода на плёнке - 20 см, эквивалентное кинескоп расстояние оптической системы - 7,65 мм, светосила оптической системы - 1:1,5, разрешающая способность не ниже 15'; вес прибора в упаковке - около 550 кг.

Основные данные спектральной камеры

Спектр - дифракционный, диапазон 3800-6500 ангстрем.

Дифракционная решетка (треплика) размером 60×50 мм, 1500 линий/мм отражает не менее 60% энергии в спектре I порядка при 1500 ангстрем.

Максимальная ширина щели спектрографа 10 мм; фокусное расстояние объектива камеры 52,5 мм.

Светосила объектива камеры 1:1,5
Диаметр 260 ангстрем
Разрешающая способность не ниже 15' при работе на желтой линии натрия в диапазоне 6 ангстрем
Вес прибора в упаковке около 750 кг

Основные данные зенитной фотокамеры

Светосила объектива 1:1,5
Фокусное расстояние объектива 13,75 см
Поле зрения - 22°
Вес в упаковке около 80 кг



Часть первая

ФОТОГРАФИЧЕСКАЯ КАМЕРА С-180

1 ОПТИЧЕСКАЯ СХЕМА ФОТОКАМЕРЫ С-180

Оптическая схема прибора показана на рис. 4.

Лучи, идущие от небесного свода, попадают на выпуклое сферическое зеркало 1, имеющее отверстие в центре.

Отразившись от него, лучи попадают на вогнутое сферическое зеркало 2, которое создает действительное изображение небесного свода на расстоянии 183 мм от своей вершины. Это изображение находится в фокальной плоскости коллимационной линзы 3, которая направляет свет на объектив фотокамеры 4, фокусируя его на бесконечность.

Объектив строит изображение небесного свода на кинопленке. В первом окне фотокамеры установлены вспышивающиеся в кадр концентрическими методом сетки, состоящая из концентрических окружностей, на синий через 15°, и перекрестия под углом 90°. Сетка эта служит для точного определения на негативе зенитных расстояний.

Диаметр выпуклого сферического зеркала 450 мм, оптический диаметр 398 мм, диаметр отверстия 45 мм, радиус кривизны 373 мм.

Диаметр вогнутого сферического зеркала 202 мм, оптический диаметр 197 мм, радиус кривизны 291 мм. Оба зеркала изготовлены моллированием. Их поверхность покрыта алюминиевым отражающим слоем с эмалью стойким покрытием, обеспечивающим большую механическую прочность зеркальной поверхности.

Диаметр коллимационной линзы 50 мм, фокусное расстояние 350 мм.

Объектив фотокамеры «Юпитер-3» представляет собой семилинзовый анастигмат со светосилой 1:1.5, фокусным расстоянием 52.5 мм и забином отрезком (расстоянием от опорного торца объектива до киношника) 28.8 мм. Разрешающая способность объектива в центре поля зрения 35 штрихов/мм, на крае 20 штрихов/мм.

Поверхности коллимационной линзы и линзы объектива просветлены.

Радиусы кривизны выпуклого и вогнутого зеркал подобраны так, чтобы исправить все aberrации третьего порядка (за исключением линзин), до уровня aberrаций объектива «Юпитер-3». Выпуклое зеркало склонено в оправе головки на вольфрамовой прокладке 5 (рис. 5) и является двупреломляющей верхней крышкой термоэластической камеры, в которой расположена фотокамера. Зеркало удерживается от сдвига и центрируется при помощи фасонного проводящего колышка, которое в свою очередь, стопорится винтами 6, расположеннымими по окружности оправы зеркала.

Под зеркалом находятся пять обогревателей 7, два терморегулятора 8. Г-образная стойка оправы коллимационной линзы 9.

Коллимационная линза закрепляется в оправе гайкой, а сверху на нее навинчивается колпачок с винтом 6, при помощи которого плотно прижимают колпачок к внутренней поверхности керамической головки, дающей необходимую герметичность головки. Технология

Оправа верхнего сегмента головки при помощи трех стоеч 11 (рис. 6). Верхнюю керамическую головку при помощи винта 12 (рис. 7), предохраняющего ее от проникновения снега, воды и пыли. Кроме того, на головку надета термозащита (рис. 8).

В нижней части оправы головки, наружу вывинчиваются крышка 13 (рис. 7), предохраняющая головку от проникновения снега, воды и пыли. Кроме того, на головку надета термозащита (рис. 8).

На нижней стороне оправы головки и прибора (рис. 8) помещены выключатели облучения 14, а также кулишки, розетки для включения отметников «север-юг» 15 и переменной лампочки 16, а также теплостойкий разъем 17, в который вставляется телевизионный фотокабель. Кабель имеет импульсные 3-битные коды, дающие сигнал на камеру, на которую надевается крышка термозащиты (рис. 9).

На основании головки на удалении 180 мм от головки устанавливается отметники «север-юг» 17 (рис. 8).

Ометчики представляют собой кольца, близкие к элипсам, относящиеся к бесконечности. Каждое кольцо имеет две розетки с винтовыми лампочками. Изображение каждого кольца имеет форму элипса с одинаковой толщиной, соединяющейся в центре. Кольца имеют разную толщину, и поэтому отметники, помимо функции ориентации, дают возможность определения яркости Камандыны. Кабель, соединяющий головку с прибором, имеет длину 10 метров и имеет форму кольца, что позволяет избежать перекручивания кабеля.

Для герметизации головки, оправа головки служит зеркало 18 (рис. 5) состоящее из пяти металлических отливок. Ось зеркала головки устанавливается горизонтально, а зеркало — вертикально, поэтому угол 15° от рифескому уровню. Оправа головки имеет отметчики, предохраняющие ее от замерзания, и весь узел, соединенный из основных головки с прибором, имеет длину трех стоеч и оправы верхнего сегмента головки.

Головка устанавливается на тройке, головка имеет три оптических отверстия, снабженные зеркальными щитами. Каждое из трех отверстий имеет диаметр 35 мм и имеет обечайки, облицованные зеркальной пленкой. Широкоугольный зеркальный щит установлен для зеркала 20 (рис. 6). Для этого зеркальный щит прикреплен к фокусирующему кольцу нога кольца, и зеркальный щит имеет зеркальную пленку. К зеркальной поверхности кольца прикреплены три оптические щиты, прикрепленные другим зеркальным щитом, и зеркальный щит имеет переходная колодка с тремя болтами (рис. 21). К зеркальной щите кабель идет из головки прибора и входит в зеркальный щит. В зеркальном щите устанавливается при помощи штепсельного разъема. К головке прилагаются 5 светофильтров: 3 синих и 2 цветных. Серийные номера имеют края № 310 и № 30.

Желтый светофильтр установлен в оправе № 18 и имеет края № 3100 и № 6000 антег. № 8. Г-образная стойка оправы коллимационной линзы 9.



жемый светофильтр (стекло ОС-12) имеет ширину 5500 ангст и
5700 ангст, (ширину минимальной длины в лице, пропускаемая данным
фильтром, / длина волны максимального яркости камня)

II. ФОТОКАМГРА

Фотокамера рассчитана для работы на 35 мм перфорированной киноплёнке с зарядкой её в кассете.

Включение фотокамера приводится электродвигателем типа 121Ф. Напряжение питания 26-28 вольт, сила потребляемого тока 2,5 а, ток на головной, режим работы - импульсный или непрерывный 5-10 а в импульсе, 13000

себя фотом в минуту 13000. Фотокамера имеет две скобы для крепления на пленке. Кассета фотокамеры расположена в виде квадрата. Диаметр изображения минутного пояска цифроваты на пленке 25 см.

Виджет и количество снимков зависят от видом прибором. Фотокамера термостатирована, что обеспечивает бесперебойную работу.

Корпус фотокамеры 21 (рис. 10) представляет собой литую коробку, внутри которой смонтированы механизмы фотокамеры. На наружной стороне корпуса со стороны объектива на смешанной головке обтюратора 23 (рис. 11), объектив 21, шестерни фокус-форс 25 и негативирования 26, коробка с часами 27, обогреватель и терморегулятор 22 (рис. 10), шестерни кинескопа 28 (рис. 11), и на концах тела камеры обтюраторы 29, терморегуляторы системы обогрева камеры 30. Внутри горючка находятся оптический механизм, обтюратор, коробка скор и бинокуляры.

На боковой стенке спаруэжи (рис. 12) имеется винтовой хвост 33 с креплением фотокамеры в головке. На противоположной стенке спаруэжи валики 31 диафрагмированы и фиксируются объективами (один из которых) в маховиках 32 и 31 (рис. 11), снабженными тормозами. На противоположной стенке хвостовик винта, винт, винты на 35 (рис. 12).

ним. На третьем стекле укреплены винты, защищенные от брака (рис. 12).
К корпусу винтами крепится крышка с паружной стороны, которой
сменяется кнопка замка кассеты З-12, мало винтов переворота скло-
неней 37, кнопка 39 несущего диска из пластика, центрально-выключатель
автоматического разъема 40 (НР) для подключения внешних импульсов, на-
реждения сигналов электродвигателя и обратного и электрического выключателя З-
с различными и кулачковыми механизмами с контактами 42.

На рис. 12 виден также трек 13 с грифелем 14.

Рассмотрим кинематическую схему камер (рис. 13). Вращение от электродвигателя 43 через муфту 46 и чайник 47 передается на редуктор, имеющий число оборотов Редуктор состоит из чайника 47, чайника 48 и колеса 48 пары конических 49 и 50 и пары цилиндрических шестерен

Помимо этого, коробки с шестернями 54 и 55 могут передвигаться.

Первичный вал коробки с шестернями 54 и 55 может вращаться в основном направлении рывка, созданным с машиноческим переключением скоростей. При этом шестерня 53 и 54 всегда находятся в зацеплении. Вторичный вал через шестерни 59 и 57 приводит в действие обогреватель и тумблер генератора, сообщающий последнему направление по часовой стрелке. Через червяк 58, первичное колесо 59 и шестерню 60 вторичный вал коробки вращается в связи с механизмом касеты (его работа описана в разделе «Касета»).

В положении, показанном на рис. 13, шестерня обмотчика приводится во вращение изнутри 53-54-55-56-57.

Предлагая первичный сигнал ввода в заполнение шестерни 54 и 61 (шестерни 55 и 56 при этом вращаются), получаем следующую схему передачи усилия 1:3:1 от 56:57. При этом передаточное число изменяет

Таким образом, имея в распоряжении возможность изменять скорость вращения обтюратора, В.Ф. Соколов при поступлении на электродвигатель от КИ имел возможность вращать его не более 0,5 сек обтюратор совершающий поворот на 180° (один половорот) — на 360° (Полтора). Отсюда видно, что при заданной скорости вращения обтюратор должен быть закрыт, с риской не более 0,5 секунд, т.е. в течение 0,5 секунд на треке, и противном случае поддается перевороту вправо или влево.

Крестьянина t_1 «фара» имеет из «старых» выдачки, скользящие по деревянной поверхности, и из «старых» гравийных. Последняя не является плоской и состоит из выступающих частей, вдавленных переходящей в более понижен-

Размеры и расположение выступающей части шайбы гренфера подобраны таким образом, что при рабочем ходе гренфера левая шаровая выставка попадает в повышенную часть торцевой поверхности шайбы гренфера. Вследствие этого гренфер повергается вокруг направляющих тубусов грибовиду в изогнутом положении и пленки проигрывают ее на один кадр. Наоборот при ходе гренфера вправо (в обратном направлении) правая шаровая выставка крючковидного гренфера попадает на выступающую часть шайбы гренфера, левая шаровая выставка — в повышенную часть. Тогда гренфер, поворачиваясь вокруг направляющих, выходит из перфорации пленки и поднимается вверх. В этот момент секторный видоискатель открывается кадровое окно и происходит экспонометрирование. Во время поворота обогревателя через специальную оптическую систему фотографируется изображение часов.

Выдергивка фотографированием часов всегда одинакова (при данной скорости пришивания пленки) и не зависит от программы съемки, даваемой командным прибором. Экспозиция часов определяется приемом подсветки, которая высвечивается и выключается кулачковым прерывателем 42 (рис. 12).

тедем 4 (рис 12).
Оптическая система для фотографирования часов состоит из двух неподвижных линз, расположенных на оптической оси объектива, смонтированных в большей коробке на передней стенке камеры. Внутри этой коробки имеются две лампочки для освещения часов. Фотографирование часов производится во время поверки оптического прибора.

О работе контактов и кнопки будет сказано в описании электрического

ской в сопле. При отсутствии сопла сопло автоматически включает сопло гравитации.

Температура камеры определяется вспомогательным электроподогревом сопла.

2. Кассета

Кассета (рис. 16) имеет форму квадрата со стороной 63 и верхом 45 мм.

На днище кассеты имеются пазы для установки матового стекла, распо-
ложенного на дне кассеты. Для предотвращения смещения матового стекла
на кассете установлены пружинные ограничители, расположенные в пазах.
Справа от центра кассеты имеется отверстие диаметром 65, при
помощи которого кассета может быть закреплена на раме разъема.
Все края кассеты обработаны так, чтобы избежать образования стопоров
при ее установке в камеру. Кассета имеет отверстия для выхода пары
и для подачи воздуха в камеру. В кассете имеется отверстие для обтекания ме-
ханизма.

Боковые края кассеты имеют выступы в виде защелок. Края кассеты с боковыми выступами могут быть склеены в виде U-образного контура.

На кассете имеется механизм для автоматического наклонения кассеты на 45° при ее установке в камеру на заряженную бобину. Для этого на кассете имеется отверстие диаметром 60 м, на че-
мый вставлено кольцо, которое при наклонении кассеты на 45° огибает верхнюю краину
обмотки и блокирует механизм наклона.

Боковые края кассеты имеют отверстия для выхода пара в перфо-
ратированной пленке. Кассета имеет отверстия для выхода пара из-под краев
кассеты. При работе кассета может быть повернута на 90°.

Кассета имеет отверстия для выхода пара из-под краев кассеты, вставляемые
в центральную щель в кассете. При работе кассета вращается в шарнире фиксатора кассеты. Кассета, вращаясь, передает
шарниру кассеты вращение, которое в свою очередь передается в движение
лентоподавляющей головке и зеркалу.

Одновременно с вращением кассеты зеркало (рис. 74) на шестерне
но 75, на вале которой имеется одна бобина, Связь оси шестерни
с бобиной осуществляется с помощью ремня. Перед каждым числом от меж-
дуном кассеты на шестерне имеется заслонка, заблокированная таким образом, что
бы даже в начале работы зеркала заслонка не могла бы помешать имеется неиз-
менительное количество пленки с одинаковым наибольшим диаметром, окружа-
ющей зеркало. Старт зеркала производится с помощью зеркальной пленки, протягивающейся
пленкой. Вследствие этого зеркало получает от бирюзовой до принимаю-
щей бобины кассеты движение вперед. Присоединение при-
нимаемой бобины к фокусировочной кассете и от шестерни погашает
разницу в числах, заложенных в приборе, начиная с бобины. Поддающая
бобина сидит на валу зеркала. Тяжелое зеркало, пленка на уча-
стке между бирюзовым и первым зеркалом, зеркало находятся под на-
тяжением.

3. Фокусировочная кассета

Для фокусировки объектива в кассете фокусировочная кассета (рис. 16) вставляемая на место основной кассеты. При этом плоскость

матового стекла 76 становится в плоскость изображения объектива и
прижимается пружинами к труну камеры.

Изображение на матовой поверхности рассматривается через м-
рокоп, имеющий следующие параметры:

- а) увеличение микроскопа 5,1²,
- б) разрешающая способность около 0,01 мм,
- в) диаметр поля зрения 30 мм,
- г) диаметр выходного отверстия 6 мм.

Окуляр фокусируется маховиком 77 по имеющемуся на матовом
стекле перекрестью и крепится пажинным винтом 78.

4. Крепление фотокамеры

Конструкция детали крепления позволяет производить быструю
удобную съемку и установку камеры на наружной произведенной ран-
коупорки.

Фотокамера крепится к кронштейну 79 (рис. 8) в котором име-
ется под ласточкин хвост винт 80 и Г-образным приже-
мом 81.

5. Обогревательное устройство

В обогревательное устройство входит

- а) обогреватели,
- б) терморегуляторы,
- в) терmostатическая камера

Для обеспечения герметичности фотокамеры на нее надевается
терmostатическая камера (рис. 9), которая плотно прижимается к обол-
очка головки четырьмя замками. Терmostатическая камера пред-
назначена для металлических кожухов выложенных инструментальном
теплоизоляции.

При фокусировке фотокамеры, смене кассет, выоде часов, и са-
ми диафрагмами, зермётре аппарата и т.д терmostатическая камера со-
вместа

Полости большого зеркала соединяются с терmostатической ка-
мерой образуя единую термосеть. Обогрев его осуществляется обогре-
вателями фотокамеры и 5-ю обогревателями 7 (рис. 5) большого зеркала,
имеющими выключатель 82 (рис. 8) на нижней стороне основания з-
еркала. Все обогреватели работают от напряжения 24 в. Терморегулято-
рь включают обогреватели при температуре 0°C и выключают при +10°C.

III ЭЛЕКТРИЧЕСКАЯ СХЕМА

1. Блок-схема командного прибора

Принципиальная электросхема фотокамеры С-180 и С-180 S пока-
нана на рис. 31. Пунктиром обозначены узлы, не входящие в состав С-180 S.

Командный прибор (рис. 3) обеспечивает автоматическую рабо-
ту фотокамеры по заданной программе. Прибор рассчитан на эксплуатацию
при комнатной температуре. На вход командного прибора (КП) по-
следовательно подаются импульсы контактов хронометра поступают импульсы
длительностью $\frac{1}{2}$ сек. При использовании хронометра дарьеца



автоматически. Контакт 112 необходимо заключить блок преобразователя времени в схему замикации контакта 3.

На рисунке 30 показано схемное устройство блока поправки хронометра. Оно содержит схему замикации контакта 3 и схему на рис. 30.

Принцип работы схемы замикации контакта 3 следующий. Шагово-импульсный хронометр (ШИХ) срабатывает один раз в секунду (рис. 15). В это время открывается контакт 112 минуты. Напряжение с этого контакта подается на контакт 3 схемы замикации (ШИЗ) таким образом, что при открытии контакта 112 минуты схема замикации при каждом движении ШИХ замыкает контакт 3. Реле ШИЗ также имеется в схеме замикации контакта 3. Ее схема показана на рисунке 30. Реле ШИЗ также имеет контакт 112 минуты, который открывается при каждом движении ШИХ. Контакт 112 минуты схемы замикации контакта 3 имеет открытие или замыкание в зависимости от положения лампы 111 (рис. 15).

ШИЗ работает в соответствии с заранее установленной программой работы. Для этого в схеме замикации контакта 3 имеется контакт 112 минуты, который может быть открыт или замкнут в зависимости от напряжения на нем.

Схема замикации контакта 3 имеет возможность работать на любых двух якорях по позициям 1 и 2. Контакт 112 минуты схемы замикации контакта 3 срабатывает для замыкания контакта 3, а контакт 112 минуты схемы замикации контакта 3 срабатывает для открытия контакта 3.

Схема замикации контакта 3 имеет возможность работать с фотокамерами и в по-

дходе к ШИХ с помощью хронометра ФИА.

Рассмотрим схему замикации контакта 3 в случае отсутствия условий командного управления.

2. Работа схемы замикации контакта 3 с различными хронометрами

На рисунке 31 показано схемное устройство замикации контакта 3 с хронометром РИ. Схема замикации контакта 3 включает в себя блок замикации, током из которого питается хронометр РИ. Продолжает ток от источника питания контакт 112 минуты. Напряжение с этого контакта подается на контакт 3 схемы замикации контакта 3. Контакт 112 минуты схемы замикации контакта 3 имеет открытие или замыкание в зависимости от напряжения на нем. Меньшее сопротивление лампы Л1 (рис. 15) (без присоединения параллельно) работает как усилитель тока (катодный повторитель).

Пока напряжение на С1 не достигло величины, достаточной для за-

ятия контакта 3-1 IV, реле Р1 начинает срабатывать. Время срабатывания реле Р1 определяется замыканием контакта 3-1 IV Р1, благодаря чему ток через обмотку Р1 проходит в токи и тогда, когда контакты Я и П уже замкнуты лампа. При срабатывании Р1 замыкаются его контакты 2-3 II, в результате чего конденсатор С15 (рис. 18) начинает заряжаться во время падения напряжения на якорь питания, сопротивления R1 и R2, контакта 3-2 II Р1, контакта якоря С1, минус источника анодного питания. Лампа Л1 (рис. 15) (без присоединения параллельно) работает как усилитель тока (катодный повторитель).

Пока напряжение на С1 не достигло величины, достаточной для за-ятия контакта 3-1 IV, реле Р1 начинает срабатывать. Время срабатывания реле Р1 определяется замыканием контакта 3-1 IV Р1, благодаря чему ток через обмотку Р1 проходит в токи и тогда, когда контакты Я и П уже замкнуты лампа. При срабатывании Р1 замыкаются его контакты 2-3 II, в результате чего конденсатор С15 (рис. 18) начинает заряжаться во время падения напряжения на якорь питания, сопротивления R1 и R2, контакта 3-2 II Р1, контакта якоря С1, минус источника анодного питания. Лампа Л1 (рис. 15) (без присоединения параллельно) работает как усилитель тока (катодный повторитель).

Пока напряжение на С1 не достигло величины, достаточной для за-ятия контакта 3-1 IV, реле Р1 начинает срабатывать. Время срабатывания реле Р1 определяется замыканием контакта 3-1 IV Р1, благодаря чему ток через обмотку Р1 проходит в токи и тогда, когда контакты Я и П уже замкнуты лампа. При срабатывании Р1 замыкаются его контакты 2-3 II, в результате чего конденсатор С15 (рис. 18) начинает заряжаться во время падения напряжения на якорь питания, сопротивления R1 и R2, контакта 3-2 II Р1, контакта якоря С1, минус источника анодного питания. Лампа Л1 (рис. 15) (без присоединения параллельно) работает как усилитель тока (катодный повторитель).

Реле Р1 сопротивляет напряжению на якорь питания. Цепочки якорей R1, R2 и С1 подключаются таким образом, чтобы напряжение на пластине конденсатора, достаточное для выключения стабилитона, достигалось через 1,7 секунды после начала срабатывания, т. е. после замыкания первого импульса схемы замикации контакта 3.

Подбор времени замикания С1 осуществляется переменным сопротивлением R1, выведенным под пластины и отрегулированным на завод. Таким образом, вследствие «вызывания» реле Р1 схема по чувствительна к импульсам, приходящим от хронометра во вторую, третью и четвертую ее секунды.

При загорании стабилитонов Л1 конденсатор С1 разряжается по цепи, положительная пластина конденсатора, стабилитон, сопротивление R1, отрицательная пластина. На сетке Л1 создается положительный потенциал за счет падения напряжения на R1, открывающий лампу. Анондийский ток увеличивается и, проходя через обмотку Р1, вызывает его срабатывание.

Цепь разряда С1, регулирующаяся сопротивлением R1, подбирается таким образом, что лампа Л1 остается полностью открытой в течение $\frac{1}{2}$ сек. в таком же промежутке времени, как и продолжительность замыкания контактов хронометра. Сопротивление R1 выведено под шину на шасси.

При срабатывании Р1 замыкаются контакты 3-1 IV и через переходную схему В, находящуюся в цепи зажигания «гэз поправки», на обмотку У ШИС подается напряжение питания и ШИС срабатывает, как и в предыдущем случае, при использовании 5-секундного хронометра. Одновременно с замыканием 3-4 IV реле Р1 размыкаются контакты 1-2 II,



и результате чего цепь обмотки Р₄ обесточивается и контакты 3-4 IV р размыкаются.

По окончании импульса тока через лампу контакты Р₃ возвращают ся в исходное положение и схема, приобретя первоначальное состояние становится вновь чувствительной к импульсам от хронометра.

Так как описанный цикл длится 5 сек и во время цикла схема нечувствительна к сигналам от хронометра, поступающим каждую секунду, то НИС будет срабатывать 1 раз в 5 сек, что и требуется для нормальной работы.

3. Блок поправки хронометра

Так как по рекомендации переводить стрелки хронометра, а с рабочей схемой (переключатель В₁ в конец выдержки) должно происходить во мнозначительные промежутки времени с точностью ~0,5 сек, как это требуется отечественными требованиями по наблюдению подвижных сдвигов, поправка на нее должна осуществляться хронометром непосредственно в КП, для этого имеется блок поправки.

Время стоянки переключателя В₁ стоит в положении «с поправкой», переключатель В₂ стоит в положении, соответствующем применению нормы времени, переключатель В₃ остается в положении «длинные цифры» (стоп-часы), контакты I-3 переключателя В₄ на лампу Л₈₉ (рис. 84) включены, вспышка пылесоса.

Блок поправки хронометра в связи с рассмотренной выше схемой управления лампами импульсов и работает с тем отличием, что пространство между началом работы может регулироваться оператором при помощи Р₄ (рис. 18) именно то что на переднюю панель пульта.

Рассматриваемая схема является логикой задержки сигналов и вносят поправку в том случае, если хронометр спешит в пределах 5 сек.

В случае отставания хронометра в пределах 5 сек поправка может быть получена путем перевода НИС на I деление, вперед, что эквивалентно чистке отставшего хронометра на хронометр спешений с после включения таймера импульсами схемы поправки, как рассмотрено выше.

Схема поправки может вносить задержку не более 4,5 сек. В случае разхождения хронометра с истинным временем на величину более 5 сек поправка вводится следующим образом: при помощи соответствующего переключателя НИС и НИМ компенсируется доля разхождения кратная 5 сек или целой минуте, оставшаяся часть (в пределах 5 сек) компенсируется ламповым схемой. Перевод НИС и НИМ осуществляется с помощью кнопок «Настройка».

4. Работа на коротких выдержках

Мы рассмотрели режим работы ламповых схем в случае, когда на электродвигатель фотокамеры импульсы подаются через промежутки времени кратные 5 сек (длинные выдержки).

Для получения выдержек от $\frac{1}{2}$ до 1,5 сек переключатель В₁ ставится в положение «короткие», а В₂ в положение «без поправки». При этом включается пылесос Л₂.

Импульс от хронометра идет на ШИМ при замыкании 3-4 IV реле Р₃. Одновременно этим импульсом запускается схема поправки, при срабатывании которой на ШИМ поступает второй импульс через контакт

на 3-4 IV реле Р₄, контакты 3-4 В₂ и 6-1 В₃. Время задержки импульса регулируется при помощи Р₄.

Такая последовательная пара импульсов, подаваемая на фотокамеру, позволяет осуществить выдержки от $\frac{1}{2}$ до 4,5 сек (первый импульс открывает фотограф, второй закрывает его). Следует отметить, что частота хода шаговых испытателей при этом уменьшается. Это необходимо учесть при задании программы.

Когда две выдержки в 0,2 сек можно получить также путем установки фотокамеры на I скорость. В этом случае открытие и закрытие фотокамера осуществляется за один цикл срабатывания.

5. Блок шаговых испытателей (ШИ)

НИС 91 (рис. 18) содержит в своем циклическом контактном устройстве последовательную цепь из четырех замылок.

Инициальную вспышку пульта на общий контакт ШИ, «закрывая» этот контакт, переключатель в его положении В₂ С В₃ применяется шаговым испытателем типа НИС II, имеющим 10 рядов по 14 одиночных контакта и 4 ряда замылок.

Все НИС командного прибора имеют одинаковую конструкцию. Из одной из движущих контактов шаговых испытателей находятся шкалы с 12 делениями, показывающие положение подвижных контактов. НИС имеет 12 замылок и 4 подвижных контакта и замыкается один раз за 5 сек обеспечивая периодичность работы НИС в 1 мин.

Выходные цепи для работы НИС и НИМ имеются резервные комплекты шаговых испытателей, работающие параллельно рабочим и имеющим десятикратное переключение В₁, В₂ и В₃. Резервные НИС и НИМ принципиально отличаются в боязнице неподвижности, а показания тоже при обмотке А и В неции включены подвижных контактов.

Для обеспечения 10-минутной периодичности работы фотокамера имеется НИМ. Последний как НИС содержит полный цикл работы, 12 срабатываний. НИМ переключается на одну ламель. Достигается это следующим образом: при переходе подвижного контакта НИС на ламель, снятую из гнезда, в ту же мгновение, на обмотку однократного реле Р₆ подается напряжение и цепь плюс источника питания реле, если малогабаритный контакт, замыкающийся во время срабатывания НИС, контакты 4-2 В₂, подвижный контакт НИС, обмотка Р₆, Р₄, минус источник питания реле. При этом через контакты 3-4 IV реле Р₄ источник питания подключается обмотка У₂, вспышки ШИМ переключаются на одну ламель.

Так как для ШИМ выбрана 10 минутная периодичность, а он имеет 12 ламелей, то необходимо обеспечить «перескок» через 2 ламели. Этот перескок совершается на пульской и 5 минуте 10-минутного интервала.

Когда подвижной контакт НИМ находится на «одной из ламелей» (кроме пульской и пятой), работа его совершается, как описано выше. Если подвижной контакт НИМ передает на пульзовую или пятую ламель то через 10 сек пульзовый контакт на ШИМ замыкает цепь плюс источника питания реле, вспомогательные контакты на ШИС, контакты 1-2 В₂, подвижный контакт НИС, стоящий в положении «10 сек», нормально замкнутый выключатель В₂ «перескок» Р₄, обмотку Р₆ с выводами 3-4, по движной контакт ШИМ, стоящий в положении, соответствующем пульзовому или пятой минуте, контакты 2-4 В₂, минус источник питания реле



В результате этого замыкаются контакты 3—4 IV реле Р₁ и этим самым подается ток на обмотку ШИМ, заставляя его подвижный контакт перейти с нулевой или пятой лампой на следующую.

Для обеспечения безотказной работы схемы перекоса обмотки размыканиями 1—2 включается на выдержку, чтобы предотвратить размыкание Р₁ при обесточивании обмотки 3—4 что неизбежно происходит при перекосе.

Так как в данном случае ток может отвечаться от вывода 4 обмотки Р₂ в сторону по цепи обмотки Р₁, минуя источник питания реле, то избежание параллельного срабатывания Р₁ и Р₂ в цепи их обмоток включены ограничительные сопротивления R₁₁, R₁₂, R₁₃ по 2 кОм.

Если ток проходит по более чем через одно ограничительное сопротивление, то это не скаживается на нормальной работе реле. На обмотку часового шагового исполнителя (ШИЧ) реле в 5 мин поется импульс через 3—4 IV реле Р₁, срабатывающего при нахождении подвижного контакта ШИМ на лампах перекоса (нулевая и пятая мин). Периодичность вращения замыкается во времени пени оператора может использовать выводы III и IV. С один из замылок ШИЧ счищает электромагнитный счетчик φ , отмечающий общее количество часов работы прибора и КП.

6 Задание программы

Задание программы работы фотокамер сводится к заданию времени начала и конца каждой выдержки.

Рассмотрим работу I программы.

Начало и конец выдержки обусловливается подачей импульса хронометром длительностью 0,5 сек на мотор фотокамеры, причем каждый импульс последовательно вызывает открытие или закрывание фиксированного контакта какого-либо контакта ШИС и ШИМ, соответствующие моментам времени выбранной программы съемки. Когда подвижные контакты этих шаговых исполнителей будут находиться на лампах, соответствующих замыканиям, выключателям, на обмотку предыдущего реле Р₀ будет подано напряжение во время плюс источника питания реле, вспомогательные контакты ШИС, замкнутые при подаче импульса от хронометра, контакты 4—2 В, подвижный контакт ШИМ ламель, замкнутый выключатель, контакты 4—2 В (выключатель В₀ разомкнут), подвижный контакт I программы ШИМ, ламель, замкнутый выключатель Р₀ минута источника питания обою.

Выключатель В₀ замыкается при необходимости исполнения 1-минутной периодичности или неисправности ШИМ. В этом случае ток идет минуя ШИМ и схема работает с периодичностью, обусловливаемой лишь продолжительностью цикла работы ШИС.

При срабатывании Р₀ через контакты 3—4 IV замыкается цепь питания обмотки выходного реле Р₁.

В нормальном состоянии при отсутствии импульса тока от источника питания электродвигателя через замкнутые спараллеленные контакты 2—1 и 5—4, реле Р₀ и 26-штырьковый штепсельный разъем идет на об-

огреватели фотокамеры ОБ с последовательно подключенным к ним терморегулятором ТМ.

При срабатывании Р₀ обогрев фотокамеры выключается и ток через контакты 2—3, 5—6, выключатель В₀ («Мотор 1») поступает на электродвигатель фотокамеры I программы, открывая или закрывая фотозатвор и протягивая плёнку. Замыкается та же пятая выключатель ШИС, можно поступить в течение минуты несколько различных выдержек с различными интервалами. В пределах 10 минутного интервала выбор нужных минут, в которые осуществляется съемка производится замыканием соответствующих выключателей ШИС.

Контакты КП электродвигателя управляются кулачком, сидящим на одной из осей редуктора, и являются блокировочными. За время импульса командного прибора кулачок поддерживает цепь питания электродвигателя замкнутой до тех пор, пока он не займет первоначального положения. Перед началом съемки для проверки работы электродвигателя или для протягивания плёнки цепь питания может быть включена минута током Р₀ путем замыкания кнопки КП «Мотор 1». Выключатель В₀ служит для выключения цепи питания электродвигателя.

Вторая программа, цепь которой состоит из другого ряда контактов ШИС, реле Р₀ и Р₁, работает аналогично.

Описанная электросхема позволяет задать следующие программы съемки:

а) все выдержки и все промежутки между ними кратны 5 сек (1 скорость электропривода).

б) выдержки кратны 5 сек, а промежутки от 0,5 до 4,5 сек (1 скорость),

в) выдержки от 0,5 до 15 сек, а промежутки кратны 5 сек (1 скорость),

г) выдержки 0,2 сек, а промежутки кратны 5 сек (II скорость)

д) выдержки кратны 5 сек, а промежутки 0,1 сек (II скорость).

Цепочки, состоящие из конденсаторов С₁—С₄ сопротивлений R₁₀, R₁₁, R₁₂, R₁₃ или этих непрерывательных и пристраиняют нагрузочные контакты от обогрева.

7. Система сигнализации и контроля

Для наблюдения за работой КП и управляемых им узлов предусмотрена система сигнализации и контроля жесткой лампочки «Камера» ЛН₁ для I программы и ЛН₂ для II программы (сгорается при срабатывании при первом реле и служит для контроля подачи импульса на фотокамеру). Она позволяет также контролировать соответствие работы шаговых исполнителей заданной программе. Продолжительность ее горения должна быть не менее импульса в этой цепи — 0,5 сек.

Лампочка «З: втир» (ЗН₁ для I программы и ЗН₂ для II программы) включается контактами КП₁ (КП₁ для второй программы), обогрева фотокамеры и сигнализирует о том, что фотозатвор закрыт.

Цепь питания красной лампочки «Перемотка» (ЛН₃ (ЛН₄) замыкается через контакты КП₁ (КП₂) кассеты фотокамеры во время переворота. После переворота сведенной лампочкой включены лампочки освещения часов ЛН₅ и ЛН₆ (ЛН₅ и ЛН₆). Напряжение накала лампочек регулируется реостатом R₁₄ и R₁₅. Освещение часов 94 и 95 (рис. 18).



Ввиду того, что на пленке высокой чувствительности изображение часов получается передержанным, лампочки защищированы постоянными сопротивлениями R_1 и R_2 .

Напряжение на катоде лампочек определяется часовой и зеленой лампочкой от 24 вольтовой сети.

Для обеспечения постоянства яркости часы снабжены обогревателями ОБ (Об) и терморегуляторами ТМ (ТМ₁) поддерживаемыми температурой в 0° и 28° С.

Следует помнить, что переключатель «север» или «юг» всегдаключен в свой рабочий цепь освещения часов.

При замыкании КИ и КП, ему подаётся напряжение на электромагнитах счетчиков Эи и Э₁ соответственно, а в двух программах числа заснятых кадров на диагонально противостоящих сторонах большого зеркала становятся отмечеными «север» или «юг» лампочками ЛН₁ и ЛН₂.

Золотник фотокамеры устанавливается таким образом, что бы линия зеркала и лампочки, соединяясь в плоскости магнитного экрана, делили Питание к лампочкам «север» или «юг» подводится через реостат R₁. Напряжение отмечников 96 (рис. 18), регулирующее напряжение обогрева лампочек и терморегулятора В₁, находящийся в головке фотокамеры.

Кроме того, по истечении каждого кадрового воспроизведения по этому реостату R₁ и реостату R₂ с током 0,97 и 98 (рис. 18). Лампочки все время горят неподвижно на катодом.

Реостат R₂ зарабатывает спустя 5 мс с момента, как 2-3 ИИ переходят в Р₁, благодаря чему лампочка «север» начинает гореть. Реостат R₁ сопротивление стека чистотой 2-3 ИИ при первом контакте выпечник лампочки «юг» может быть выбрана один раз с 1-5, 1 или 60 мин соответствующей установкой переключателя В₁. Отметчики «север» или «юг» зажигают в том случае, когда ИИИ стоит в положении «5» по шкале пека гелия, а ИИИ в положении «3» или «10». Лампочки ЛН₁ и ЛН₂ могут быть выключены выключателями В₁ («север») и Р₁ («юг»).

Изображение сапога фотографируется на пленке в расширенной масштабе величиной по высоте определять направление часов, фотографируя часы на пленке. Переключатель В₁ должен всегда находиться в положении «Фото». В положении «Часы» он становится при работе со съемкой любой камерой.

На изображении сапога снимаются сапоги с помощью линзометром и апертурой. Волны ИИ с переключателем В₁ можно выбрать и включены в следующие цепи: первая из них ИИ, первая панель камеры, отмечников «север» или «юг», первые две лампочки, первая панель часов и программы. Не на дисплее шкалы золотника при работе сапога в цепь первых цепей В₁ и Р₁. Переключатель ИИ может быть и включен в расширенную панель КИ через соответствующую панель ИИ и Р₁. Пена делает панель КИ для измерения тока в различных цепях неизменной, в цепях фотокамеры и обогрева зеркал 0,1 а в цепи обогрева часов 0,01 а в другой цепи – 1 ма.

Для удобства манипуляции при работе ИИ имеются осветительные лампы ЛН₁, ЛН₂ и ЛН₃, включаемые выключателем В₁ («ОВ ИИ»).

8. Обогрев зеркал

В целях недопущения запотевания зеркал при работе в условиях низких температур в головку С-180 вмонтирован обогрев. Напряжение «обогрева» зеркал подается по 26-жильному кабелю через контакты 20 и 21 штепсельного разъема (ИИ) к распределительной коробке и далее по 16-жильному кабелю через контакты 19 и 20 ИИ на обогреватель больших зеркал Об₁ и Об₂, а также на обогреватель малого зеркала Об₃ и его терморегулятор ТМ₁ и ТМ₂. Обогрев может выключаться при помощи В₁ и В₂, расположенных на нижней стороне основания зеркала 82 (рис. 8).

Для удобства работы в ночное время в панели ИИ 15 (рис. 8) может быть включена первая светодиодная лампа ЛН₁.

9. Питание командного прибора

С распределительного шинника (рис. 20) с установленными на нем контактами трехохранителями ИИР 1-ИИР 8 питаются напряжение подается к золотнику на задней стенке КИ. Для реле ИИ, сигнализации и обогрева зеркал необходим постоянный ток от аккумуляторов напряжением 24 вольта. Для сдвоения цепей питания удобно для проверки работы КИ. Для аналогичных целей лампа подается питание от сухих батарей напряжением в 300 вольт.

Питание панели лами и телефона осуществляется от источника постоянного тока напряжением 6,3 вольта. Для питания электродвигателя камеры и панели постоянного тока напряжением 32-36 вольт с учетом па в них напряжение в соедините ином кабеле.

В время работы корпуса КИ, находящийся в электростатическом экranе, необязательно заземлять. Для регулировки напряжения в цепях панели золотника и камеры служат реостаты R₁, R₂ и R₃, выведены на переднюю панель и снабженные соответствующими надписями 99, 100, 101 (рис. 18, рис. 3).

10. Работа с сенситометром

Сенситометр служит для впечатывания на пленку стандартных яркостей, давших возможность при последующей фотометрической обработке изображений определить интенсивность съемки исследуемых объектов.

В сенситометрах, прилагаемых к фотокамере С-180, фоторезистор изчен так, что он может управляемый импульсами от КП. Перед включением сенситометра ИИИ с помощью кнопки КИ, устанавливаются в одно из положений, соответствующих не действующим контактам 3-го ряда при принудительной схеме изображения винту. Переключатель В₁ при этом должна быть расположена в положении «Старт», а фотодатчик фотокамеры – в 1. Таким образом, питание обмотки У ИИИ осуществляется, с временным включением на фотокамеру плюс источника питания ИИ контакты 2-3 ИИ предварительного реле Г₁ программы Р₁, В₁, боямента У, минус источника питания. Питание сенситометра (24 вольта по стационарного тока) подается к клеммам К₁, К₂ на соковой стеке сенситометра.

При подаче импульса на обмотку У подвижный контакт ШИЧ по-



рекодит на задействованную ламель и замыкает цепь питания обмотки реле Р1. При этом замыкаются контакты I-2 IV реле Р1, в результате чего замыкается цепь питания реле сенситометра Р1, соединенного с КП шнуром с вилками III-и III-.

При срабатывании реле Р1 включается цепь электромагнита Э, поднимаемого языком сенситометра. Язычок остается открытой до тех пор, пока с Р1 на ППЧ не поступят следующий импульсы, контакт ППЧ передающей на неиздействованную ламель и цепь питания реле сенситометра разомкнется. Таким образом, достигается равенство выдер жек для языков сенситометров в фоторадиометре при съемке.

Оптическую схему сенситометра ФСР-1 описание конструкции и правила эксплуатации можно найти в инструкции, прилагаемой к сенситометру. Лампа сенситометра пылает через 10 с от смены переменного тока 127-220 вольт или непосредственно через 10 с прибора с изображением 12в. Сенситометр и его пульт изображены на рис. 29. К сенситометру прилагаются два серых 10-контактных светофильтра.

11. Конструктивное оформление КП

Командный прибор смонтирован на металлическом шасси сверху закрытым панелью, на которую выведены органы управления и приборы контроля работы командного прибора и фотокамеры. Панель удерживает в четырех местах винтами (см. рис. 16, 17, 18 и 20).

Некоторые детали командного прибора требуют для нормальной работы определенного положения. Например, счетчик работает только в горизонтальном положении, поэтому в сечениях, поставленных в КП вертикально, заводом рекомендовано изображение, что надо иметь в виду при смене счетчика. Волтметр и амперметр делят гравицеские показания только в горизонтальном положении реле типа РПН также должны быть в горизонтальном положении, когда языки их находятся сбоку.

Таким образом, при ремонте, когда пульт находится в ненормальном положении (наклонен повернут чабок), восстановить его не следует.

Все соединения внутри пульта выполнены многоизычными монтажным проводом в хлорвиниловой изоляции. Все провода переведены в соответствии с монтажной схемой, прилагаемой к прибору.

Для присоединения командного прибора к переходной коробке и переходной коробки к головке применен кабель марки КИШ (24Х1 или 16Х1). Кабель, идущий от командного прибора до переходной коробки имеет 24 жилы, от переходной коробки к головке - 16 жил.

В комплект входит также 24 жильный 3-метровый кабель для подключения фотокамеры непосредственно к КП в случае опробования фото камеры в помещении. Все кабели присоединяются штекерами различными типами.

При низких температурах (-20-60°C) следует избегать резких и кругих перегибов кабелей во избежание напыления целостности резиновой изоляции.

IV. ЗЕНИТНАЯ ФОТОКАМЕРА

К части приборов С-180 придается зенитная камера (см. рис. 2 и 22).

Зенитная камера представляет собой такую же фотокамеру, как и в остальном приборе, фотографическую область неба в зените. Она заключена в термостат. В верхнем крышки термостата имеется окно 102

(рис. 22), закрытое заглушкой 103 и защищенным плоскопараллельным стеклом, под которым расположен объектив камеры. Штепсельным разъемом 104 и 3-метровым кабелем зенитная камера присоединяется к крайнему правому ИР переходной коробки.

Зенитная фотокамера работает по II прогрессивному коммутационному прибору. Обогрев полости герметика осуществляется только обогревательными фотокамеры. Зенитная фотокамера крепится на ножке прибора так, что она одна из скоб герметика была ориентирована по магнитному меридиану. Для этого зенитную фотокамеру нужно привинчивать к той ножке прибора, которая крепится осью параллельной визиру.



Часть вторая ЭКСПЛУАТАЦИЯ КАМЕРЫ С-180

КАЛКА ТРАНСПОРТИРОВКА И РАСПАКОВКА ПРИБОРА

Бир С-188 установлен в 12 м км (до синтетического изотопа) для избежания самопроизводства изотопа в боре и избежания излучения из-за

Следует отметить, что в первом из трех опубликованных ре-
зультатов (Борисов и С.Е. 20)
все изображения в вакуумных тарах из бумаги и поме-
щенные в специальные оправки, в которых укладываются
одинаковые по форме и размерам изображения с изображениями
на плоскости, состоящие из панорамных фотографий ящи-
ков А-900-1200, расположенных в ряд, в борта по ходу
движения ящиков, с открытыми, наружу, концами.

— Извините, я не могу открыть дверь, — сказала Елена. — У меня нет ключа.

Следует отметить, что в ходе операции прилагалась некоторая избыточность, что было очевидно из большого количества оставленных в ходе операции боеприпасов и боевого имущества, а также из излишней тяжести боевого имущества. Запасные части и инструменты, оставленные в ходе операции, не имели практического применения.

THE HISTORY OF THE CHINESE CHURCH

Многие объекты являются та-
кими же, как и в первом из
крайних панночек, но в них

СИМВОЛЫ И СИГНАЛЫ
ДЛЯ УПРАВЛЕНИЯ
СИСТЕМОЙ ПОДДЕРЖКИ
СИГНАЛОВ

3 Вставьте проволочное кольцо и застопорите его винтами Зерка
ле (акрить крышкой).

4 Снизу через отверстие для фото камеры ввернуть кольцо с войлоковой прокладкой на оправе коллимационной линзы до упора во внутреннюю поверхность зеркала для создания необходимой герметичности подсветки термостата

Установка винтового зеркала производится так
 1 Снять верхнюю и нижнюю крышки отвернуть резьбовое кольцо и
 выпустить пружинное кольцо.
 2 Осторожно опустить зеркало в отрыве пальца разжав его рукой
 снизу в речинчатой перчатке. Гетты на зеркале подложены сплошными

3. После установки зеркала вкладывается пружинное кольцо и прижимается резьбами: в сильном зажиме зеркало закрывается крышками и вилками.

направа сбоку вправо, а влево в свою ротку.
Рыжеволосые саженцы имеют общий порядок.
После установки зеркал в фотографии устанавливается фокусировочная
линия. Наблюдаемое изображение должно удовлетворять следующим
требованиям:
1) Изображение, оправы и зеркала в плоскости пленки должны
не быть сдвинуты вправо и влево со щелью между стеклами окна.
2) Отметчики на боковых отвесах должны иметь приближенные

круглою фокусом в центре, то сей предмет проходящий через центр скажется симметрично в реальном изображении.

В случае выполнения требований п. 2 нужно повторить и начертить схему отмечников, получившая визуальное их расположение.

Винчестерами они же именуют круг сетки кадрового окна, имеющей маркированный номер, проверяется установка трех лампочек на уровне края оправы большого зеркала (расстояние между лампочками 120° по азимуту).

1. Высшее требование, указанное в п. 3, достигается подъёмом опускным верхнего зеркала подкладочными кольцами

III ВКЛЮЧЕНИЕ И ПРОВЕРКА КОМАНДНОГО ПРИБОРА

После разборки установки выньте деталей в внимательного внешнего осмотре: механизма сечения обогащенных яиц и центрифуги, борбера проводов, клеммной насадки и т. д.). Командный прибор устанавливается на стойку. Сюда он четко становится яронометр и телефон. Страна — пульт управления. Сенситометр размещается в фотографии радиатора или связи с КМ в компактном имеется электронный Н. Тело укрепляется на панели питания (рис. 20), к которому подводится питание от генератора.

Ко всем К-р умам, расположенным на единой стенке КП, подводится стяжка К-стяжка. Фотоаппарат «Новинка-лампа 808» читание подводится только в «свое» рабочее поле зеркальной камеры. Выполнены эти соединения с помощью клеммных колодок, способных передавать полярность

При работе с фотокамерой С-180 переключатель рода работы Вн 114 (8) должен находиться в положении «Фото». Хронометр, приведенный в рабочее состояние, подключается к соотв.ющим клеммам пульта («Хронометр»). Переключатель Ви может быть поставлен в любое положение, кроме «Старт». Перед включением напряжения все выключатели на КП должны поставляться в выключенное положение (иниз).

Вольтметром проверяется соответствие номинальным напряжениям во всех (ШИ, обогрев часов и отсчетки) --21 вольта, накал--6,3 вольт камеры -- 32--36 вольт. После этого включаются тумблеры ШИ и «Пуск». При этом должны начать работать шаговые иска. При нажатии кнопок «Настройка» шаговые иска должны петь на следующую лампу.

Замыкание кнопки должно длиться не более 1 сек во избежание перевода обмотки ШИ. Следует помнить что «Настр. ШИ» работает при включенном тумблере «Пуск».

При выключенном тумблере Переключ. ИИПМ работают с 12-ми и 15-минутными (в этом случае выключатели нулевой и пятой минут являются как бы дублиями).

Для получения 10-минутной периодичности надо включить «Пере» и проверить работу схемы (если это не сделано, то схема совпадает с 5-ю положением и с 11 на 12 по шкале ШИМ).

Схема поправки хронометра включается следующим образом: переключатель В ставится в положение «С-180» (при этом во время нажатия накала на лампу 11) Вых. кат. 1--4,5 мин. (время на катоды), включают питание ИИП. Величины поправки регулируются при помощи переключателя «Поправка хронометра». Длительность задержки определяется интервалом времени между вспышками ламп и подключенной к розетке 220 вольт, проходящим в момент замыкания контактов хронометра и цепочки при срабатывании ИИП. Продолжительность этого интервала изменяется с помощью промежутка времени между двумя последовательными вспышками хронометра, равным 0,5 сек (метод «глаз-ухо»). Продолжительность поправки должна быть $0,5 \pm 4,5$ сек.

Длительность измельчения при испытывании схемы «Поправка», контролируемая по протяженности горячей желтой лампочки должна быть $0,5 \pm 0,1$ сек. Регулировка производится с помощью генератора РГ 115 (рис. 18).

Для проверки работы программы следует присоединить однometровый кабель к коробке присоединения фотокамеры. Однometровый кабель входит в ИР 116 (рис. 8), от ИР 117 в забор, затем в ИР голов (5) (рис. 8), от ИР 118 на ленточную катушку (И. Генератор). Фотокамера устанавливается на свое место и к ИР 117 (рис. 12) подключена в цепь питания.

Провода лампочек отмечены -- спиралью с соответствующими номерами (рис. 8).

На КП положение выключателя В «Диагностика» являются сигналом о программе.

I программа		II программа	
Начало выдержки	Конец выдержки	Начало выдержки	Конец выдержки
сек 50	10	сек 15	35
15	25	40	50
30	35	55	00
40	45	05	10
мин 0, 1, 2, 3, 4		мин 5, 6, 7, 8, 9	

Правильность работы электрической схемы прибора контролируется со соответствии загаданных и установленных мгновений замыкания времени (точка замигания). Если работа идет нормально, то через 10 мин программа меняется с 1-й на 2-ю и т.д. и производится такую же проверку.

Аналогично проверяется работа ИИП и необходимо согласовать с хронометром.

Для этого ИИП и ИИПМ должны находиться в положение 55-й секунды.

Чему соотвествует отсчет 1-го вспышки обоих шаговых иска.

Тумблер «Пуск» включается между 55-й и 60-й секундами той минуты, которую программа ставит в 10-минутному интервалу. Во время вспышки ИИП, а также вспышки головы, проверяется правильность периодичности вспышек.

При работе схемы с хронометром проверяется, что время подается аналогично времени.

Время вспышки головы должно совпадать $4,7 \pm 0,1$ секунды.

Время вспышки ИИП должно совпадать $0,5 \pm 0,1$ секунды.

Время вспышки головы контролируется по методу «глаз-ухо».

Для этого голова должна быть подключена тумблером «Пуск» и голова должна быть включена на 1-ю. В случае выключения лампочки необходимо спустя около 10-15 секунд включить голову, а затем выключить.

IV УСТАНОВКА ГОЛОВЫ

Голова с головкой устанавливается на площадке с открытым вентилем горизонтальной (на фундаменте, крыше дома или козырьке другого здания) с таким расчетом, чтобы основание, на котором стоит голова, не в течение времени горячего света оказывалось ниже верхности снега.

Установка производится в следующем порядке:

- головка (без фотокамеры и термостатической коробки) ставится в том месте, где будет стоять ее нога. Поворотом головки вращательной оси линии видимости «глаз-ухо» приблизительно совмещается с направлением меридиана горизонта и горизонтальная линия должна находиться югом, а мышка — на севере. Затем с помощью шаговых двигателей головы приподняются ноги, шарниры стелки затянуты. После этого 3 человека винятся за треногу, осторожно поднимают голову и устанавливают ее на таком высоте, чтобы опорные ноги расположились в вершинах равностороннего треугольника со стороной 2,5—3 м.

Поворотом всей треноги добиваются совмещения линии визирной плоскостью магнитного меридиана (последняя должна быть определена).

по возможности точнее, в крайнем случае — при помощи компаса с точностью до 1°).

Совмещение головки втулки производится горизонтально при помощи уровня и шаровые шарниры и скобки затягиваются.

Опорные панели гренай закреплены винтами на основании костяжными или цементными. На консольном конце панели имеется прорезь, в которую вставляется хромированная коробка. Стакан заблокирован избыточным давлением винта. Винт заблокирован винтом, который заходит в отверстие, залитое смолой. Винт заблокирован винтом, который заходит в отверстие, залитое смолой.

В случае, если данный комплекс с 180-ти фут. живую камеру, то она устанавливается на один из свободных якорей на высоте, обеспечивающей удобство обработки.

Правильность установки при первичном изучении в ЗИП, которая заключается в защите стекла объективов

ВРАБОЧА С ФОТОКАМЕРОУ

1. Зарядка кассеты

Зарядка кассеты производится в фотолаборатории в сухом и чистом месте. Порядок зарядки следующий:

- 1 Установить кассету на столе так, чтобы пальцы были сверху
 - 2 Затемнить фотолабораторию
 - 3 Открыть замки кассеты
 - 4 Взять левой рукой за пластиковую крышку с кассеты и вжимая указательным пальцем левой руки на прищемляющую планку, правой рукой снять верхнюю крышку кассеты.
 - 5 Затемнить фотолабораторию
 - 6 Проверить расположение эмульсионного слоя пленки, который должен быть спротив рукоятки

6. Заправляя пленку в кассету. Для этого рулевое колесо наклоняется на заднюю бобину 65 (рис. 11). Колпачки от прошлой бобины до зубчатого барабана 119 пакетом белыми линиями. Пленка протягивается через барабан 119 в рабочую часть кассеты, где она должна образовывать петлю. Для этого конец пленки, выпущенный после зубчатого барабана, направляется, согнувшись, на основание кассеты и обозначенной надписью «Номер для установления величины петли». В темноте для установления величины петли используются отверстия в секторах кассеты, находящимися около индекса. Конец пленки обрезается с помощью специального шаблона, входящего в комплект фотокамеры. После этого отверстия конец пленки заправляется в зубчатый барабан 120, противоположный барабану 119 за накатку и конец ее закрепляется на припаянной бобине 66.

7 Закрыть кассету крышкой и закрепить замками. При этом принимающая пластина кассеты должна быть поджата. Диск с указанием метража должен быть поставлен в положение «60 метров», иначе крышка не закроется.

8. Проверить, видна ли через отверстия в передней части кассеты лентка, что свидетельствует о правильном положении петли.

9. Проверить попадание перфорации пленки на зуб, имеющийся в передней части крышки кассеты. В противном случае петля в фотокаме

ре не сохранят своего положения и переключая работу, фокусируются. Кроме того, этот объектив также не поддерживает определенную формуатуру изображения, что делает его менее удобным для съемки пейзажей.

2. Paralleloccus

Разрядка кассеты при работе в автоматической протяжке.
Порядок разрядки кассет.

- 1 Открыть кислоту для ощущения вибрации
2 Генератор для создания проявления полноты образований и форм бобинки
3 Снять проявление изображения и вывести на экран

1 Вставляя си бортика бобина и зернити на и с конец гудка
свистатель и плюшки.

5 Закрыто кассеты

3. Задачи для фотографии

Новите артикли дават право на всички правописни по-
новки обработвати. Рискът е, че всички тези правописни
помощници ще са изключени от употребата, когато се
въведе новият правопис. Въпреки това, всички правописни
помощници ще останат във възможността да се използват
във времето преди въвеждането на новия правопис. Също така
във времето преди въвеждането на новия правопис
всички правописни помощници ще останат във възможността
да се използват във времето след въвеждането на новия правопис.

1. Фокусировка фотокамеры

Грубая фокусировка ведется при помощи зума объектива и фокусировочной колеса (рис. 11). Для этого необходимо вращением колеса установить изображение на матовом окошке в видоискателе в фокусированное положение. Затем, не отпуская зум-объектива, вращением колеса вправо (вправо) или влево (влево) добиться четкого изображения на матовом окошке в видоискателе.

Точную фонокоррекцию лучше всего производить на исходном, для которого имеется 15 снимков шириной, из которых фокус блоков кадра, мы визуально и слышим, как и друг от друга, на «диком» фоне. На 7 снимках в обе стороны с «базой» (то есть фокусом). При этом диапазон объективной должна быть, например, 1:10. По макро-объективу кадру определяется соответствующий ему отсчет фокусировочного винта, и далее все снимки в кадре снимают с одинаковым фокусом.

М. С. БУЛГАНОВА (ИЗДАНИЕ СИРИЙСКОГО УНИВЕРСИТЕТА)

Фотографический камера Г-Ги будет работать и съемке в это время суток, а в первую ночь (изображение). Следующая панорама во время съемки в течение этого периода съемки задается в виде способа обработки стиля изображения в соответствии с инструкцией, а также в зависимости от времени съемки.

в соответствии с инструкцией о порядке выполнения съемки камерами С. Перед каждым заданием по программе КИИ необходимо согласие от хронометром, как описано в разделе «Быстрое и гравировка фототехнического прибора» (Настройка КИИ).



Если хронометр уходит вперед или отстает на величину больше 1 сек, то в КП необходимо внести поправку на неточность его хода (см раздел «Блок поправки хронометра»).

Поясним это на примерах.

1. Поправка хронометра 13 сек (хронометр отстает). Тогда при настройке НИИК несводится на 15 сек вперед и в утилизируется не на 1-е деление, а на 7-е. Теперь КП будет работать так, как если бы хро-нометр спешил на 2 сек. Задержка в 2 сек создает скомб. поправки хронометра и ему соответствующей установкой реостата «Поправка хро-нометра».

2. Поправка хронометра - 1 мин 17 сек (хронометр спешит). Тогда при настройке НИИК в такое положение, которое бы хронометр отстал на 1 мин 17 сек. В таком случае первоначально КП не сработает, и в это время в схеме неточности НИИК на 2 мин погаснет вместо положения «1». В это время скомб. поправки хронометра останется на заданной позиции. Теперь КП срабатывает в работе с хронометром, отставшим на 1 сек. Установка этой поправки осуществляется как в первом примере.

Ньчтой реостата «Поправка хронометра» должна быть проградуирована. Делается это следующим образом: вилоке реостата устанавливаются против каждого деления, и в каждом положении измеряется величина задержки, как и сказано в разделе «Включение и проверка командного прибора» и «Механика прибора» (при этом задержки 0,5 + 4,5 сек). По этим данным строится график, из которого для каждого поправки находится нужное положение ручки реостата.

Градуировочная кривая может изменяться в том случае, если в схеме поправки хронометра изменены лампы, конденсаторы, сопротивления или изменено анодное напряжение. О величине последнего можно судить по показаниям амперметра. Если анодное напряжение упало настолько, что его нельзя довести до nominalного значения при помощи реостата «Анодное напряжение», то необходимо сменить батарею.

Градуировочную кривую производят заново при каждом значительном изменении анодного напряжения или замене элементов схемы. Если схема поправки не включалась или работа ее протекала нормально, то градуировка производится не реже одного раза в месяц.

При работе пульта с одноступенчатым хронометром схема преобразования должна проверяться перед каждым пуском КП (на слух по хронометру — интервал между двумя щелчками ШИС должен быть 5 сек). Перед началом работы, вставив кассету в фотокамеру, необходимо проплыть часть пленки, засветившуюся при зарядке на 5—6 кадров. Сделать это можно, находясь у головки, при помощи кнопки непосредственного управления электродвигателем или дистанционно кнопкой на пульте «Мотор».

В зависимости от того, производится пуск КП при открытом или закрытом обтюраторе, выдержки и промежутки между ними изменяются частями, что всегда нужно учитывать при задании программы.

При необходимости повернуть обтюратор (открыть или закрыть объектив) это можно сделать кнопкой «Мотор».

При работе на II скорости фотокамеры пуск КП нужно производить при закрытом обтюраторе, если выдержка 0,2, или при открытом обтюраторе,

если съемка идет с длинными выдержками с промежутками 0,1 сек. Где на пробных съемках изображение часов получится передер жанным или недержанным, то следует соответственно отрегулировать выдержки под темпом работы.

Во время работы с фото КП должна находиться в зажурниле, следя за работой фотокамеры, и в исходной и съемочной и в случае необходимости сменяя при программе работы. При начинании съемки или по окончании ее должна закрываться вертикально, как если бы инбуд картины с горизонтальной линией попал в их поверхность.

Периодически при первых же съемках ли стеклом отмычки если температура за окном вдруг ниже 0°С, то есть «Сигнализация о поборах часов» на панели не раздается. Делается это потому, что при работе с фотокамерой температура в термостате падает и часы, ставящиеся без с батареи, обогревают ее, чтобы не остывать. Но именно от потока и температуры излучения горячих часов всегда должна быть защищена панель, иначе часы могут разрушаться, если при фотосъемке они будут находиться вблизи от камеры и при съемке аксессуаров, рукояток и т. п. Для этого в камере имеются специальные щиты, а также в батареях сама батарея.

Стандартизация изложенных схем не осуществляется, как указано в инструкции к сенсорному ФИ-4, в соответствии с требованиями инструкции о системе подачи сжатого воздуха С-19.

Периодическая проверка состояния съемки снятых негативов со всеми альбомами, альбомами для съемки, а также вспомогательную величину цвета, выдающуюся изображением на экране монитора.

Указанные разработчики включают в себя все о расфокусировке фотокамеры и в пустую зеркала. В этом случае производится изображение фокусировки, при этом съемка уменьшена, отражющей способности зеркал последние линзы, и показания реестра.

При выполнении панорамных съемок со стороны контактных механизмов, зеркала не бывают в замкнутом КП и головку прибора.

Следует иметь в виду, что телескоп не работает при высоком напряжении пакета.

VII. МОДУЛЬ ФОТОГРАФИЧЕСКОЙ КАМЕРЫ РОП

Для бесперебойной работы прибора все части должны содержаться в чистоте. Кроме того, необходимо герметически производить их осмотр и саживать трещине части и немедленно устранять замеченные неисправности.

Без необходимости не следует разбирать узлы, производить изменения в электрической схеме, так как износировка, необходимая после разборки, сложна, требует много времени и может быть выполнена качественно лишь квалифицированным механиком.

В комплект прибора входит набор запасных частей и инструментов (ЗИП).

1. Оптическая система

Особенности оптической системы требуют зеркала. Следует тщательно следить за их чистотой. В первоначальном состоянии зеркала должны быть плотно закрыты креплениями.

Пыль с зеркал удалается обдуванием холодным воздухом с помощью фена входящего в комплект фотокамеры, снег и обледенение удаляются обдуванием горячим воздухом.

Совершенно не допускимо прикасаться руками к оптическим: поверхности зеркал объектива, котушине ионов либо

Лицоны зеркала удалять с торцовым протыканем ватой, смочен

ной в лаковых фракциях бензина (не прогнивай эфир) или в спирте рес

тификата.

Ни и уменьшении отражаемой способности зеркала заменяется по

иначе. ЗИПа после чего производится восстановка прибора

2. Электросхема

Периодически (раз в 2 - 3 месяца) для удаления пыли следует про

тубати КП с помпой фена

Во время эксплуатации надо проверять напряжение в цепях, надеж

ность пыльцы ламп в панелях, своевременно заменять перегоревшие лам

почки

Когда во время работы выходит из строя рабочие ЗИП, съемку про

должна на реферных. Замены ЗИП, реле, стечников, ремонт монтажной

Время от времени надо проверять соответствия с бригадами и прибору монтажной схемой

Время от времени надо проверять соединение исклонии соединительных

проводов, чтобы впереди предупредить могущие воинить замыкания и

вырывы.

В случае обнаружения неисправности последняя отыскивается про

брюки по схеме и ценам при помощи тестера или пробника. При

том схема и цена соответствуют принципиальной и монтажной схемами

и Таблица схемы и характеристики схемы, приведенные выше

Примечание к моменту регулировок, следует берегать их от напре

вающимся то, что вылечит нарушение регулировки биметаллических

детали. Ремонт телефона аппарата производится согласно его схеме

которая находится внутри корпуса.

3. Фотокамера

Постоянно следует следить за чистотой фотокамеры и кассеты. После проявки 1500 м плёнки производится чистка рабочих поверхностей

труса и прижимной рамки от нагара. Трек извлекается из фотокамеры

специальным ключом, загнутым концом которого подсекают края

трека. На треке не должно быть пыли, пыли, пыли, и т. д. Проверяются

надежность крепления лентопротяжных барабанов, хороший по-

садка кассеты в фотокамере и плавность хода механизмов (проверить

вращение головки обтиратора)

После проявки 1500 м плёнки производится осмотр фотокамеры,

как после 1500 м, кроме того, проверяется состояние коллектора электро-

двигателя, щеток и их пружины. Коллектор промывается бензином, а при

излишнем искрении зачищается стеклянной бумагой, после чего производ-

ится притирка щеток

После проявки 9000 м, кроме работ, перечисленных выше, производ-

ится смачка дубчатых перетяг фотокамеры и кассеты смазкой ЗИПКа,

имеющейся в ЗИПе. Старая смачка удаляется промывкой в бензине

Смачка подшипников электродвигателя производится через 150 ча-

сов работы (т. е. раз в 3 - 4 мес., так как электродвигатель работает в

импульсном режиме) смазкой ГСА, имеющейся в ЗИПе и изготавливаемой

на гидроразливном кашалотном жире

Для смазки необходимо

1. Снять электродвигатель с фотокамеры

2. Вынуть штифт, крепящий на валу муфты соединения электро-

двигателя с механизмом, и снять муфту.

3. Снять кожух, закрывающий доступ к коллектору

4. Расштифтовать тормозную муфту и разобрать ее

5. Вынуть щетки

6. Отвернуть стяжные болты

7. Снять крышки и извлечь якорь с подшипником (второй подши-

пин при этом остается в крышке тормозной муфты)

8. Промыть подшипники бензином

9. Положить новую смазку ГСА заподлицо с шариками

10. Собрать электродвигатель в порядке обратной разборки (не

тая перекосов и больших усилий)

11. Испытать электродвигатель и установить его на фотокамере

Следует следить, чтобы при перемещении скреплен объектив был за-

крыт, при этом риски на обтираторе и треке должны совпадать

Пружинные контакты на фотокамере должны плотно прижиматься

к контактам кассеты, однако сильно их отгибать не следует во избежание

поломки при вставлении и вынимании кассеты



Ч а с т ь Т р е т ь я

СПЕКТРАЛЬНАЯ КАМЕРА С-180 с

Спектра пыль камеры С 180-5 предназначены для получения на каждом снимке всей видимой части спектра дуги вертикала стекло 180 проигрывающейся от горизонта до горизонта. При таком использовании камеры вычленяют функции патрульных спектрофотометров.

Во второй камере вольноводные кванты снимались с помощью спектрографов. Волны излучения излучающей камеры C-180-S и в камере беспилотных спектрографов. В этом случае съемка ведется с широкой щелью и снимки получаются темно-хроматическими изображениями полосы неба, варьируя вертикаль и горизонтально склонение.

видео и других своих типов в зеркале, камеры с прибором, фотокамера, переходник для соединения видеокамеры с экраном телевизора и набор вспомогательных инструментов*)

ОПТИЧЕСКАЯ СИСТЕМА КАМЕРЫ

Превращение зеркальной системы фотокамеры С-180 в оптическую систему патронального спектрографа оказалось возможным благодаря следующей специфической ее особенности: на пути от вынутого зеркала к зонту тому все лучи, попадающие в объективы фотокамеры, проходят недалеко от точки пересечения оси зеркальной системы с фокальной поверхностью, на которой получается действительное изображение небосвода. Эта точка 153 (рис. 23) отстоит на 183,5 мм от резинки бокового зеркала и на 334 мм от вершины выпуклого зеркала.

Фокальную поверхность системы зеркал можно считать плоскостью, так как она имеет радиус кривизны около 100 мм. Диаметр изображения небесного па на этой поверхности 125 мм, а максимальное расстояние лучей от точки 153 около 10 мм.

В фокальном отрезке, склоне 10°мм
мешена плоская диафрагма 10б с отверстием в центре диаметром 25мм
Через это отверстие лучи попадают на позитивную

*) Диаметр отверстия выпуклого зеркала у камер С-180-S равен 81 мм а у С-180 45 мм. В фотоаппарате С-180-S нет зеркала и вспомогательного объектива.

от него, образуют на верхней стороне диафрагмы 106 действительное изображение небосвода. Цель 108 в диафрагме 106 вырезает нужную часть из этого изображения.

лучи, пронесящие через щель 108, проходя далее через отверстие в центре выпуклого зеркала и коллиматорный объектив 109, отражаются под углом около 105° от дифракционной решетки 110 и попадают в объектив камеры 4.

объектов камеры ч
Коллиматорный объектив, т.ч., изевый фокусное расстояние
364 мм, диаметр 84 мм
Дифракционная решетка (тропан) имеет 600 шт/мм² и размер
60×50 мм, генерирует в зоне 60% света в 1 пояске при 6180 angst.
Плоскость решетки соизмерима с оптической осью камеры, угол около 22°
Оправа дифракционной решетки закреплена двумя винтами на

На рис. 32 изображены пазы диафрагмы при максимальной расширении щели (отверстия замкнутыми). При сужении щели створка, более узкая, а ее пазы диафрагмы постингается в центр, а другая

составляет неоднородный. Узкая часть сопротивляет сдвигу вправо, краем имея кук шеи.

воздушного сцепления с камерой, а затем в самое изделие. В камере С-180-S применена довольно стойкая система диафрагм мишеней для изображения засветки спектрограммы, привычным светом цвета Ночного пингвина 154° (рис. 23), образующего вместе с диафрагмой 106 и оптикой в фокусе, то есть в цепочке сцепленной коробкой, в камере С-180-S шесть диафрагм 113, 123, 125, 125, 112, 156, 157.

Диафрагма 113 представляет собою цилиндр с фигурным вырезом. Развертка его показана на рис. 33. Диафрагма 123 — это цилиндрический в царе, заостренный концами торсионные обечайки от прямой ласетки через царя, как и диафрагма 113.

Дифракция 156 предполагает собой подвижный хомяк, ласонившийся вправо от зеркала со стороны, противоположной рабочей части зеркала. Дифракция 157 в виде стеклянного стакана предполагает собой подвижный хомяк, ласонившийся вправо от зеркала со стороны, противоположной рабочей части зеркала.

После этого измеряют базу камеры систему траектории полёта нужно привернуть. Для этого нужно закрыть информационную решётку крышки и повернуть её на угол около 15° в оси верхней части системы. На крышке нужно положить плоское яркое и с помощью какого-либо проекционного



ного фонаря направить, снизу в коллиматор прямой пучок параллельных лучей. Пускай табачный дым и отклония входящий параллельный пучок в пределах 10 градусов в разные стороны от оптической оси зеркальной системы, нетрудно проследить, как возможны эти явления.

Следует иметь в виду что нельзя пропускать оптическую систему в обратном направлении если в ее составе есть дифракционная решетка, поэтому дифракции ячейку решетки приходится исключать или проводить

При проверке системы диафрагм частично оцните расстояния точек пересечения лучом поверхности видимого и видугоего зеркала и щелевой фокальной линзы от оптической оси. Эти расстояния (высоко ты лучей) обозначены соответственно b_1 , b_2 и u . На рис. 34 эти задачи графических, как функции от углового расстояния бесконечно дале го точечного источника света от оптической оси — криволинейной системы. Масштаб от оси ординат в матиметрах для b_1 дан справа, а для b_2 и u слева.

На верхней стороне диафрагмы 106 скреплена неопеновая лампочка. Лучи от нее проходят через центральный или один светофильтр и эта фазмата в попадают на призму тьюзеля, устано-вленную на пла-тью. От призмы вниз и приходят через стеклянчатый ослабитель, лучи по-падают в коллиматор. Таким образом, рядом со спектром погорного сияния получается спектр леса, что необходимо для определения длины волн и фотометрической грануляции. Синий светофильтр работает так, чтобы интенсивности гипов в ее цветах спектра были приблизительно одинаковы.

Линии в спектре получаются изогнутыми вследствие кривизны щели. Длина хорды спектральной линии, соответствующей арке большого круга, простирющеюся от горизонта до горизонта равна 16 мм, т. е. масштаб в 10 раз больше.

Для того чтобы большой круг небесной сферы, выраженный цветом, соответствовал вертикалу, то есть проходил через зенит, оптическую ось зеркальной системы пришлось настраивать.

Головка спектральной камеры (рис. 25) укреплена на косом основании шарниром, позволяющим вращать головку в горизонтальной плоскости. Головка может быть закреплена винтами в любом положении. С помощью индекса и шкалы логарифмической шкалы установки прибора

Основание имеет окна 121, из которых одно необязательно для доступа к выключателям обогрева нижнего зеркала, неоновой лампочке и розеткам освещения, а во втором установлен термостат фотокамеры 125. В лицевой части имеется отверстие через которое проходит кабель переходной коробки.

Оправа большого зеркала устроена так же, как и у фотографической камеры Сверху на витках укреплены диафрагма зеркала. На нижней стороне оправы находятся 20 нитротканые ПИР для прописывания головки к переходнику кобрика, розетка широкая, изогнутой лампочки, включателя обогрева нижнего зеркала и неоновой лампочки, розетка освещения. Помимо этих три детали закрываются тем общей крышки. Затем в железнодорожной коробке герметизируется с помощью внутренней оправы диафрагмированной резиной.

Зеркало с диафрагмой закрывается крышкой 120 (рис. 92).
Коробка патрубка 121.

Коробка термостата фотокамеры разъемная Д-14 (создания герм.)

тичности позиции большого зеркала из коллиматора — выписано кольцо с «войловой» проекцией.

Верхнее зеркало зеркального оптического тела, как и в фотокамере С-180, по оправе 127 привинчено к трубе, внутрь которой размещена диафрагма, плюс ее новая линзочка 128 и призма со ступенчатым ослабителем.

Для утешения вынужденной супружеской несогласия женой замечено ее лицо имеет разрыв. Встречаются лица, на которых видны в рожечку из рисунков с орнаментом, изображающим глаза, нос и рот, на склоне лица.

В оправе имеется окно для выставки кистей и художника с обеих сторон.

Актуальні проблеми

Фотопищет для приц. № 27-281 предстающий обод лентопротяжный механизма с 25-мм шагом винта и с шагом 12-мм.

На бывший склад в окрестности поставлялись ящики для гирев сенбернаровской Тоск. Гиря построена из мрамора белого и заменяет камень, который требуется 22-х кг. Ящики оштукатурены изнутри.

Рано утром в музейной галерее я снял два кадра птицы, прятавшейся под деревом. Одним из них я воспользовался для создания кадра, изображающего птицу на земле. Тыльная сторона фотографии старается показать склонивший голову птенец, которого я по-прежнему не могу различить на первом кадре. Второй кадр показывает птенца, сидящего на земле, и я воспользовался им для создания кадра, изображающего птицу на дереве. На первом кадре птенец сидит на земле, а на втором — на дереве.

Більшість даних та методичні рекомендації засновані на даних, отриманих в ході дослідження відповідно до Рекомендацій з питань експлуатації та обслуговування високотехнологічного обладнання та засобів підтримки праці (далі — Рекомендації).

Кроме того, в отдельных случаях для уменьшения времени пребывания в промежуточном состоянии вспомогательного газа в трубопроводе предпринимаются меры по уменьшению времени пребывания газа в трубопроводе.



Основные данные фотоприставки

1. Электродвигатель типа СЛ-240с, напряжение питания 24 в — 1,9 ампера, п=3700 об/мин управляет от КП С-180-С.

2. Скорости протягивания пленки: при гиперсенсибилизации 3,75 м/мин — 6,25 см/сек; при записи вариаций 7,5 мм/мин — 45 см/час

3. Емкость кассеты 60 м

4. Пленка 35-мм перфорированная

5. Длина окружности колыца, воспринимаемого изменения напряженности магнитного поля, 90 м, число витков в нем — 16

Рассмотрим кинематическую схему фотоприставки (рис. 28)

Электродвигатель 134 через червяк 135, шестерню 136 и червяк 137 сообщает движение червячному котеску 138, свободно сидящему на своей валу. Одновременно от шестерни 136 через 140—139 и 111 движение передается шестерне 142, тоже свободно сидящей на ее валу.

Шестерни 138 и 142 соединяются с валом посредством муфты передключения скоростей 143, управляемой рукояткой 144 из передней стенки фотоприставки (рис. 27). Муфта свободно скользит вдоль вала, но, благодаря шпонке вращается с ним как одно целое. Кулечками, входящими в отверстия, муфта соединяется либо с шестерней 138, либо с 142. При этом получаются различные передаточные отношения в тех различных скоростях приведения вала

Далее через червяки 145 и 116 передается на шестернию 148 кассеты 147, с которой связывается приводная шестерня 149 кассеты

Кассета фотоприставки по кинематической схеме подобна кассете фотокамеры, но конструктивно от нее отличается. Транспортировка пленки осуществляется зубчатым барабаном кассеты через зубчатый ролик член достигается равномерное движение пленки

Таким образом, кассеты камеры и фотоприставки независимо меняются.

Проникающая фокусировка фотоприставки может быть осуществлена при помощи микроскопа (фокусировочная кассета) фотокамеры

Управление фотоприставкой синхроточечко на КП с 8-штырьковым штекерным разъемом III на правой стенке КП при этом она кабели соединяется с разъемом III фотоприставки 119 (рис. 26).

На задней стенке фотоприставки установлены также релея лампочки отсчета времени III-150 (рис. 26) и четырехштырьковый ШР для подключения лампочек, сигнализирующих о срабатывании привыходных реле. Здесь же поменяется кнопка 151 замка кассеты

К задней стенке фотоприставки привинчен кожух электродвигателя 152.

На передней стенке находятся тубус 133 (рис. 27) и рукоятка передключения скоростей 141 (рис. 27, 28)

Фотоприставка крепится при помощи ляжечек, соединенных с клеммной планкой, привинченной к столу

III ОСОБЕННОСТИ ЭЛЕКТРИЧЕСКОГО СХЕМЫ С-180-С

Электрическая схема С-180-С отличается от описанной выше отсутствием синхронометра, отмечиков, обогрева зеркала и введение новых цепей — неоновой лампочки и фотоприставки. Отсутствующие в камере С-180-С цепи на принципиальной схеме показаны пунктиром

Переключатель В₃ на панели внутри КП при работе со спектраль

ной камерой становится в положение «Спектр». При этом от батареи сухих элементов через клеммы K₁, K₂ и контакты 10 и 18 26-штырькового ШР на неоновую лампочку ПЛ подается напряжение 80 в. Лампочка типа МН18 имеет потенциал рабочий 65—85 в. Набаланс напряжения сасается сопротивлением R₁, выведенным под плинт в переходной коробке ствола от ШР телефона. Если лампочка не загорается (что может произойти из-за ее старения, сопровождающегося повышением потенциала эmissionи), или при разряде батареи, нужный потенциал на плюсе лампочки может быть восстановлен с помощью

Неон-лампы, соединенной с соответствующей регулировкой R₀. Неон-лампа соединяется с электродами разной формы и горит лишь при правильном ее расположении — всегда должен соединяться с плюсом источника питания и неподвижный контакт — с минусом. Нормальная работа лампочки — 200 часов.

Быстро горячий плюс лампочки производится однополюсным выключателем В₁, расположенным на нижней стороне оправы большого зеркала вместе с ручкой первичной лампочки.

Рассмотрим заслуженную схему фотоприставки. Начнем с реле питания М₁ поддается от сети обогрева зеркала и от стоящего на его боковинах источника напряжения, выключателя В₂. Фотоприставка реостат R₁. Мотор фотоприставки, вывод 2Ш-Ш₁, электропитание — сеть, вывод 3 штекерного разъема, минус источник питания

При срабатывании Р₁ вспыхивает лампочка ЛН1, отметок времени. Достигнув этого, с таймером образа выводы 2 и 5 Ш₁ закорочены, так как контакты 3 и 4 при полном включении в кротодвигателе оказываются соединенными с плюсом и боковиной питанием. При срабатывании реле замыкается цепь плюса с катушкой тягания, имеющей сопротивление R₂, контакты 3—4 Р₁ реле Р₁, вывод 8 Ш₁ и Ш₂, релешка Ш₂ на фотоприставке, лампочка отсчета времени, вывод 3 Ш₁ и Ш₂, минус источника питания

Необходимость ведения R₂ обусловлена тем, что лампочка ЛН1 нестабильна, а напряжение на нее подается от источника в 24 в

Лампочки, сигнализирующие о срабатывании предвыходных реле, присоединяются к выводам 1—4 и 1—7 Ш₁, Ш₂. Для удобства подключения эти контакты можно соединить с четырехштырьковым ШР фотоприставки.

Легко проследить по принципиальной схеме, лампочки будут вспыхивать при замыкании контактов 1—2 IV реле Р₁ и 1—2 IV реле Р₁₆. Провод, идущий от контакта Ш₂ к лампочкам, является общим; в его разрыв подключается источник питания, так как от цепей КП на эти лампочки напряжение не подается



ЧАСТЬ ЧЕТВЕРТАЯ ЭКСПЛУАТАЦИЯ СПЕКТРАЛЬНОЙ КАМЕРЫ I. ИСТИРОВКА ОПТИКИ

Установка зеркал производится так же, как и в фотокамере С-180 Поверх большого зеркала на щитах устанавливается диафрагма.

Готовность положения плоскости щели в фокусе котлиматора обеспечивается ювильской регулировкой. При установке первого зеркала необходимо следить за тем, чтобы создаваемое им изображение было сфокусировано на щель. Для этого, открыв окно в оправе зеркального зеркала, снять изображение посреду белой бумаги и на этом экране анализировать качество изображения лампочки, расположенной в 2,5-3 м от зеркала. Передвижная лампочка вдоль вертикала, проходит фокус, и в три-четырех участках щели. При необходимости фокусировка может быть осуществлена изменением положения проекционных колец под зеркалом.

При исправлении эту регулировку, окно в оправе зачищают и приступают к проверке качества спектра и фокусировке фотокамеры. Головка с камерой помещается в затемненном помещении. При перемещении фокусировочной кассеты при диафрагме 1,5 проверяется качество спектра и находящееся положение инфузального фокуса, после чего производится фотография фокусированной камеры (см. «Фокусировка камеры»). Съемка обязательно должна проходить при закрытом термостате, чтобы на решетку не попадал рассеянный свет.

Одновременно проверяется качество неоповового спектра, снижаемого через ступенчатый ослабитель, и плотность изображения часов.

II. СЪЕМКА СПЕКТРОВ ПОЛЯРИНЫХ СИЯНИЙ И РАБОТА С ФОТОПРИСТАВКОЙ

Установка, включение, проверка и наладка КП производится так, как описано выше. Клеммы «Хронометр» подключаются к реле времени КП С-180 специальным пинцетом, входящим в комплект фотографической камеры.

При загрузке программы, кроме изменения частоты съемки, величины выдержек и диафрагм, могут меняться также ширина щели и положение головки.

Необходимо следить, чтобы в первоначальном состоянии прибора диафрагма с прорезью была снята с оправы верхнего зеркала, а вместо нее была надета крышка. Попадание снега внутрь недопустимо, так как, во-первых,

снег может забить щель, отверстие диафрагмы и неоповую лампочку, а во вторых, может нарушить плавность хода подвижной щечки щели.

В остальном об обслуживание камеры С-180-S не отличается от обслуживания фотографической камеры С-180.

Данные спускователя оставляются и приводятся в прилагаемом к нему паспорте.

Фотоприставка устанавливается на столе и соединяется с КП. Недалеко от прибора стоят пальчиковый и лампочки, положение и яркость горения которых определяются экспериментально: сначала при помощи фокусировочной кассеты, а затем при пробном фотографировании. К кассете гальванический провод снимается с магнитным кольцом, расположенным на земле вне здания.

Зарядка кассеты фотоприставки ничем не отличается от зарядки кассеты фотокамеры.

Включение фотоприставки производится тумблером «Фотоприставка» на КП. При замыкании этого контакта работает электродвигатель и подается напряжение к лампочкам, отсчет времени.

Перед зарядкой в кассете фотокамера пленка может быть подсушена путем прокатки ее на фотоприставке. Для этого ее прикатывают к кассете фотоприставки и с помощью скоростью прокатывают переднюю граничную линию (см. в. 30). Режим подсушки подбирается с огненным путем, начиная с низкой температуры. Контрольная лампа должна иметь значение нормы 0/3.

Получение спектра должно происходить при выключенном электропитании.

При необходиимости в трубе могут быть ввернуты имеющиеся в комплекте испытательные фильтры 5 и 10².

При сборке спектра при работе фотоприставки должна быть включена, так как иначе ее будет работать электродвигатель.

III. УХОД ЗА СПЕКТРАЛЬНОЙ КАМЕРОЙ

1. Оптическая система

Чистка зеркал С-180-S производится так, как это описано в разделе «Уход за фотографической камерой».

Внимательно следите за тем, чтобы под диафрагму большие зеркала не падали снег, который может там смерзнуться в сплошную массу и пристать к зеркалу.

Чрезвычайно боится выварки в обращении требует реплика. Желатиновый ее слой легко повреждается, поэтому следует всячески берегать голость термостата от пыли и влаги.

Реплику необходимо защищать от механических повреждений, за гризли и химических воздействий, чтобы надолго сохранить ее оптические свойства. Следует особенно охранять реплику от щелочей, так как они легко растворяют алюминий.

Рекомендуется для этого следующие меры предосторожности:

1. При установке реплики в прибор обеспечивать хорошую защиту ее от пыли, для этого на фланец прибора должен быть достаточно герметичным. В тех случаях, когда это невозможно сделать, необходимо иметь местную защиту. В первоначальном состоянии реплику следует закрывать крышками оправы.

2. Не прикасаться к защищенной поверхности реплики пальца-

чи или какими-либо предметами, даже мягкими (ватой, беличьей кисточкой и др.).

3. Не разговаривать над открытой репликой во избежание попадания на нее слюны.

4. Производить чистку реплики возможно реже. Рекомендуется применять следующий способ чистки рабочей поверхности реплики: пыль удалить сдуванием струей чистого воздуха (не пользоваться сжатым воздухом).

для удаления жировых загрязнений вынуть реплику из оправы и промыть 2–3 раза в легких фракциях бензина (петролейный эфир);

при сильном загрязнении реплики можно допустить в процессе промывания ее в эфире легкое протирание куском мягкой, чистой ваты обильно смоченной эфиром (движения делать только вдоль штрихов в одном направлении). Однако эту операцию производить в самых крайних случаях и поручать ее лицам, знающим свойства реплик и чистоту оптики.

Периодически следует проверять через окно в оправе верхнего зеркала состояния щели, отсутствие на ней снега, пыли, легкость хода микрометрического винта, отсутствие перекосов подвижной створки и заборника на нее.

Ласточкин хвост щели смазывается специальной морозостойкой смазкой. Ни в коем случае не допускается разборка щели, так как по движению ее части пришлифованы с очень большой точностью, которая при разборке неминуемо будет нарушена.

Чистка щели производится следующим образом: установив ширину 0,3–0,4 мм, в щель вдвигают конец чистящей спички, которой проводят несколько раз вдоль щели в одном направлении.

2. Фотоприставка

Уход за фотоприставкой аналогичен уходу за камерой.

В сроки, указанные для фотокамеры, производится очистка трека (следует внимательно следить за состоянием щели в нем), смазка подшипников электродвигателя и шариковых валиков. Для доступа к ним снимается задняя стенка фотоприставки. Трек фотоприставки, как и трек камеры, вынимается специальным ключом.

Приложение № 1.

ХАРАКТЕРНЫЕ НЕИСПРАВНОСТИ УСТАНОВОК С-180 И С-180-5

Ниже приводится список наиболее часто встречающихся неисправностей в работе приборов. Такие очевидные неисправности как перегревание лампочек, обрыв цепи и т. д., в таблице не включены.

№ № п.п.	Неправильное исполнение	Причины	Устранение	
			Командный прибор	Установка
1	При выключении гумбера	Щелкает или не работает	а) Несоблюдение правил заключа К-К и К-К. б) не работает Р а, из-за неправиль- ного подключения и в поля и выключателя Р	а) Проверить щелкатель и старт, приовать. б) проверить и исправить.
2	Задержка	Щелкает	1. включить щелкатель 2. включить Р	1. включить щелкатель 2. включить Р
3	Задержка	Щелкает	а) Недоработанность щелкательных ключей, подключить щелкатель и проверить.	а) Недоработанность щелкательных ключей, подключить щелкатель и проверить.
4	Задержка	Щелкает	б) не работает щелкатель и Р	б) не работает щелкатель и Р

4. Установка

5. Командный

6. Установка

1	2	3	4
4	Залипает ШИЧ	Не размыкаются контакты 3, 4 IV Pr;	Отрегулировать,
5	При съемке ШИЧ срабатывает одновременно с Р9	а) Ви стоит в положении «Стандарт»; б) неработающий ШИС стоит в положении «5»	а) Поставить в другое положение б) То же.
6	При включенном Ви перескок отсутствует	Не замыкаются контакты Р9	Отрегулировать
7	Наблюдаются ложные перескоки	Закорочены сопротивления R4, R8 и R6	Проверить и исправить
8	В каком-либо из положений ПИИС и ПИИМ не появляется импульс на предвыходные реле	а) Ненаправлен соответствующий выключатель. б) обрыв в проводах	а) Заменить. б) проверить тестером и исправить
9	Вынужденные промежутки между пинами и металлическими частями	Не сработал мотор камеры	Послать дополнительный импульс при помощи КИИ (КИЛ)
10	Контакты реле сильно вскряг и обгорают	Пусковая сцептагивающая искра и тигель «мачка»	
11	Ламповые схемы включаются, но стабилитоны не загораются	а) Не хватает питание б) Не срабатывает Р9 (Р4).	Исправить
12	Стабилитоны не гаснут	а) Повреждение С1 и С2, б) залипают Р2 (Р4).	а) Отрегулировать при помощи Ra или заменить батарею; б) проверить цепи питания и исправить повреждение
13	Ламповые схемы работают, но ШИС не передвигается	а) Не замыкаются контакты Р9 (Р5)	а) Заменить. б) см. 11 б. Отрегулировать

1	2	3	4
14	Длиннодействующий импульс на выходе параллельного генератора	Параллельный генератор схемы в рабочем режиме	Отрегулировать при помощи R ₁ (R ₂)
15	Нестабильность с частотой 1 герц. Нарушение стабильности	Нарушение стабильности схемы ПЧ при работе не в рабочем режиме	Отрегулировать при помощи R ₁
16	Нестабильность с частотой 1 герц. Амплитудно-частотная характеристика имеет форму волнистую	Большое значение ω_0 в схеме	Перевести в рабочее положение «1 сек»
17	Не работает генератор	a) Выходное напряжение отсутствует б) неустойчивое колебание	a) Выключатель С1 перевести в положение «1 сек» б) выключатель С2 перевести в положение «1 сек»
18	Не работает фотоприставка	Выходное напряжение 0-40	Выключатель
19	Вал электродвигателя фотоприставки вращается в обратную сторону	Неправильная полярность включения питания	Неправильная полярность
Фотокамера			
20	При низком напряжении питания электродвигателя не срабатывает	a) Недостаточное напряжение, б) заедание в механизме и защелкнутая смесь	a) Повысить напряжение, б) снять фоторезистор и проверить его вольтметром
		c) затупление стекла, d) нарушение герметичности корпуса и мундштуков	c) заменить стекло, d) обогреть корпус и мундштук
		e) замыкание в цепи КД, КИ, КИИ, КИІІ	e) открыть устройство
		f) замыкание в цепи КД, КИІІ	f) отрегулировать

1	2	3	4
22	Красная лампочка долго не загорается или не гаснет	Не протягивается пленка из-за неправильной установки величины натли или из-за обрыва	Перезарядить кассету
23	Отсутствует изображение часов	Перегорела одна из лампочек ЛН; ЛН ₂ ; ЛН ₃ (ЛН ₁ ; ЛН ₂ ; ЛН ₃)	Заменить
24	Изображение часов передержано или недодержано	a) Слишком большая или недостаточная яркость горения лампочек подсветки б) см п 29. в) сбит обтюратор	a) Отрегулировать при помощи R ₁ (R ₂) в) установить по рискам Выставить и закрепить
25	Отсутствует изображение отпечатков	Сбиты каломаторы отметчиков	
	Обтюратор и линзу полностью снятое или открывает объектив	a) При полной скорости риска на обтюраторе и совпадает с рисунком на транке б) см п 21	a) Поставить маховичок передела скоростей в нейтральное положение и совместить рисунки
			Головка
26	Полость термостата перереветя	Недействие терморегулятора	Заменить
27	Об греч выключен, но полость термостата не нагревается	a) То же, б) сбит один или несколько обтюраторов, телей	a) То же б) То же
	Не горят отметчики	a) Считываки забиты снегом, б) нерушная регулировка яркостей, в) В - стоит в положении «Спектр»	a) Очистить, б) отрегулировать при помощи R ₁ , R ₂ , R ₃ , в) поставить в положение «Фото»

1	2	3	4
30	Не горит неоновая лампочка	a) Неправильное включение, б) В - стоит в положении «Фото»	a) Изменить полярность, б) поставить в положение «Спектр».
31	Головка У-180-С не вращается	Загрязнен или забит снегом подшипник	Разобрать, очистить и смазать
32	Не вращается микрометрический винт регулятора ширин щели	На щели сидит влага	Снять щель и просушить при комнатной температуре
			Оптическая схема
33	Ухудшение резкости изображения	a) Расфокусирована фотокамера б) на зеркалах осела влага	a) Отфокусировать, б) удалить при помощи фена
34	Спектр срезан	a) Загрязнена щель, б) неправильная установка диафрагмы.	a) Очистить, б) исправить
35	Систематические недодержки	Помутнение зеркала и тиффракционной решетки	Заменить

Приложение № 2
ПЕРЕЧЕНЬ ОБОЗНАЧЕНИЙ НА ИЛЛЮСТРАЦИЯХ

№ обозн.	НАИМЕНОВАНИЕ	№ № фото	№ обозн.	НАИМЕНОВАНИЕ	№ № фото
1	Выпуклое сферическое зеркало	4	35	Валик завода часов	12
2	Вогнутое сферическое зеркало	4	36	Кнопка замка кассеты	12
3	Коллимационная линза	4	37	Маховинок перевода скоростей	12
4	Объектив фотокамеры	4,23	38	Электродвигатель фотокамеры	12
5	Войлочная прокладка	5	39	Кнопка непосредственного управления электродвигателем	12
6	Стопорный винт для крепления фасонного проволочного кольца	5	40	Штепсельный разъем для подачи управ-ляющих импульсов	12
7	Обогреватель	5	41	Редуктор	12
8	Терморегуляторы	5	42	Кулаковский механизм с контактами	12
9	Стойки оправы коллимационной линзы	5	43	Трек плечики	12
10	Войлочная прокладка	5	44	Грейфер	12
11	Стойки крепления оправы верхнего зеркала к основанию головки	6	45	Электродвигатель фотокамеры	13
12	Крышки нижнего и верхнего зеркала	7	46	Муфта	13
12	Крышка оправы верхнего зеркала с обогревателем и терморегулятором	7	47	Червяк	13
13	Розетки для включения отметчиков «север-юг»	7	48	Червячное колесо	13
14	Розетка переносной лампочки	8	49, 52	Две пары конических и цилиндрических шестерен	13
15	Штепсельный разъем для подвода шнита к фотокамере	8	53	Шестерня вращения	13
16	Отметчик «север-юг»	8	54, 55	Шестерня первичного вала	13
17	Визир	6	56-7	Шестерня вторичного вала	13
18	Приливы для соединения с распорками треноги	5	58	Червяк	13
19	Стопорный винт для крепления шарового шарнира.	6	59	Червячное колесо	13
20	Керпс фотокамеры	10	60	Шестерня камеры	13
21	Обогреватель и терморегулятор для часов «Победа» в фотокамере	10	61	Шестерня	13
22	Головка обтюратора фотокамеры	11	62	Нижняя крышка кассеты	14
23	Объектив	11	63	Плато кассеты	14
24	Шестерня фокусировки	11	64	Верхняя крышка кассеты	14
25	Шестерня диафрагмирования	11	65	Подавляющая бобина	14
26	Коробка с часами	11	66	Принимающая бобина	14
27	Шестерня завода часов	11	67	Колодка	14
28	Контакт головки обтюратора	11	68	Застежки верхней крышки кассеты	14
29	Терморегулятор системы обогрева камеры	11	69	Сменник метража неэкспонированной пленки	14
30	Маховинок диафрагмирования объектива	11	70	Ролик счетчика метража неэкспонированной пленки	14
31	Маховинок фокусировки объектива	11	71	Шестерни кассеты	13
32	Ласточкины хвост для крепления фотокамеры в головке	12	72	Лентопротяжный барабан	13
33	Валики диафрагмирования и фокусировки объектива	12	73	Лентопротяжный барабан	13
34			74	Парашитка	13
			75	Шестерни принимающей бобины в кассете фотокамеры	13
			76	Матовое стекло фокусировочной кассеты	16
			77	Маховинок фокусировки кассеты	16
			78	Винт крепления фокусировочного маховинки кассеты	16
			79	Кронштейн крепления фотокамеры	16

№ обозн.	НАИМЕНОВАНИЕ	№ фото	№ обозн.	НАИМЕНОВАНИЕ	№ фото
80	Винт с барашком для крепления фотокамеры	8	123	Коньек	23,25
81	Г-образный прижим	8	124	Окно в основании головки	25
82	Выключатели обогревателей большого и малого зеркала	8	125	Термостат, установленный в окне основания головки	25
83	Поляризованное реле Р	18	126	Крышка нижнего зеркала	25
84	Лампа Л1 типа БН15П	18	127	Оправа верхнего зеркала	25
85	Конденсатор С МВГП-2	18	128	Неоновая лампочка	25
86	Стабилитон типа СГ-2С	18	129	Винт регулировки щели	25
89	Лампа Л2 типа БН15П	18	130	Барашек для крепления штевневой пластины	25
90	Переменное сопротивление R ₃	18	131	Щель трака фотоаппараты	25
91	Шаговые исподтии типа ШИ-11	18	132	Вилка для подключения лампочки фотоаппараты к источнику питания	26
94	Реостат R ₁ «Освещение часов I пр»	18	133	Тубус фотоаппараты	27
95	Реостат R ₂ «Освещение часов II пр»	18	134	Мотор фотоаппараты	28
96	Реостат R ₃ «Напряж. отметчика»	18	135	Червяк	28
97	Реостат R ₄ «Юг»	18	136	Шестерня	28
98	Реостат R ₅ «Север»	18	137	Червяк	28
99	Реостат R ₆ «Аподное напряж.»	18	138	Червячное колесо	28
100	Реостат R ₇ «Напряж. накала»	18	139	Передаточные механизмы	28
101	Реостат R ₈ «Камеры»	18	140	Шестерня	28
102	Окно верхней крышки термостата	18	141	Муфта переключения скоростей	28
103	Заслонка окна термостата	22	142	Рукоятка переключения передач	28,27
104	Штепсельный разъем	22	143	Передаточные червячки	28
105	Выпуклое сферическое зеркало	23	144	Шестерни	28
106	Диафрагма	23	145	Принципиальная шестерня кассеты	28
107	Вогнутое сферическое зеркало	23	146	8-штырьковый штепсельный разъем фотоаппараты	28
108	Щель	23	147	Розетка лампочки отметок времени	28
109	Коллиматор	23	148	Кнопка замка кассеты	28
110	Дифракционная решетка	23	149	Точка фокальной поверхности	28
111	Пленка	23	150	Цилиндр верхнего зеркала	28
112	Диафрагма выпуклого зеркала	23	151	Диафрагма коллиматора	28
113	Щелевая диафрагма	23,25	152	Подвижный козырек	28
114	Переключатель рода работ	23,25	153	Съемный стакан	28
115	Регулировка длительности импульса	18	154		
116	Штепсельный разъем, к которому подводится 90-метровый кабель	21	155		
117	Штепсельный разъем, от которого подводится кабель на головку установки	21	156		
118	Штепсельный разъем, от которого подводится кабель на линзовую камеру	21	157		
119	Зубчатый барабан для подавающей бобины кассеты	21			
120	Зубчатый барабан для принимающей бобины кассеты	14			
122	Шестерня для совмещения белой риски обогреватора с неподвижной белой меткой	14			
		12			



Приложение № 3
ПЕРЕЧЕНЬ ИЛЮСТРАЦИЙ

№ рис.	НАИМЕНОВАНИЕ
1	Общий вид фотокамеры С-180
2	Общий вид спектральной камеры С-180 S
3	Общий вид командного прибора
4	Оптическая схема С-180
5	Головка со снятым нижним зеркалом
6	Общий вид головки с зеркалами без крышки
7	Крышки
8	Головка с камерой (вид снизу)
9	Коробка термостата
10	Общий вид фотокамеры
11	Фотокамера со стороны объектива
12	Фотокамера со стороны электродвигателя
13	Кинематическая схема фотокамеры
14	Кассета
16	Фокусировочная кассета
18	Командный прибор с открытой крышкой
20	Шит
21	Переходная коробка с телефоном
22	Зеничная фотокамера в термостате
23	Оптическая схема С-180-S
24	Схема рабочих участков зеркал
25	Головка С-180-S
26	Общий вид фотоприставки
27	Общий вид фотоприставки со стороны тубуса
28	Кинематическая схема фотоприставки
29	Общий вид сенситометра ФСР-4 и пульта питания
30	Общий вид хронометра МХ-6
31	Принципиальная схема С-180 и С-180-S
32	План центральной диафрагмы
33	Развертка диафрагмы с прорезями
34	График для кривых h_1 , h_2 и u
35	Негатив съемки полярного сияния, полученный камерой С-180
36	Негатив съемки спектра полярного сияния, полученный камерой С-180-S: a) со щелью 0.2 мм; b) со щелью 10 мм

Зав. 1958

Declassified in Part - Sanitized Copy Approved for Release @ 50-Yr 2014/03/05 : CIA-RDP81-01043R003800230005-6

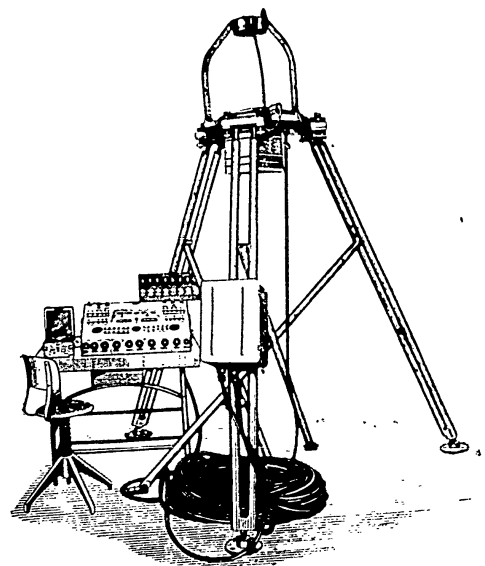
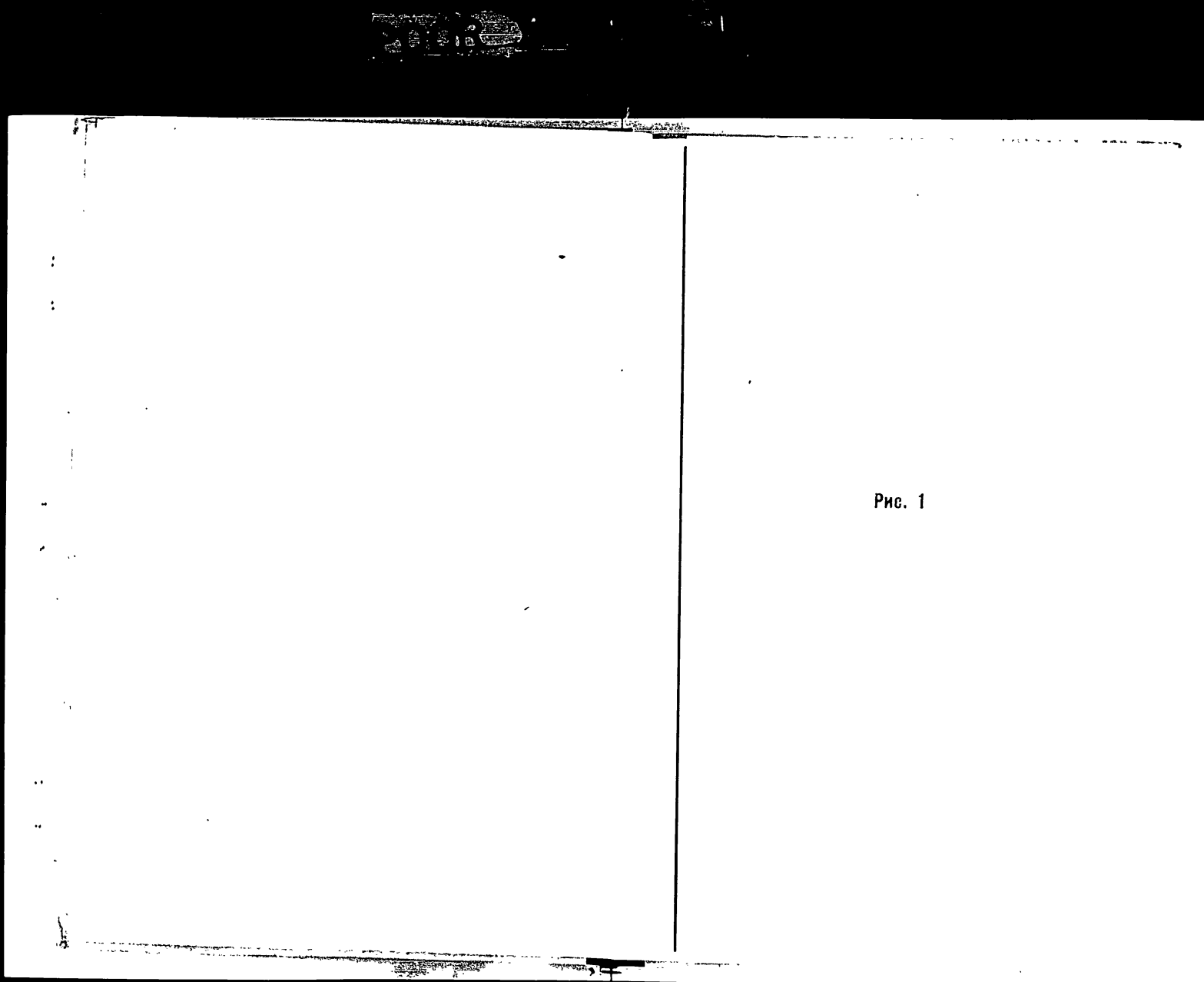


Рис. 1. Общий вид фотокамеры С-180.

Declassified in Part - Sanitized Copy Approved for Release @ 50-Yr 2014/03/05 : CIA-RDP81-01043R003800230005-6



Declassified in Part - Sanitized Copy Approved for Release @ 50-Yr 2014/03/05 : CIA-RDP81-01043R003800230005-6

Declassified in Part - Sanitized Copy Approved for Release @ 50-Yr 2014/03/05 : CIA-RDP81-01043R003800230005-6

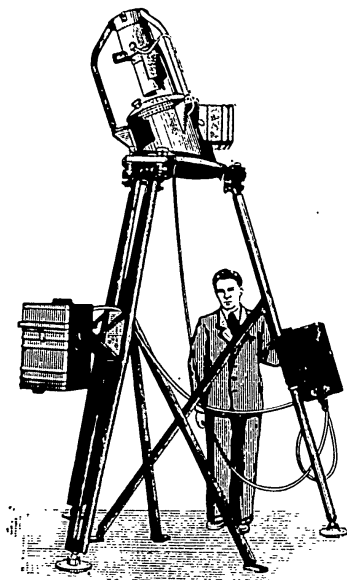


Рис. 2 Общий вид спектральной камеры С-180-5

Declassified in Part - Sanitized Copy Approved for Release @ 50-Yr 2014/03/05 : CIA-RDP81-01043R003800230005-6

PIC. 2

Declassified in Part - Sanitized Copy Approved for Release @ 50-Yr 2014/03/05 : CIA-RDP81-01043R003800230005-6

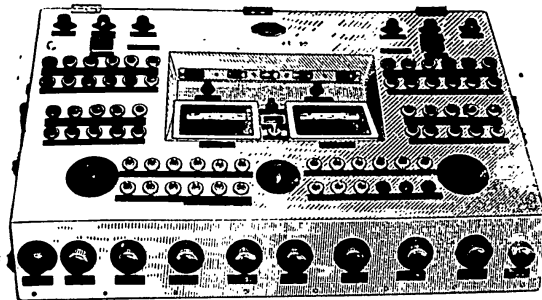


Рис 3 Общий вид командного прибора

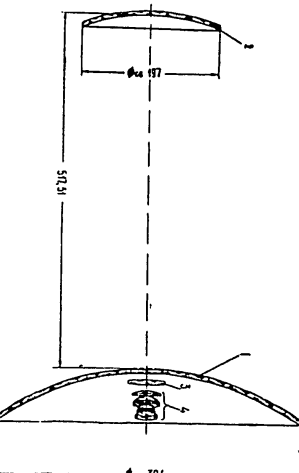


Рис 4 Оптическая схема С-180

Declassified in Part - Sanitized Copy Approved for Release @ 50-Yr 2014/03/05 : CIA-RDP81-01043R003800230005-6

Declassified in Part - Sanitized Copy Approved for Release @ 50-Yr 2014/03/05 : CIA-RDP81-01043R003800230005-6

Рис. 3 и 4

Declassified in Part - Sanitized Copy Approved for Release @ 50-Yr 2014/03/05 : CIA-RDP81-01043R003800230005-6

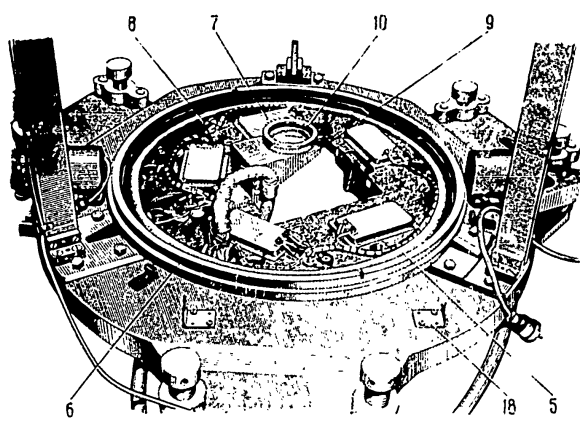


Рис. 5 Головка со снятым нижним зеркалом

Declassified in Part - Sanitized Copy Approved for Release @ 50-Yr 2014/03/05 : CIA-RDP81-01043R003800230005-6

PAG. 5

Declassified in Part - Sanitized Copy Approved for Release @ 50-Yr 2014/03/05 : CIA-RDP81-01043R003800230005-6

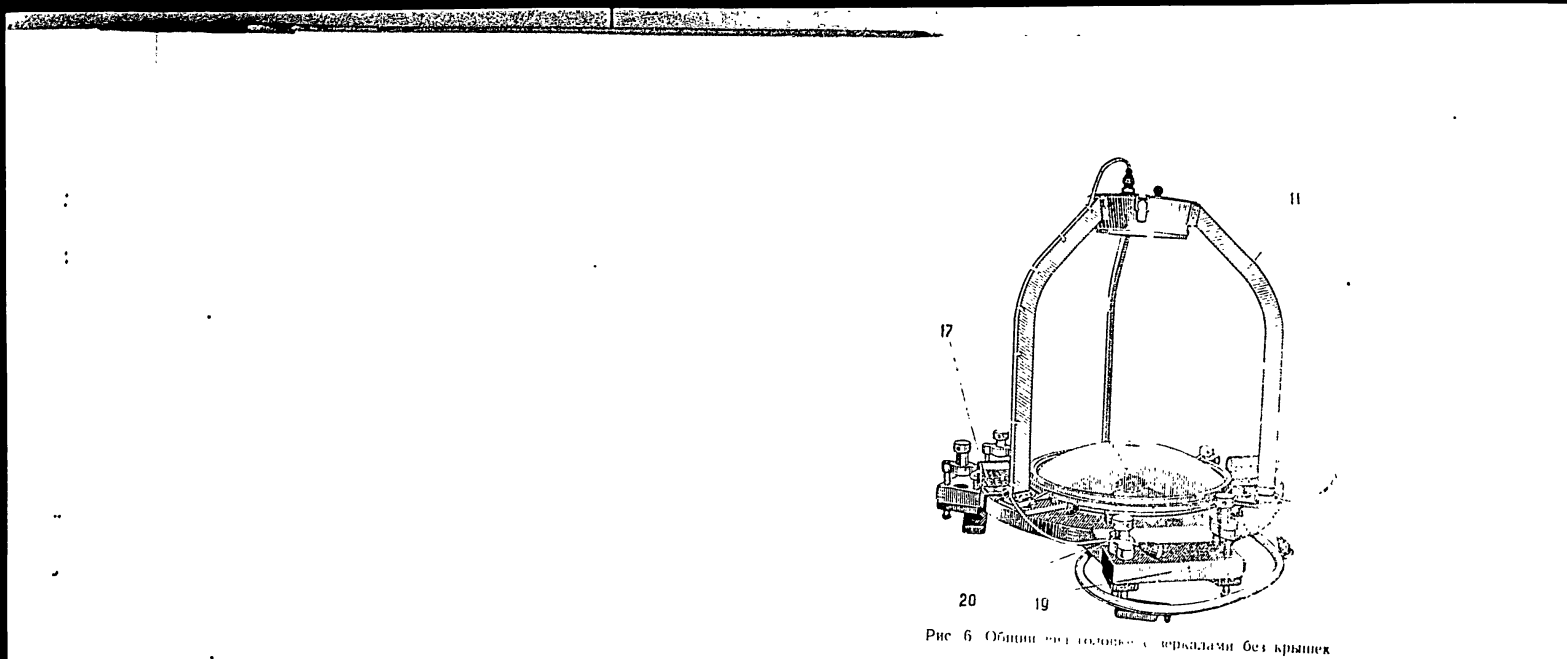


Рис. 6. Общий вид головки с герметиком без крышек

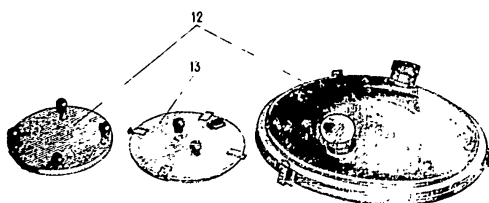


Рис. 7. Крышки

Declassified in Part - Sanitized Copy Approved for Release @ 50-Yr 2014/03/05 : CIA-RDP81-01043R003800230005-6



Рис. 6 и 7

Declassified in Part - Sanitized Copy Approved for Release @ 50-Yr 2014/03/05 : CIA-RDP81-01043R003800230005-6

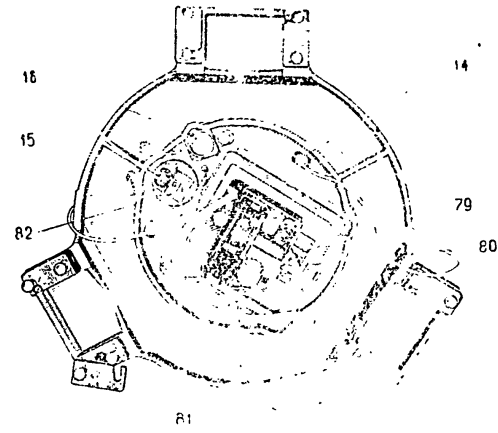


Fig. 8. Lens & Stop Assembly

Declassified in Part - Sanitized Copy Approved for Release @ 50-Yr 2014/03/05 : CIA-RDP81-01043R003800230005-6

Declassified in Part - Sanitized Copy Approved for Release @ 50-Yr 2014/03/05 : CIA-RDP81-01043R003800230005-6

Рис. 8

Declassified in Part - Sanitized Copy Approved for Release @ 50-Yr 2014/03/05 : CIA-RDP81-01043R003800230005-6

Declassified in Part - Sanitized Copy Approved for Release @ 50-Yr 2014/03/05 : CIA-RDP81-01043R003800230005-6

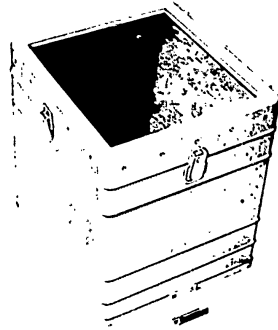
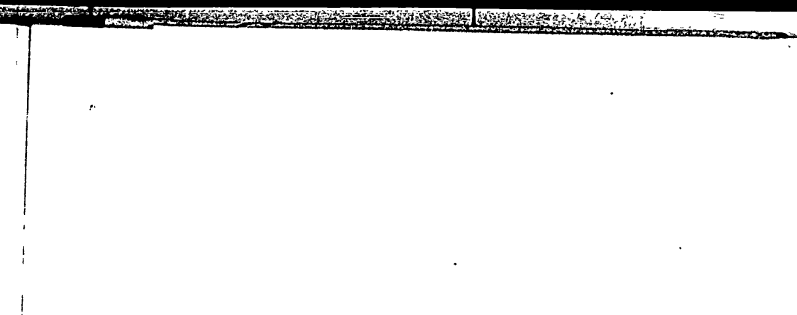


Рис. 9. Коробка

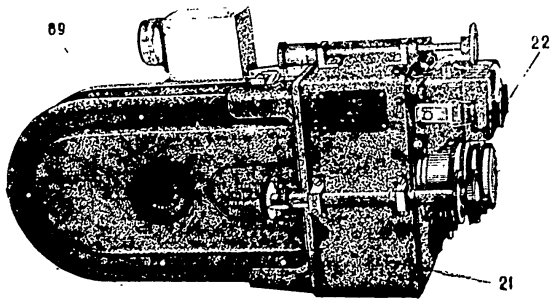


Рис. 10. Общий вид

Declassified in Part - Sanitized Copy Approved for Release @ 50-Yr 2014/03/05 : CIA-RDP81-01043R003800230005-6

Рис. 9 и 10

Declassified in Part - Sanitized Copy Approved for Release @ 50-Yr 2014/03/05 : CIA-RDP81-01043R003800230005-6

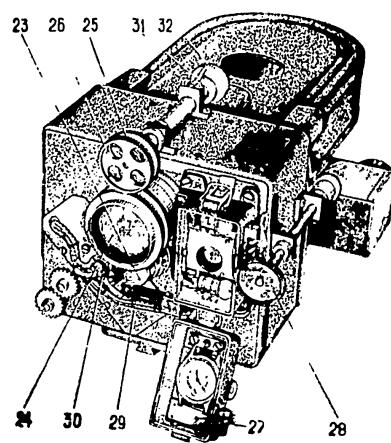


Рис. 11. Фотокамера со стороны объектива

Declassified in Part - Sanitized Copy Approved for Release @ 50-Yr 2014/03/05 : CIA-RDP81-01043R003800230005-6

Рис. 11

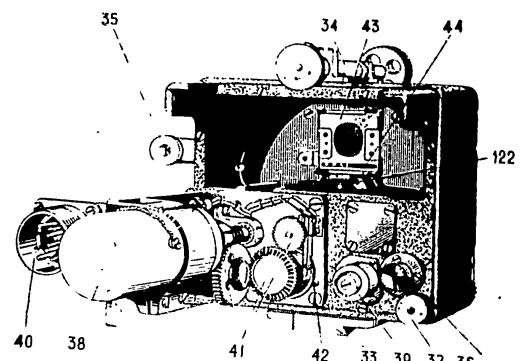


Рис. 12. Фотокамера со стороны с электропитанием

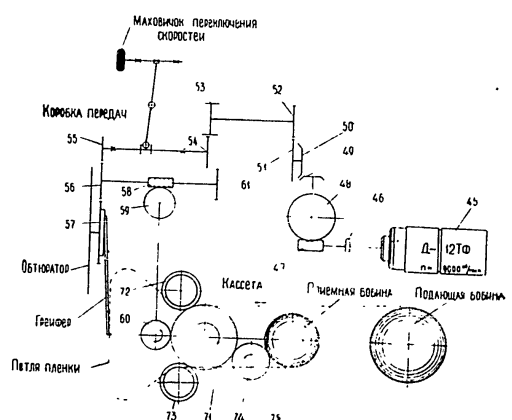


Рис. 13. Кинокамера с электропитанием

Declassified in Part - Sanitized Copy Approved for Release @ 50-Yr 2014/03/05 : CIA-RDP81-01043R003800230005-6

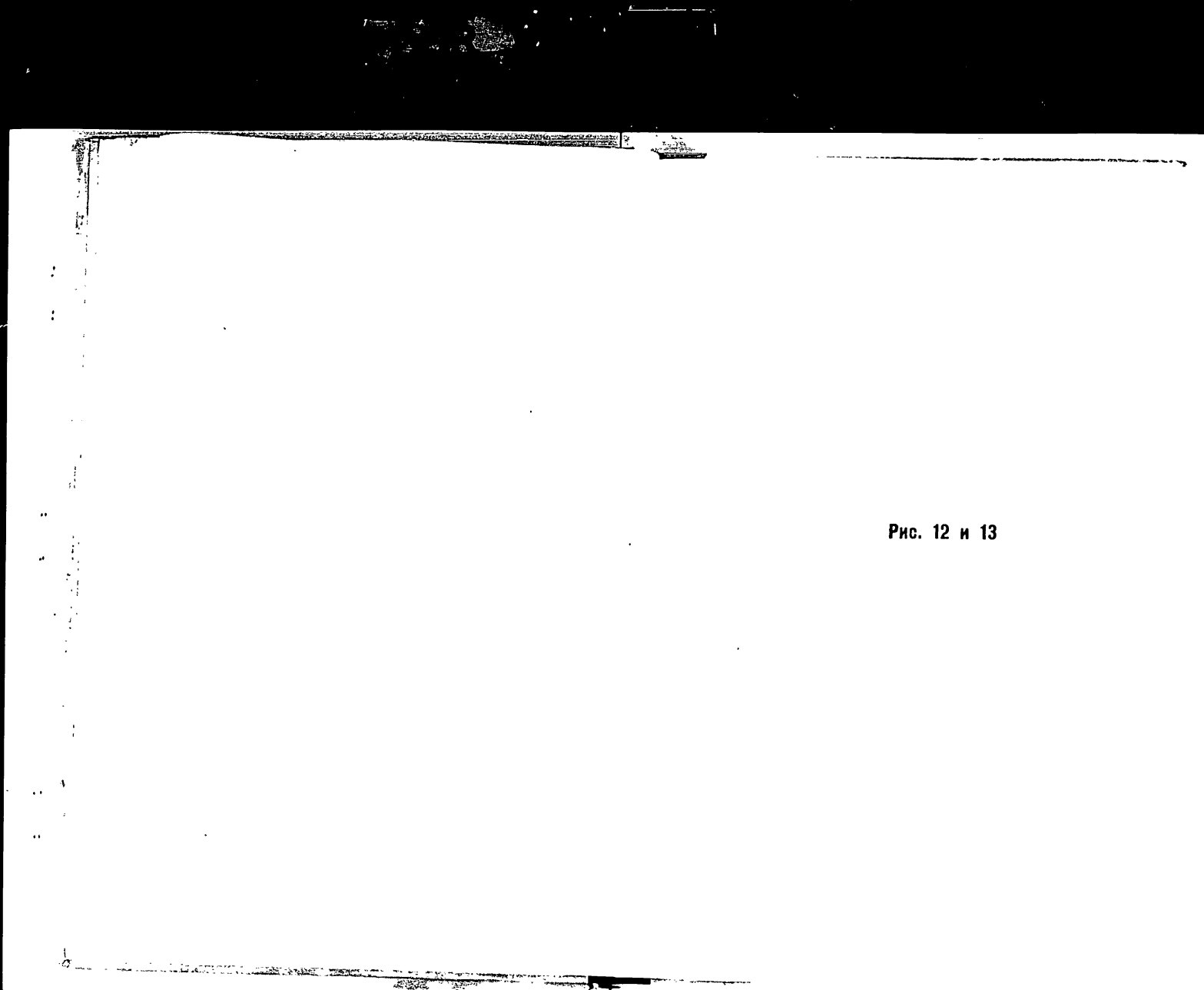


Рис. 12 и 13

Declassified in Part - Sanitized Copy Approved for Release @ 50-Yr 2014/03/05 : CIA-RDP81-01043R003800230005-6

Declassified in Part - Sanitized Copy Approved for Release @ 50-Yr 2014/03/05 : CIA-RDP81-01043R003800230005-6

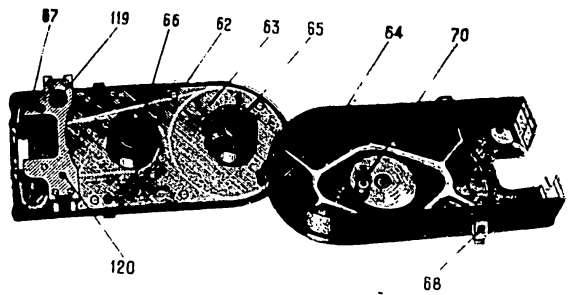


FIG. 11 Kamera

Declassified in Part - Sanitized Copy Approved for Release @ 50-Yr 2014/03/05 : CIA-RDP81-01043R003800230005-6

Рис. 14

Declassified in Part - Sanitized Copy Approved for Release @ 50-Yr 2014/03/05 : CIA-RDP81-01043R003800230005-6

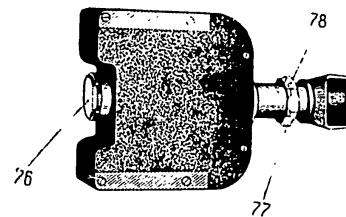


Рис. 16. Фокусировочная кассета

Declassified in Part - Sanitized Copy Approved for Release @ 50-Yr 2014/03/05 : CIA-RDP81-01043R003800230005-6

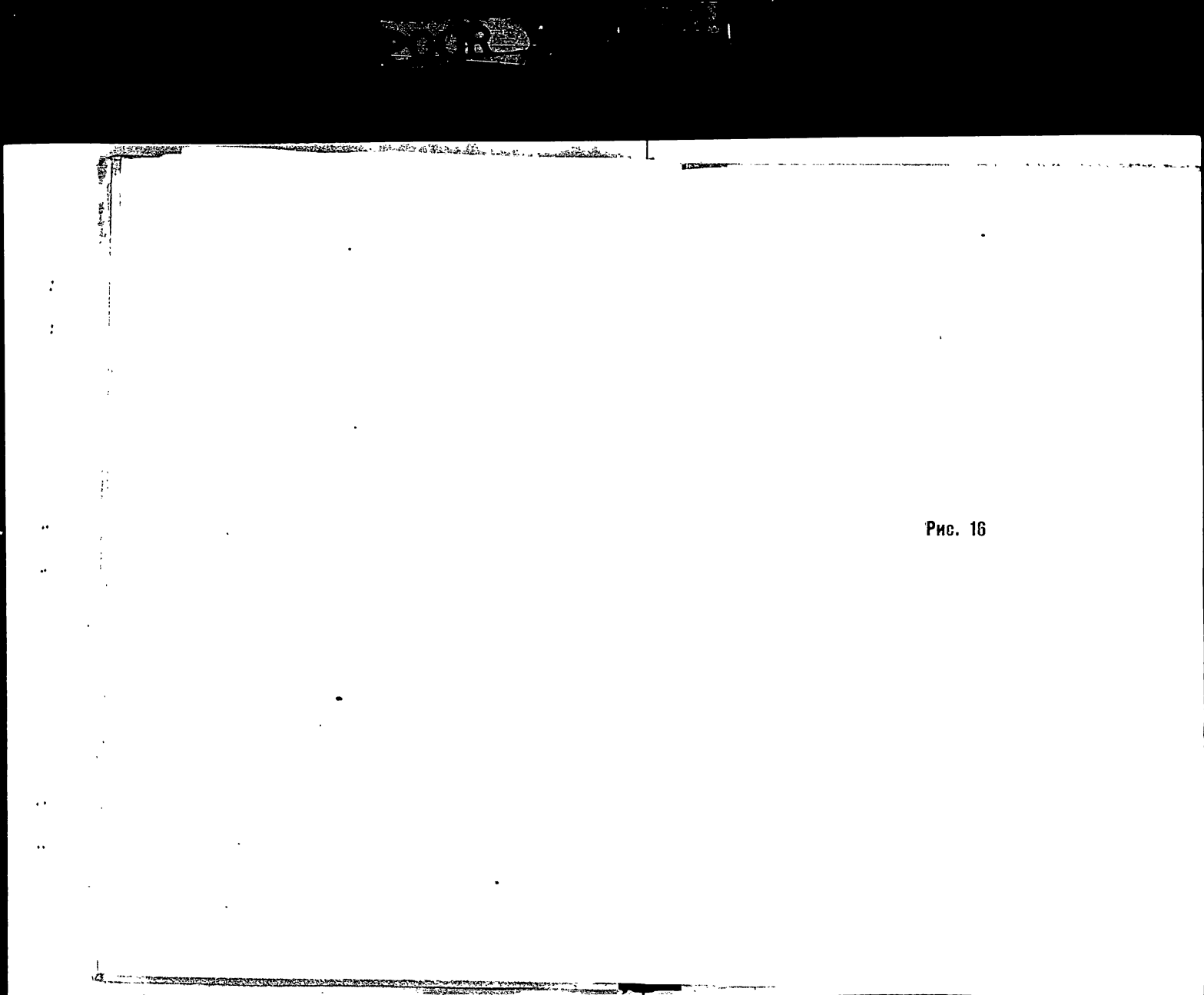


Рис. 16

Declassified in Part - Sanitized Copy Approved for Release @ 50-Yr 2014/03/05 : CIA-RDP81-01043R003800230005-6

Declassified in Part - Sanitized Copy Approved for Release @ 50-Yr 2014/03/05 : CIA-RDP81-01043R003800230005-6

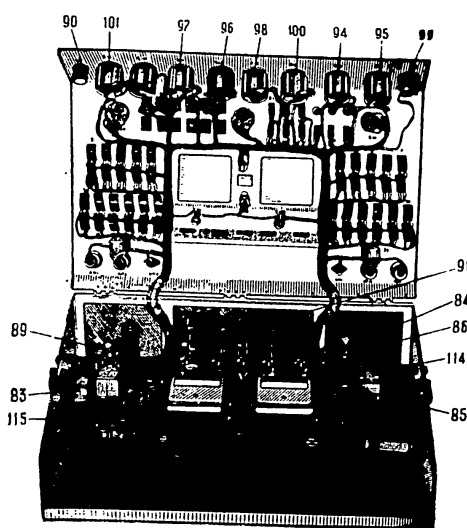
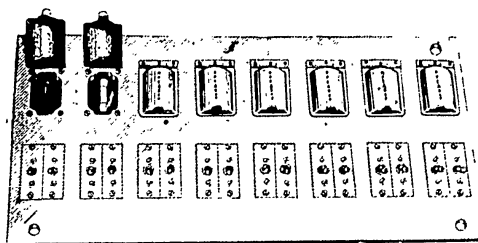


Рис. 18 Командный прибор с открытой крышкой

Declassified in Part - Sanitized Copy Approved for Release @ 50-Yr 2014/03/05 : CIA-RDP81-01043R003800230005-6

Рис. 18

Declassified in Part - Sanitized Copy Approved for Release @ 50-Yr 2014/03/05 : CIA-RDP81-01043R003800230005-6



Declassified in Part - Sanitized Copy Approved for Release @ 50-Yr 2014/03/05 : CIA-RDP81-01043R003800230005-6

1/2

PNC. 20

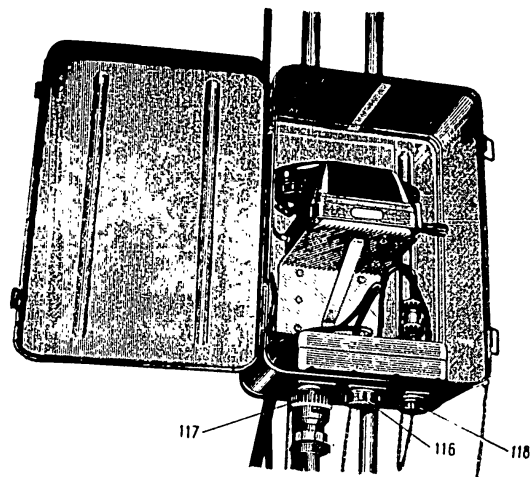


Рис 21 Переходная коробка с телефоном

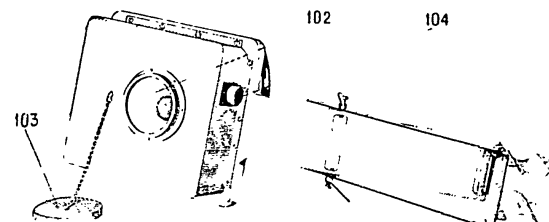


Рис 22 Зенитная фотокамера в термостате

Declassified in Part - Sanitized Copy Approved for Release @ 50-Yr 2014/03/05 : CIA-RDP81-01043R003800230005-6

FIG. 21 & 22

Declassified in Part - Sanitized Copy Approved for Release @ 50-Yr 2014/03/05 : CIA-RDP81-01043R003800230005-6

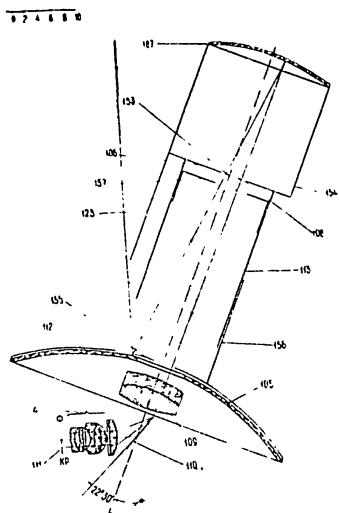


Рис. 23 Оптическая схема С-180-5

Declassified in Part - Sanitized Copy Approved for Release @ 50-Yr 2014/03/05 : CIA-RDP81-01043R003800230005-6

Рис. 23

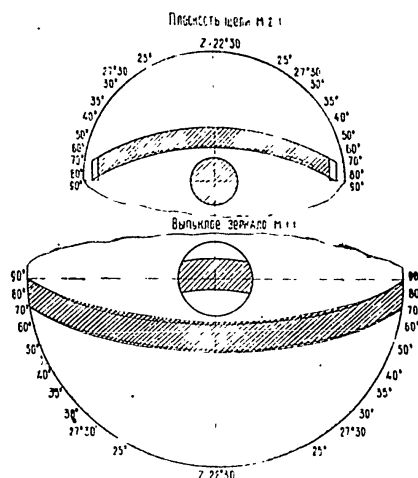


Рис. 24 Схема работы участков сферки

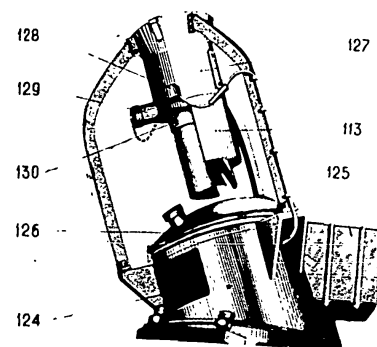


Рис. 25 Головка С-180 С

Declassified in Part - Sanitized Copy Approved for Release @ 50-Yr 2014/03/05 : CIA-RDP81-01043R003800230005-6



Рис. 24 и 25

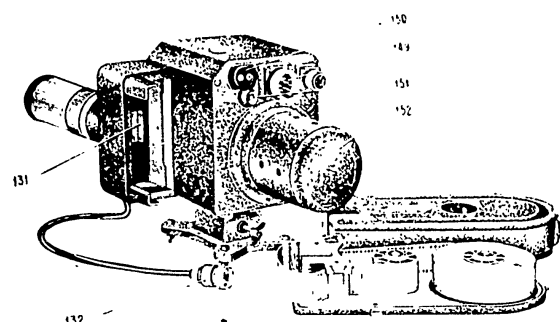


Рис. 26 Общий вид фотоприставки

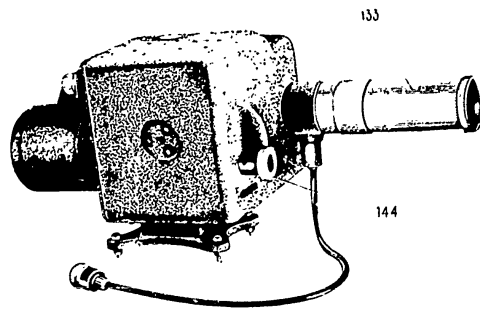


Рис. 27 Общий вид фотоприставки со стороны тубуса

Declassified in Part - Sanitized Copy Approved for Release @ 50-Yr 2014/03/05 : CIA-RDP81-01043R003800230005-6

Рис. 26 и 27

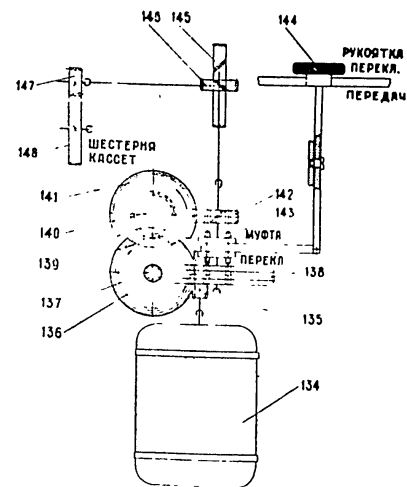


Рис. 28 Кинематическая схема фотопринстинки

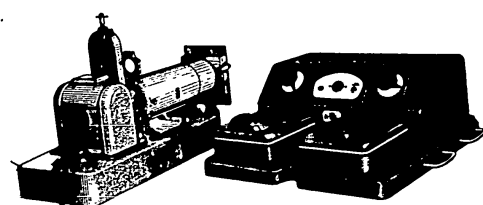


Рис. 29 Общий вид сенситометра ФСР-4 и пульта питания

Declassified in Part - Sanitized Copy Approved for Release @ 50-Yr 2014/03/05 : CIA-RDP81-01043R003800230005-6

FIG. 28 и 29

Declassified in Part - Sanitized Copy Approved for Release @ 50-Yr 2014/03/05 : CIA-RDP81-01043R003800230005-6



Рис. 30. Общий вид хронометра МХ-6

Declassified in Part - Sanitized Copy Approved for Release @ 50-Yr 2014/03/05 : CIA-RDP81-01043R003800230005-6

Pmc. 30

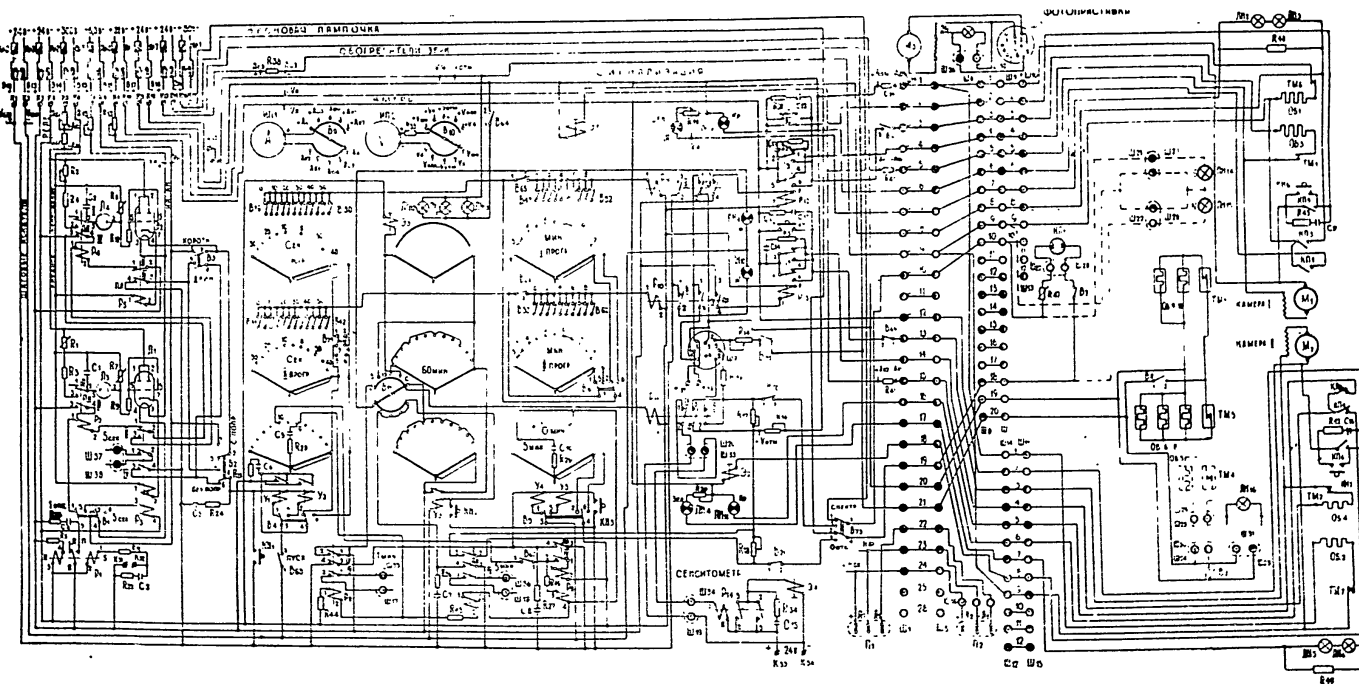


Рис. 31. Принципиальная схема С-180 и С-180-С

Declassified in Part - Sanitized Copy Approved for Release @ 50-Yr 2014/03/05 : CIA-RDP81-01043R003800230005-6

PNC. 31

Declassified in Part - Sanitized Copy Approved for Release @ 50-Yr 2014/03/05 : CIA-RDP81-01043R003800230005-6

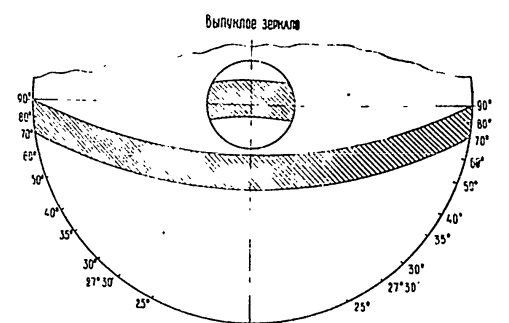


Рис. 32. План шелевой диафрагмы

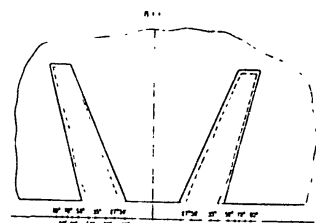


Рис. 33. Развёртка диафрагмы с прорезями

Declassified in Part - Sanitized Copy Approved for Release @ 50-Yr 2014/03/05 : CIA-RDP81-01043R003800230005-6

Рис. 32 и 33

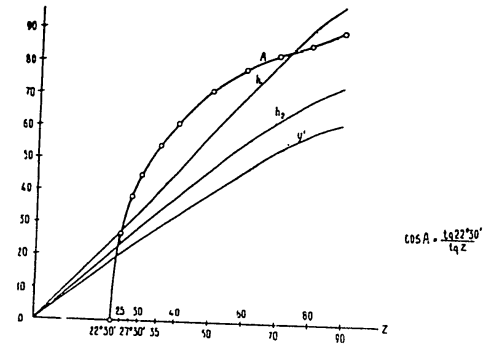


Рис. 34 График для кривых a , b_2 и y'

Declassified in Part - Sanitized Copy Approved for Release @ 50-Yr 2014/03/05 : CIA-RDP81-01043R003800230005-6

Рис. 34

ՀԱՅԿԱՆԻ ՍԱՀ ԳԻՏՈՒԹՅՈՒՆԵՐԻ ՇԱՄՔԵՐԸ
АКАДЕМИЯ НАУК АРМЯНСКОЙ ССР

ԲՎՈՒՐԺՎԱՆԻ Ա.Ա.ՖԻՏՈՒՐԱՆԻ ՀԱՅԱՊՐՈԽՄԵՐ
СООБЩЕНИЯ БЮРАКАНСКОЙ ОБСЕРВАТОРИИ

• ԳՐԱԴԱՐԱՆ

ԵՐԵՎԱՆ 1958 ՀԱՅԱՍՏԱՆԻ ՀԱՆՐԱՊԵՏՈՒԹՅՈՒՆ

СОВЕТСКАЯ СОВЕТСКОЙ АКАДЕМИИ НАУК АРМЯНСКОЙ ССР

СОВЕТСКАЯ СОВЕТСКОЙ АКАДЕМИИ НАУК АРМЯНСКОЙ ССР
СООБЩЕНИЯ БЮРАКАНСКОЙ ОБСЕРВАТОРИИ

ЧИСЛО ХХIV ВИЛЛАСК

КОЛОРИМЕТРИЧЕСКОЕ ИССЛЕДОВАНИЕ СПИРАЛНОЙ
ГАЛАКТИКИ М101
Б. Г. МАРКАРЯН

К ВОПРОСУ О ГЕНЕРАТИВНОЙ ЭМИССИИ В СПЕКТРЕ
АС ДРАКОНА
М. А. АРАКЕЛЯН и И. Л. ИШНОВА

О ПРИРОДА МАГНИИ ПОЛЯРНОЙ
ГУМАНИОСТИ
Г. А. ГУРЗАДЯН

ОБ ЭЛЕКТРОМАГНИТОВОЙ ПРИРОДЕ СПИРАЛЫ ВИЛЛАСКА
ПО ГАЛАКТИКАМ ТЕМАННОСТИ
Г. А. ГУРЗАДЯН

ФУНКЦИИ РАСПРЕДЕЛЕНИЯ ГОСДИКСОВЫХ ЯДЕР
ПО СУММЕ ОДНОГО И ДВУХ РУДНЫХ КОМПОНЕНТОВ
Р. А. СААКЯН

Declassified in Part - Sanitized Copy Approved for Release @ 50-Yr 2014/03/05 : CIA-RDP81-01043R003800230005-6



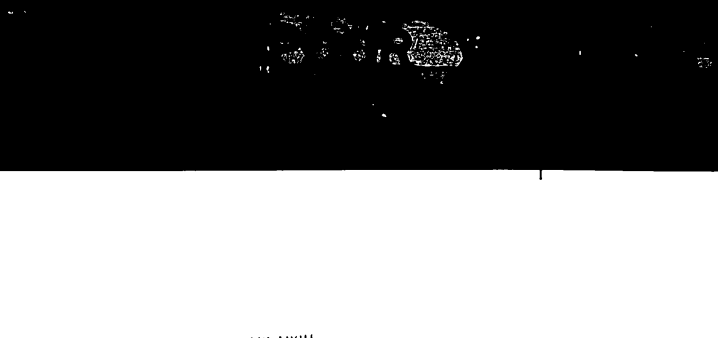
Գալուստյանապու խմբագիր՝ գ. Հ. ՀԱՄԲԱՐՁՈՒՄՅԱՆ
Ответственный редактор В. А. АМБАРЦУМЯН

Б. Е. Маркарян

КОЛОРИМЕТРИЧЕСКОЕ ИССЛЕДОВАНИЕ СПИРАЛЬНОЙ ГАЛЯКТИКИ М101

При проведении абсолютной спиральной фотометрии спиральных галактик M 101 в фотографических и панорамных зеркалах, наблюдения производились 21°—21° телескопической системы Шмидта. Результаты показывают, что эта галактика заметно синтет на мере удаления от центра в краю, показатель цвета имеет значение $-0^{\circ}9$ в краю до четырех радиусов от центра и $+0^{\circ}1$ в периферии. Это явление обусловливается действием ее спиральных рукавов и непрерывного фона, также синтетического при удалении от центра. Интегральная фотографическая величина галактики определяется путем фотометрического суммирования яркости, получаемой разрывом $8^{\circ}5$. Суммарная яркость спиральных рукавов в фотографических и панорамных звездах согласуется соответственно $1/4$ и $1/2$ части интегральной яркости галактики. Интегральный показатель цвета галактики равен $+0^{\circ}9$, а показатель цвета ядра $-0^{\circ}95$. Собственный цвет спиральных рукавов почти постоянен, показатель цвета насыщенных рукавов меняется и передается $-0^{\circ}1$ и $+0^{\circ}1$. Изменение у этой галактики довольно яркого непрерывного фона, и образования которого участвуют белые звезды приводят к заключению о существовании в ней промежуточного типа между звездами и звездами. Число голубых и белых звезд этой галактики по порядку величины определяется 10⁵.

В исследовании строения внешних галактик большого применение находит колориметрия, дающая как интегральный цвет галактик, так и распределение цвета в них. Для освещения особенностей строения галактик особый интерес представляют исследования второго рода, дающие распределение цвета в галактиках. Последние обычно осуществляются путем получения фотометрических разрезов по осиам галактик, а иногда и путем измерения цвета небольшого количества (нескольких десятков) избранных в них участков. Однако таким путем можно получить более или менее уверенные представления о распределении цвета, из-



4.1 МАРГАРИТ

тех галактик, которые не имеют сложной структуры. Но иное и настолько расщепление цвета в галактиках, имеющих сложную структуру, скажем, например, в радиальных спиральных системах и неправильных галактиках, отпечатанных обычно большими флюктуациями в распределении яркости можно получить лишь путем их детальной и сложной фотометрирования в разных участках скопления.

Такое исключение выполнено нами для большой галактики M101 (NGC 5457), являющейся развитой спиральной системой типа S, прородукция представлена на рис. 13.

Некоторым ре- шениям в

8.1. МЕТОДИКА ПАРНОСТНОЙ ИЗМЕННИ

Наблюдения нелись на 21° -21° телескопе системы Шмидта Бирюсинской обсерватории. Фокусное расстояние этого телескопа равняется 180 см и относительное отверстие меняется от ϑ_1 до ϑ_2 . Было приобретено в камере присоединенной диафрагмы расстояние ложеной щели от фокуса, равное $10^{\prime\prime}$, а также измерены углы зрачка для различных систем как для телескопа Оптической системы Камера для телескопа частицные изображениям звезд, и особенности в изображении частиц под разными параметрами присоединенных щелей получившиеся при этом. Проприональная сила телескопа в фотографических линзах доходила до 19° .

гографических лазерных измерений [1].
Фотографирование АДОП производится в фотографических и стереоскопических тумбах на панорамных *Aida Astro* *Platten* без фильтра и сопровождается наимагинационных или гипер-Кодиком ОИМ через зеркальную линзопартию фотографии типа *CGP11* методом двух линзовой касеты [1]. При указанной методике наблюдении одновременно получается два снимка один с изображением изучаемого объекта в фокусе, а другой с изображениями и ображениями цветов красящими, поглощаемыми изучаемого объекта. Стандартизация изображений производится с помощью снимков с цветовыми анализаторами и изображениями красящих веществами, в значения которых были определены с помощью дополнительных измерений, полученных приборами к НРС. Средние квадратичные ошибки по-



FIG. 1. M 101 (NGC 5457)



ИССЛЕДОВАНИЕ ГАЛАКТИКИ М 101

5

лученых для этих звезд величины не превышают 0^m05 . Употреблялся также трубочный фотометр для проверки градуаций характеристических кривых и учета влияния вуали неба.

Снимки изучаемого объекта, звезда сравнения и марка трубочного фотометра получались на кусках один и того же пластина и проявлялись одновременно в одинаковых условных.

Измерения поверхности производились на объективном микрофотометре Цейса с употреблением квадратной диафрагмы, имеющей на плафонике квадратные ячейки со стороной, равной 17".

На полученного ряда снимков М 101 для измерений были отобраны наиболее удачные, по два комплекта в фотографических и визуальных лучах. На первом паре пластинон одна в фотографических, другая в визуальных лучах) измерение поверхности производилось ступенчатым образом, т. е. определялись оптические плотности всех плафоников М 101, образовавшихся при проекции звезды в ± 5 через интервал $17''$. Это осуществлялось путем сменения стопника микрофотометра посредством двух квадратных движений, обеспечивающих точность сменения в две ступени ± 5 микронов. Соответствующие измерения начинались с квадратной скобы на туго определяемых с помощью характеристических кривых, построенных по эпифокальным изображениям избранных звезд сравнения, о которых речь изложена выше. На втором паре пластинон измерения производились лишь тремя несколькими движками избранных плафоников. Результаты оказались очень близкими с таковыми, полученными на измерении первом паре пластинон. Средняя заграничная ошибка цвета для этих изображений, определенная по двум наблюдениям, оказалась равной $\pm 0^m06$, а для одного наблюдения $\pm 0^m08$. После плавления может служить мерой точности измерений цвета, полученных из измерений первом паре пластинон. Эта, конечно, небольшая точность, но вполне достаточная для многих целей, в особенности же, если принять во внимание, что она характеризует точность достаточно большого количества показателей цвета плафоников, покрывающих почти всю гра-

P.T.A.

К А Р Т А

гальки. Для достижения большей точности было бы необходимо произвести сплошные измерения еще на одной или на двух парах негативов, но это была бы чрезмерно большая по объему работа и она вряд ли оправдывалась бы результатами.

Специальное изучение показало, что использование комбинации камеры, фильтра и сорта пластина дает наилучшую систему, несколько смешанную в сторону красной части спектра по отношению к международной системе измерения цветовых величин, а система фотографических величин почти совпадает с международной. Переход от полученных нами цветов к международной системе можно осуществить при помощи следующего уравнения

$$Cl_{int} = 0.838 (Cl - 0.029)$$

§ 2. ИНТЕГРАЛЬНАЯ ЯРКОСТЬ И ЦВЕТ

По определенным для различных площадок яркостям были составлены карты распределения яркостей в фотографических и визуальных лучах для изучаемой галактики. Количество площадок, в которых определены показатели цвета, порядка полуторы тысячи. Вообще же измерения повторялись в два раза большим числом площадок

Несмотря на громоздкость этих карт здесь приведена одна комбинированная карта распределения яркости и цвета, охватывающая главное тело галактики. Частичных карт сюда не вошли данные в основном относящиеся к областям спиральных рукавов, отстоящим от центра галактики на расстояния более 6'. Каждая пара чисел на приведенной карте относится квадратной площадке галактики со стороной, равной 17'', положение центра которой по отношению к центру галактики, обозначенном крестиком на карте, определяется прямолинейными координатами x и y , направленными по осям α и δ . Значения x и y , выраженных в секундах дуги, приведены соответственно в первой строке и в первом столбце карты. Каждая пара чисел представляет фотографическую звездную величину с квадратной секундой сверху и показатель цвета в нашей системе снизу. Пустые пло-

ИССЛЕДОВАНИЕ ГАЛАКТИКИ М 101

7

шадки, а исключением обведенных жирными линиями, соответствуют областям и в которых яркость, приходящаяся из квадратную секунду, слабее 23^m9 . Обведенные же жирными линиями площадки содержат проектирующие звезды наше Галактики; в сомнительных случаях площадки обведены пунктирными линиями. При проводимых за ее расчетах яркость площадок, содержащих посторонние звезды, учитывается путем усечения яркостей соседних площадок. Следует отметить, что в ряде периферийных площадок картины данные обладают точностью уступающей точности, характеризуемой ошибками, упомянутыми в конце §1. Но проводимые далее расчеты, зависящие распределения яркости и цвета, распространяются на область, заключенную внутри окружности, описанной вокруг центра галактики с радиусом, равным 15, где почти все данные определены в достаточной степени надежно.

С помощью карт распределения фотографической и видимой яркости на теме фотометрического сложения были определены интегральные яркости и показатели цвета внутри концентрических кругов и колец, описанных вокруг центра галактики с нарастающими каждый раз на $17'$ радиусами. Полученные данные приведены в третьем и четвертом столбцах табл. 1. Интегральная фотографическая величина и показатель цвета всей галактики M 101 получились соответственно радиусами $8''5$ и $0''5$. Гарвардская оценка интегральной величины M 101 на $0''5$ больше нашей, и это, возможно, результат нечтного учета яркостей внешних частей галактики. Полученный нами результат должен быть ближе к истине, так как, например, приведенные в табл. 1 яркости и цвет горячей части M 101, которая ограничена окружностью с радиусом $\approx 25'$, находятся в хорошем согласии с данными, полученными Петитом [2] для горячей части электропhotометрическим методом. Петит для фотографической величины и цвета получил следующие значения: 9^m12 и 4^m50 в международной системе. Соответствующие наши значения в международной системе 9^m02 и 0^m51 . Получающееся расхождение не большое и находится в пределах ошиб-

бок. К сожалению, мы не нашли в литературе других подходящих данных для сопоставления с данными табл. 1

№	ν	m_{pg}	Таблица 1		m_{pg}	Таблица 1	
			С1	С2		С1	С2
1	17	13 ^m 12	0 ^m 95	0	17	13 ^m 12	0 ^m 95
2	31	12,08	0,91	18	31	12,00	0,93
3	51	11,43	0,82	35	51	12,30	0,66
4	68	10,95	0,79	52	68	12,07	0,71
5	85	10,62	0,76	69	85	12,07	0,67
6	102	10,35	0,71	86	102	11,99	0,66
7	119	10,11	0,72	103	119	11,87	0,64
8	136	9,91	0,69	120	136	11,85	0,53
9	153	9,71	0,66	137	153	11,65	0,50
10	170	9,51	0,63	154	170	11,44	0,43
11	187	9,40	0,61	171	187	11,64	0,43
12	204	9,29	0,60	188	204	11,83	0,43
13	221	9,19	0,58	205	221	11,83	0,43
14	238	9,10	0,57	222	238	11,85	0,43
15	255	9,02	0,57	239	255	11,87	0,40
16	272	8,75	0,5				

На таблицах третьего и четвертого столбцов этой таблицы видно, что интегральные звездные величины и показатели цвета заметно убывают по мере увеличения радиуса кругов. Это значит, что галактика M101 синеет по мере удаления от ядра. Однако из этих данных нельзя делать количественные выводы относительно изменения цвета. Для этой цели были определены интегральные звездные величины и показатели цвета в концентрических колышах, расположенных вокруг ядра галактики. Эти таблицы приведены в 6-ом и 7-ом столбцах табл. 1. Определенные на основании этих данных средние яркости (в произвольных единицах) и зависимости от расстояния до ядра галактики представлены на рис. 2. Как видно из седьмого столбца таблицы 1, а также из рис. 2, градиент показателя цвета то

весьма велик. Показатель цвета от значения -0^m95 у ядра, убывая, доходит до -0^m4 на расстоянии 4:5 от него. Дальше, судя по всему, он меняется незначительно. Заметим, что здесь речь идет об интегральных показателях цвета в колышах. В отдельных, правда редких, случаях маленькие области с большими показателями цвета встречаются даже во внешних частях галактики.

Установленный факт довольно интенсивного поисинения цвета при удалении от ядра M101 заслуживает особого внимания. Возможно, что это явление в какой-то степени свойственно всем спиральным галактикам, и это может во взаимосвязи с естественным следствием увеличения удельного веса спиральных рукавов при удалении от ядер галактик. Однако, по мнению ряда исследователей, яркость спиральных рукавов составляет недалекую долю общей интегральной яркости. При справедливости этого представления о них только рукава и, в том случае не могут объяснить интенсивного поисинения показателей цвета при удалении от ядер спиральных галактик. Так или иначе, окончательно можно высказать только на основании количественного анализа яркостей и цветов структурных образований спиральных галактик. Такой анализ можно проигнорировать галактики M101 на основании сопоставлений нами трех карт распределения яркостей и цветов.

Отметим прежде всего, что эти карты показывают, что M101, помимо ядра и спиральных рукавов, имеет непрерывный фон, простирющийся от ядра до ее внешних частей. О наличии у M101 непрерывного фона упоминают в своих работах также Сейферт [3] и Щеголев [4]. Поэтому интегральную яркость галактики M101 следует рассматривать как сумму трех составляющих яркостей: ядра, спиральных рукавов и непрерывного фона, а цвет и его изменение как результат комбинации яркостей и цветов указанных составляющих.

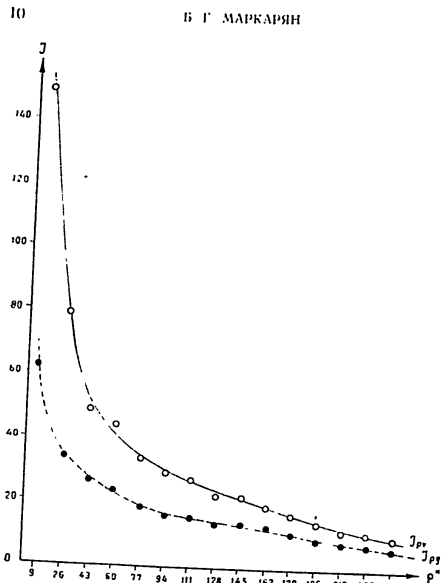


Рис. 2 Распределение средней яркости (в процентных единицах) в зависимости от расстояния до центра галактики

§ 3. ЯРКОСТЬ И ЦВЕТ НЕПРЕРЫВНОГО ФОНА

Непрерывный фон без примесей образования, населяющих обычно спиральные рукава, наблюдается в промежутках между последними. Поэтому яркость и цвет непрерывного фона следует определить на основании данных о яркости плюндок, лежащих в областях между рукавами. Однако

Б. Г. МАРКАРИН

ИССЛЕДОВАНИЕ ГАЛАКТИКИ М 101

1

сильно развитые рукава М 101 заметно затрудняют уверенный выбор большого количества таких плюндок, в особенности на наших снимках, имеющих умеренный масштаб (1' = 111'').

Ввиду этого мы ограничились примерно 300 плюндками, разбросанными по всей галактике между ее рукавами и их ветвями, при отборе которых наряду с нашими снимками была использована для контроля хорошая репродукция снимка М 101, полученного днегодиномоном Наломарским рефлектором.

По данным этих плюндок были определены средние значения показателей цвета непрерывного фона в 17 концентрических кольцах, расположенных вокруг ядра галактики вплоть до расстояния 6'.

По этим средним показателям цвета была получена зависимость между цветом непрерывного фона и расстоянием от ядра галактики, представленная на рис. 3 (сплошные кружки). Заметим, однако, что средние показатели цвета в упомянутых кольцах были определены без учета яркости, т. е. без взвешивания цветов отобранных плюндок, предполагая, что непрерывный фон на одинаковых от ядра расстояниях имеет примерно постоянную яркость.

Хотя это допущение достаточно близко к истине, тем не менее для проверки полученной зависимости между цветом и расстоянием фона по линиям отобранных плюндок были определены средние, а затем и интегральные яркости и показатели цвета первых восьми кольц из числа 17, использованных при получении упомянутой зависимости.

Полученные для этих первых кольц данные приведены в третьем и четвертом столбцах табл. 2 и занесены на рис. 3 в виде несплошных кружков.

Эти данные повторяют полученную зависимость между средними показателями цвета и расстоянием от ядра непрерывного фона. Поэтому с достаточным основанием можно принять реальную полученную зависимость, согласно которой непрерывный фон галактики М 101 неодинаков, чем она сама в целом, но довольно зачетно синтез по мере удаления от ядра.

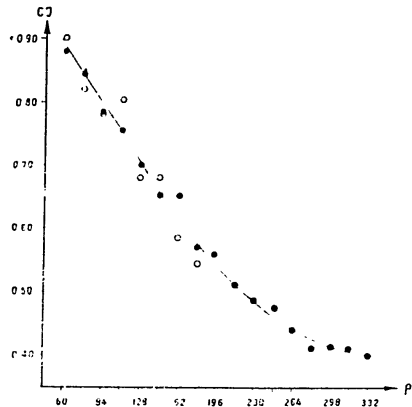


Рис. Зависимость показателя цвета непрерывного фона от расстояния до центра галактики

Таблица 2

N	$r_{\text{ц}}$	C1	$C_{\text{ц}}$	Cl
1	2-68	12.39	-0 ⁰ .90	13 ⁰ .53
3	69-85	12.3	0.82	13.58
6	86-102	12.27	0.78	13.60
7	103-119	12.23	0.81	13.49
8	120-136	12.16	0.68	13.36
9	137-153	12.05	0.65	12.93
10	154-170	11.96	0.58	13.12
11	171-187	11.97	0.54	13.30

Этот результат, во некоторой степени может показаться неожиданным, так как сложилось такое представление, что непрерывный фон в спиральных галактиках имеет почти одинаковую ядроцентрическую яркость. В частности такого мнения придерживается Д. Г. Шеголев [4], изучивший ряд спиральных галактик в том числе и M101. Но полученные Шеголевым данные, имеющиеся, вообще говоря, цепочками, в сокращенно недостаточны для уверенного определения цвета непрерывного фона. Второй, полученные им фотометрические результаты цвета ряда планетарий в M101, хотя и не очень определенно, тем не менее показывают некоторую ярко-бледование показателей цвета фона при удалении от ядра, т. е. они не находятся в противоречии с нашим выводом относительно изменения цвета непрерывного фона M101.

Вообще надо заметить, что представление об одинаковости цветов фона в ядре спиральных галактик не обосновано. Нам кажется, что это не соответствует действительности по крайней мере для развитых спиральных галактик, у которых в том или ином степени фон синтезируется при удалении от ядра.

Очевидно поэтому, что изменение цвета M101 в центре, представленное в табл. 1 и на рис. 2, следует рассматривать как результат действия двух факторов: изменения цвета непрерывного фона и действия спиральных рукавов.

§ 4. ЯРКОСТЬ И ЦВЕТ СПИРАЛЬНЫХ РУКАВОВ

Галактика M101 имеет очень стойкую и запутанную структуру, тем не менее у нее можно выделить две основные рукавы, начинаящиеся у ядра, один сокола, или бианциней через север к югу, а другой с запада западо-южной через юг к северу. Оба они начинают быстро разветвляться, так сильно, что во втором обороте первые рукава уже находятся как отдельные рукава. У самого ядра рукава мало отличаются от него по цвету, но уже на расстоянии 30' от центра показатели цвета уступают показателям цвета окружающих планетарий на 0⁰10—0⁰15, и чем дальше отходят рукава от ядра, тем меньше становятся

их показатели цвета, т. е. рукава довольно четко снимают по мере удаления от ядра.

Показатели цвета рукавов, близки ядра порядка -0^m8 , при отходе вдоль рукава они, убывая, доходят по внешним частям до $+0^m3$ $+0^m2$. Надо, однако, принять во внимание, что здесь речь идет о наблюдаемом цвете рукавов. Собственный цвет рукавов может и должен отличаться от наблюдаемого, так как фактически в областях рукавов наблюдается цвет, накладывающийся друг на друга двух составляющих: непрерывного фона галактики и собственно рукавов.

Чтобы определить *собственную яркость и цвет рукавов*, надо произвести фотометрическое вычитание из интегральной яркости каждого колыча в целом яркости его непрерывного фона. Имеющиеся данные позволяют это делать надежно для весьма концентрических колец, о которых речь шла в предыдущем параграфе. Полученные данные приведены в пятом и шестом столбцах табл. 2. Интегральный показатель собственного цвета рукавов в этих колышах меняется в весьма узком интервале: от 0^m1 до 0^m1 .

Грубые расчеты показывают, что и во внешних частях показатели собственного цвета рукавов находятся в этих пределах. Отсюда следует, что *собственный цвет рукавов остается почти постоянным* и что он порядка нуля.

Из данных табл. 2 видно, что в колышах интегральная яркость непрерывного фона галактики в синих лучах в среднем на 1^m2 ярче интегральной яркости, обусловливаемой собственно рукавами. Если принять, что эта разность соблюдается и для внешних частей галактики, то можно заключить, что яркость, обусловливаемая собственно рукавами в фотографических лучах, составляет четвертую часть наблюдаемой интегральной фотографической яркости галактики.

Оценку этой величины можно получить и исходя из интегральной величины и цвета галактики (табл. 1), приняв, что показатель цвета рукавов порядка нуля, а средний показатель цвета непрерывного фона порядка $+0^m65$. Получаемая таким образом доля яркости, обусловливаемая соб-

ственными рукавами, несколько больше $\frac{1}{4}$ интегральной яркости галактики. Таким образом, можно заключить, что *суммарная собственная яркость рукавов в фотографических лучах составляет не менее $\frac{1}{4}$ яркости всей галактики, а в visualных лучах доля собственной яркости рукавов составляет не более $\frac{1}{2}$ яркости галактики*

§ 5. ЗАМЕЧАНИЯ ОТНОСИТЕЛЬНО РАСПРЕДЕЛЕНИЯ И РОЛИ БЕЛЫХ И ГОЛУБЫХ ЗВЕЗД

Цвет непрерывного фона, в особенности во внешних частях галактики, свидетельствует о том, что в его образовании принимают участие паряду с красными и желтыми звездами и белые звезды.

Поскольку показатель цвета фона от значения $+0^m9$ уменьшается, убывая, до -0^m1 во внешних частях галактики, то следует полагать, что по мере удаления от центра галактики относительная роль красных звезд в создании яркости непрерывного фона слабеет, а роль белых звезд, наоборот, усиливается.

Можно произвести некоторые приближенные расчеты для выяснения роли белых звезд в образовании яркости фона и галактики в целом.

Допустим для этой цели, что яркость галактики состоит из двух составляющих: красного и белого. Это, конечно, грубое допущение, но вполне приемлемое, если под красной составляющей понимать яркость, обусловливаемую совокупностью красных, оранжевых и желтых звезд, а под белой — совокупностью голубых, белых и желто-белых звезд.

Принимая показатель цвета красной составляющей равным -0^m8 , а белой составляющей нулю, на основе данных, полученных для интегральной яркости и цвета галактики (табл. 1), можно подсчитать яркость каждой из этих составляющих. Расчеты показывают, что в синих лучах красная и белая составляющие имеют примерно одинаковую яркость. Половину яркости белой составляющей обуславливают спиральные рукава, имеющие, как мы видели в преды-

дущем параграфе, показатель цвета порядка нуля и яркость, составляющую $\frac{1}{4}$ интегральной яркости галактики в синих лучах. Другую же половину яркости белой составляющей обусловливает спонтанность белых звезд, находящихся вне рукавов, разбросанных по всем галактикам.

Поскольку подавляющее большинство звезд спектрального типа О в ранних подразделениях типа В входит в состав звездных ассоциаций и открытых звездных скоплений, т. е. образует группы, располагающиеся, обычно, в си- ральных рукахах, то более звезды, находящиеся вне рукавов, должны принадлежать к спектральному типу А и поэтому подразделениям типа В. Судя по всему, эти звезды и весьма вероятно многие другие из числа образующих непрерывный фон галактики, представляют собой результат рассеянения прежних ассоциаций галактики.

Звезды, обуславливающие непрерывный фон галактики W101, неизъятно отнесли ви к одному из трех типов звезда-
ного населения Бааде *One*, скорее всего, обра-*зуют* проце-
жущий тип и, возможно, составляют население
«диска».

Примерное число белых звезд, участвующих в образовании фонда галактических, можно получить, исходя из соотношения их суммарной и средней яркостей. Расстояние М 101 оценивается порядка 2-10⁹ парсеков. При этом расстоянии абсолютная фотографическая величина ее получается равной -18^m.3. В этом случае суммарная фотографическая абсолютная величина белых звезд галактики М 101, находящихся вне ее рукавов, будет 16^m.8. Принимая же их среднюю абсолютную величину равной нулю, то общего их числа получим оценку 5 10⁶.

Примерно таким же путем можно оценить количество наиболее горячих голубых и бело-голубых звезд, обслугивающих, в основном, яркость спиральных рукавов. Помимо получается порядка 10^3 . Заметим, что звезда типа А и поздних В должна быть и в спиральных рукахах, но в крайней мере, они имеются в открытиях звездных скоплений и в передке в ассоциациях, населяющих рукава. Поэтому общее число звезд О, В и А в М13 можно считать по-

рядка 10⁵. Суммарная яркость этих звезд в синих лучах составляет половину интегральной яркости галактики, в то время как их число составляет лишь незначительную долю (порядка одной тысячной) общего числа звезд галактики.

Бирюканская астрофизическая
обсерватория

1800. 1957

Բ Ե ՄԱՐԴԱՐՅԱՆ

Ա 101 ԳԱԼԱԿՏՈՒՄԱՅԻ ԳՈՒՆԱԶԱՓԱԿԱՆ ՀԱՏԱԳՈՒԹՅՈՒՆՆԵՐ

И. М. ФЕДОРОВ

Կոտարքի և Ա Խ 101 սպիրաման զատափիկալիք բացարձակ լուսաշաբաթին լուսամարդարանին ե վիզուալ հասագայթիներում է Համամելիքը կառապիր են 18°- 21°- Հըմբարի ափիք ի վիզուալ Սատացած արդյունաներ ցուց են սպիրալ որ ապա զատափիկալիք զգագրին կապատճ է նրա ինստրումիք զեպի եղր հնասնաբարի Դուքիք ցուցայի միջուկում մուս 0-9 արժեքը հանում է -0-3-ի զատափիկալիք նկրութիւն Ակր երկու թիթ պամանափարօն է զատափիկալիք թիթերի նրա անբանական ֆանի ապացուաթիթար, որը նորանի կապատճ է զատափիկալիք ինստրումիք հնասնաբարի Պատափիկալիք նկամերը լուսամարդարան աստղաբար մեծաթիրներ, որն սասցիկ է նրա առանձին մասերի պատափաթիթերների փառափաթիկ զատափիկալիք միջոցով Համասար է 8-9-ի թիթերի զատափիկին պատափաթիթ նուները լուսամարդարանին ե վիզուալ հասա զատափիկալիք կապատճ էն արժուաց զատափիկին հնասնաբանան ինստրումիք պատափաթիթների 1-4 և 1/7 մասեր Ակր զատափիկալիք ինստրումիք ցուցիք ցուցայի սասցիկ է Համասար +0-5-ի, իսկ մեջութիւնը՝ 0-9-5-ի թիթեր սկիզբան ցուցիք ցուցիք ին փոխափակի նրանց երկարչորդ շարժիկին, որոնց հնասնաբար ցուցիք ցուցիք ցուցայի փոխափակին է 0-1 և : 0-1 ու աստանաներում Անբնշան ֆանի աստիքի թիթեան առ զատափիկալիք, որի կազմամարմանը դաշտ ցուցիք եղր են համասար սասցիկ սատղեր, իսուսու է արև մաս մենք որ նու բացի համանի և Ա սիստերի սատղաբար ինսպակութիթներ ունի միջամարդար, արագես կոչամ, սասցիկ թիթեան թիթեան

Հաշիվները ցույց են տալիս, որ արև զարականիկալի կապուր և սպիտակ աստղերի թիվը համար է՝ 10^7 -ի, որնք լուսակար- չական ճառագալիքներում պարբանավորում են զարականիկալի ամբողջ պայմանության դրեմի կեսը:

Л И Т Е Р А Т У Р А

1. A. B. Ալքօն, H. H. Ծիտնական, ՃԱՆ ՀՍՀ, № 73, 77, 1933.
2. E. Pettit, Ap. J., 120, 413, 1954.
3. C. K. Seyfert, Ap. J. 91, 528, 1941.
4. L. E. Shapley, Nat. GAO, XX, № 150, 1956

М. А. Аракелян, Н. Л. Иванова

К ВОПРОСУ О НЕПРЕРЫВНОЙ ЭМИССИИ
В СПЕКТРЕ АГ ДРАКОНА

Выдающейся особенностью некоторых типов нестационарных звезд (звезды типов Т Тельца, VY Кита) является наличие (или появление) в их спектрах избыточного непрерывного излучения, усиливавшегося в некоторых случаях при переходе в ультрафиолетовую область спектра [1, 2, 3]. Аналогичный избыток непрерывного ультрафиолетового излучения наблюдается в спектре неправильной переменной АГ Дракона, являющейся, согласно В. А. Амбарцумяну [4], одной из разновидностей нестационарных звезд. На основании спектрофотометрического исследования этой переменной Л. В. Мирзояном [5] было сделано заявление, что распределение энергии в коротковолновой области спектра этой звезды заметно отклоняется от планковского в смысле резкого возрастания относительной интенсивности в ультрафиолетовой области спектра. При этом, величина указанного отклонения, согласно [5], со временем меняется.

Ранее В. А. Амбарцумяном [6] было показано, что непрерывная эмиссия в спектрах нестационарных звезд не может иметь тепловую природу. Согласно В. А. Амбарцумяну это явление связано с выбросом во внешние слои звезд внутрьзвездного вещества - носителя интуристической энергии.

Выход о нетепловом характере непрерывной эмиссии был позднее подтвержден результатами спектрофотометрического исследования двух звезд типа Т Тельца (VY Ориона и NX Единорога), произведенного К. Бэром [7]. Им было показано, что сильное возрастание интенсивности непрерывной эмиссии с уменьшением длины волны исключает воз-

можность ее истолкования как планковского излучения конечной температуры. Возможность интерпретации непрерывной эмиссии как излучения реалистических электронов в магнитном поле также исключается благодаря слишком сильному ее возрастанию с уменьшением длины волны.

Заметим, что К. Бём рассматривает непрерывную эмиссию, временами почти полностью заливавшую линии потокония в спектрах звезд типа UV Кита, и избыточное ультрафиолетовое излучение, наблюдаемое в спектрах звезд типа Т Тельца, как два различных явления. Второе из этих явлений — непрерывную эмиссию в спектрах звезд типа Т Тельца, К. Бём объясняет как результат слияния эмиссионных линий бальмеровской серии, возникавших в оптическом толстом слое. Подобное истолкование непрерывной эмиссии единично, и первую очередь, с тем, что интенсивность непрерывной эмиссии, начинающейся около $\lambda 3800$, достигает, согласно К. Бёму, максимума между $\lambda 3750$ и $\lambda 3700$, т. е. недалеко от предела серии Бальмера. Очень существенно, что слияние эмиссионных линий обясняется Бёмом не их расширением, а малой разрывающей способностью используемого спектрографа. Если это так, то распределение интенсивности непрерывной эмиссии должно в значительной степени зависеть от разрывающей способности спектрографа, и при наблюдениях с инструментами большей разрывающей силы должны разрешаться более высокие члены бальмеровской серии, вследствие чего начало непрерывной эмиссии должно отодвигаться в более коротковолновую область спектра, а ее интенсивность на данной длине волны убывать. Кроме того, при достаточном удалении от предела серии Бальмера к ультрафиолету избыток излучения по сравнению с излучением нормальной светимости должен исчезнуть.

Другая точка зрения на происхождение непрерывной эмиссии, выдвинутая в последнее время Н. М. Гордином [8], в определенном смысле совпадает с изложенной выше. Считая также, что непрерывная эмиссия есть результат слияния эмиссионных линий бальмеровской серии, Н. М. Гордон, однако, приписывает возникновение эмиссионных линий действию потенциональной эмиссии, имеющейся в составе излу-

чения нестационарных звезд. Согласно этому представлению, непрерывное излучение за пределом бальмеровской серии приводит к ионизации водорода, после чего происходит вынужденные рекомбинации электронов, индуцированные инфракрасным непрерывным излучением. Слияние бальмеровских линий представляется как результат их расширения, связанного с размытостью первых возбужденных уровней.

Постольку, поскольку согласно этой точке зрения также предполагается, что источником непрерывной эмиссии является слияние эмиссионных бальмеровских линий, то и в этом случае нельзя ожидать резкого возрастания ее интенсивности за пределом бальмеровской серии.

В свете изложенного приобретают значительный интерес, с одной стороны, наблюдения нестационарных звезд посредством спектрографов сравнительно большой разрешающей силы и, с другой, исследование по возможности более коротковолновой области спектра этих звезд. Настоящая работа преследует именно эту цель.

РЕЗУЛЬТАТЫ ИХ ПОЛУЧИНИЙ

Материалом для настоящего исследования послужили спектрограммы Аб Дракона, полученные в мае июня 1955 года на 10" бесцелевом (вариевом) спектрографе Бюранской обсерватории, и две спектрограммы, полученные в октябре 1957 года, с помощью объективной призмы, установленной на 70-сантиметровом менисковом телескопе Абастуманской обсерватории*. Линейная дисперсия первого из упомянутых спектрографов 150 Å/mm и второго — 166 Å/mm у II.

Наблюдения 1955 года были сравнены с распределением энергии в спектрах звезд Возничего (G0I) и звезды Возничего (G0V) посредством привязки переменной к этим G-звездам к звезде 4 Возничего (A0). При наблюдениях же 1957 года звездой срачения служила HD 144327 (G5). Выбор звезд спектрального типа G в качестве звезд срачения обусловлен

* Спектрограммы 1957 года получены сотрудниками Абастуманской астрофизической обсерватории М. В. Долыде и Н. А. Размадзе, которым авторы выражают свою благодарность.

лен, во-первых, тем, что, согласно Р. Вилсону [9], AG Дракона является карликом спектрального класса G7, и, во-вторых, тем, что сравнение переменной со звездами спектрального класса G дает в дальнейшем возможность, используя известное распределение энергии в спектре Солнца, определить абсолютное распределение энергии в ее спектре.

Для сравнения относительного распределения энергии в спектре AG Дракона, полученного со спектрографами различных дисперсий, мы воспользовались данными серии II наблюдений Л. В. Мирзояна [5], проведенных в ту же эпо-

ху, что и наши наблюдения 1955 года. Результаты, полученные Л. В. Мирзояном, были приведены к звезде HD 144327 посредством сравнения ее с переменной HD 145258 (A0). На рис. 1 приведено относительное распределение энергии в спектре AG Дракона, полученное в мае—июне 1955 года с бесцветными спектрографами при дисперсиях 420 Å/мкм и 150 Å/мкм. Рисунок показывает, что в обоих случаях отклонение относительного распределения энергии от нормального для звезды типа G происходит около значения полного числа равного 2.60 ($\lambda = 3800$), т. е. начало из-

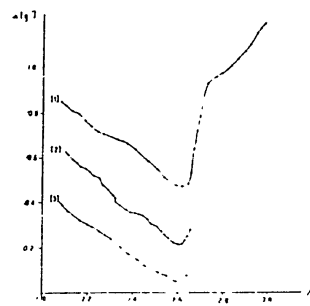


Рис. 1. Относительное распределение энергии в спектре AG Дракона, получение со спектрографами различных дисперсий.

- 1 Наблюдение 1955 года при дисперсии в 150 Å/мкм звезда сравнения / Возничего.
- 2 Наблюдение 1955 года при дисперсии в 166 Å/мкм звезда сравнения HD 14127.
- 3 Наблюдение Л. В. Мирзояна 1955 года при дисперсии в 420 Å/мкм, ре узлами приведен к звезде HD 144327.

отклонения от нормального для звезды типа G происходит около значения полного числа равного 2.60 ($\lambda = 3800$), т. е. начало из-

быточного излучения в довольно широких пределах используемых дисперсий (но существуя, в широких пределах различающихся способностях) не зависит от дисперсии спектрографа.

Что касается различия волновых чисел, соответствующих началу избыточного излучения, полученных Л. В. Мирзояном [5] и нами, то оно объясняется тем, что изменения сравнивались в [5] со звездой спектрального класса A0. Вследствие депрессии непрерывного спектра звезды сравнения, обусловленной слиянием бальмеровских линий поглощения, зависимость относительной интенсивности от волнового числа отклоняется в [5] от прямолинейной около значения волнового числа, равного 2.50. Заметим, что приведена результатов серий III и IV наблюдений Л. В. Мирзояна к распределению энергии в спектре звезды типа G не обнаружил в исследованной им спектральной области избыточного излучения. Это говорит о том, что серия II характеризовалась большей интенсивностью непрерывной эмиссии, чем две последующие серии, приведенные в [5]. Аналогичная же приведена для результатов серии I привела относительному распределению энергии, резко отличающемуся от результатов, соответствующих сериям II, III и IV. Эти данные иллюстрируются рисунком 2. По-видимому, при переходе от первой серии к четвертой мы имеем дело с постепенным убыванием интенсивности избыточного излучения.

Сделанное выше заключение о том, что начало непрерывной эмиссии не зависит от дисперсии используемого спектрографа, может вызвать то возражение, что данные рис. 1 получены посредством сравнения AG Дракона с различными G-звездами. Но этому поводу следует отметить, что распределение энергии в фотографической области спектра HD 144327, полученное из сравнения ее со звездой HD 145258, с достаточной точностью совпадает с распределением ее в спектре / Возничего (рис. 3). Абсолютный спектрофотометрический градиент HD 144327, вычисленный при предположении $\epsilon_1 = 1.00$, получился равным 2.73, в то время как значение абсолютного градиента / Возничего равно 3.14. Это в сопоставлении с их спектральным типом дает основ-

вание полагать, что HD 144327, так же как и λ Возничего, является звездой-карликом, сходным с Солнцем, и привязка к этим звездам может дать представление об абсолютном распределении энергии в спектре AG Дракона.

Результаты подобной привязки, произведенной на основании данных наблюдений 1955 года, приведены на рис. 4. Рисунок иллюстрирует абсолютное распределение энергии в спектре AG Дракона, выраженное в производных единицах, вместе с аналогичными данными, полученными для VY Ориона и NX Единорога К. Бёлом [7]. Во всех случаях интенсивность излучения на волне 44000 принята равной единице. Как видно из рисунка, хотя интенсивности избыточного излучения на частоте длины волны, общем для всех кривых, одинаков,

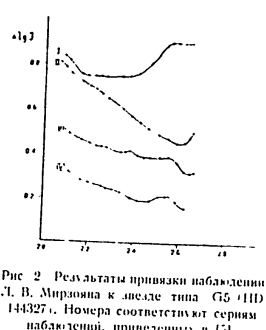


Рис. 2. Результаты привязки наблюдений Л. В. Мироновой к звезде типа G5 (HD 144327). Чисера соответствуют серии наблюдений, приведенных в [5]

частоте длины волны, общем для всех кривых, одинаков.

Заслуживает особого внимания то, что в спектральной области $\lambda > 3650$ интенсивность непрерывного излучения AG Дракона продолжает возрастать. При этом, как видно из рисунков 1 и 4, возрастание имеет место как в смысле относительного распределения энергии, так и в шкале абсолютных интенсивностей*.

* Абсолютное распределение энергии в спектре AG Дракона выделено нами по данным Э. Солана, полученным Абботом, Плассетом Фабри и Бинесоном [10], согласно которым на участке от 44000 до 43000 имеет место резкий спад интенсивности солнечного излучения. Позже Э. Петтигров [11] было установлено, что на участке от 44000 до $\lambda > 3800$ интенсивность излучения Солнца убывает на 48%, после чего до

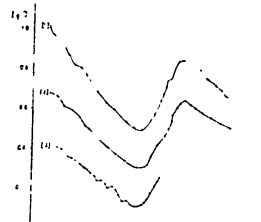
НЕПРЕРЫВНАЯ ЭМИССИЯ В СПЕКТРЕ AG Dra

В качестве косвенного подтверждения этого факта можно упомянуть, что по свидетельству Н. Роман [12], на пластинах с нормальным покернением в фотографической области, полученных на обсерватории Мак-Дональд, непрерывный спектр звезды легко можно проследить за $\lambda > 3300$. Минифотографии полученных нами в 1955 году спектров переменной показывают, что величина покернения меняется за пределом серии Бильмера очень медленно, в то время как на микрофотограммах обычных, даже самых горячих звезд, в этой области наблюдается резкое уменьшение степени покернения вульфитоиду.

Необходимо отметить, что распределение энергии в фотографической области AG Дракона также является необычным для звезды типа G. Однако здесь имеет место обратная картина, т. е. распределение энергии в спектре переменной соответствует более холодной звезде, чем G. Абсолютный спектрофотометрический градиент переменной, полученный непосредственным сравнением со звездами типа A0, систематически большие, чем соответствующие величины для нормальных звезд (карликов и гигантов) спектрального класса G. Выше упоминалось, что абсолютный градиент λ Возничего (GOV) получился равным 3.14. Заметим, что среднее значение абсолютного градиента для двух карликов типа G (ζ Геркулеса и η Волопаса) равно, согласно данным Д. Барбье и Д. Ша-

Рис. 3. Распределение энергии в спектрах звезд сраниния, приведенное к распределению ее в спектрах звезд типа A0: 1 — Возничего, 2 — Вильмса, 3 — HD 144327

/3200 остается практически постоянной. Следовательно, привязка к данным Петтига привела бы к еще более резкому возрастанию абсолютной интенсивности излучения AG Дракона на участке $\lambda > 3800 - 3300$.



лонка [13], 2.54. Это же значение для звезд-гигантов равно 3.08. (Примерно такое же значение получено нами для звезды Близкого (3.54).) Значение же абсолютного градиента для AG Дракона получилось равным 4.56 (1955 год) и 4.64 (1957 год). Это соответствует спектрофотометрической температуре около 3000°.

В связи с этим стоит упомянуть еще о следующем. Грубая оценка показателя цвета переменной и международной системе (разность монохроматических звездных величин)

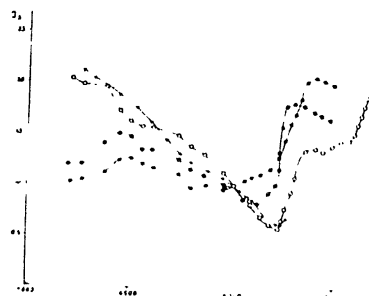


Рис. 4. Абсолютное распределение энергии в спектрах XX Геминорум (•), YY Ориона (•), AG Дракона
1955 год — 1957 год

привела к значениям: $\Delta I = 1^m 3$ в 1955 году и $2^m 0$ в 1957 году. Значения показателя цвета, полученные в мае июня 1955 года, согласуются в среднем с результатами двухцветных фотографических наблюдений Г. С. Базалдия [14], произведенных во второй половине 1955 года.

ОБСУЖДЕНИЕ РЕЗУЛЬТАТОВ

1. Наиболее существенным из полученных результатов является вывод о том, что интенсивность избыточного излучения

в спектре AG Дракона продолжает возрастать за пределом серии бальмера, причем возрастание продолжается до самых коротких длины волн, до которых удается довести спектрофотометрические измерения.

Совершенно очевидно, что непрерывный спектр, обусловленный слиянием эмиссионных бальмеровских линий, не мог привести к подобному распределению за пределом бальмеровской серии. Действительно, оставаясь на точке зрения о слиянии бальмеровских линий, мы вынуждены считать, что избыточное излучение за пределом серии есть результат свободно-связанных переходов водородных атомов во второе квантовое состояние. Распределение энергии в бальмеровском континууме, как известно, является в этом случае функцией линии электронной температуры. Легко показать, что при этом максимальное значение выражения $-d\log I/d\log \lambda$, соответствующее значению $T_e = \infty$, равно двум. В случае же конечных значений электронной температуры эта величина должна быть меньше. По полученному нами распределению энергии за пределом бальмеровской серии легко вывести, что в области длины волн, более коротких, чем $\lambda = 3500$, возрастание абсолютной интенсивности излучения проходит так, что $-d\log I/d\log \lambda$ больше, чем два, достигая в области $\lambda = 3100$ восьми. Здесь следует отметить еще то обстоятельство, что приведенные значения относятся к распределению энергии в шкале абсолютных интенсивностей. Однако, поскольку речь идет об обыкновенном избытке энергии по сравнению с излучением нормальной звезды, то следует рассматривать распределение избыточной интенсивности по длине волны, т. е. данные, приведенные на рис. 1. В этом случае для выражения $-d\log I/d\log \lambda$ получаются значения: 4 (при $3560 \text{ } \text{\AA}$) и 10 (при $\lambda = 3400$).

На изложенного следует, что в свете гипотезы К. Бёма [7]* остается совершенно необычным возрастание интенсивности излучения AG Дракона за пределом бальмеров-

* Здесь мы рассматриваем гипотезу К. Бёма только с точки зрения доводов о ее результатам наблюдений. Однако напомним, что в ней остается совершенно открытым вопрос о возможности возникновения эмиссионных линий в оптически толстом слое (что отмечается и самим

ской серии. Следовательно, предлагаемый им механизм образования ультрафиолетового избытка, если он и имеет место у AG Дракона, играет не первостепенную роль*.

2. В пользу этого заключения свидетельствует и то обстоятельство, что бесцветные спектрограммы, полученные с инсперсиями в 420 Å/мкм и 150 Å/мкм у II, не обнаружили никакого различия в длине волны, соответствующей началу ультрафиолетовой эмиссии. Это действительно может служить существенным аргументом, так как, как упоминалось, основной причиной слияния бальмеровских эмиссионных линий в представлении К. Бёма является не их большая ширина, а малая разрешающая способность спектографа. С другой стороны, едва ли можно ожидать, что эмиссионные линии водорода очень широки, так как уже принятное Бёмом значение турбулентной скорости водородных атомов (50 км/сек) необычно для звезд-карликов.

3. Рассмотрим полученные результаты в свете представления о синхротронном излучении. Как было показано К. Бёмом, для излучения релятивистических электронов в магнитном поле максимальное значение выражения $d\log I/d\log r$ равно $\frac{1}{2}$ у AG Дракона, так же как в исследованных

Бёмом звездах типа Тельца величина этого выражения включает возможность объяснения необычного ультрафиолетового излучения как результатом прямого излучения релятивистических электронов и магнитного поля.

Далее, выдвинутая И. М. Гордоном [8] точка зрения о том, что избыточное ультрафиолетовое излучение является результатом слияния бальмеровских эмиссионных линий, обозначив свою попытку доказательством, ис-

*Бёмом: Для осуществления такого слова необходимо, конечно, чтобы во внешних слоях звезды присутствовали источники излучения. Это есть по существу вывод сделанный В. А. Амбарцумян [6], на основе анализа имеющихся яркотесных спектров нестационарных звезд.

*Возможно, что если бы кривые распределения энергии (рис. 1 и 4) оканчивались в 350 Å, обусловлен тем, что на избыточное излучение накладывается перекрытие эмиссионные линии несколько увеличенная ее интенсивность до перехода серии Бальмера.

чения, по-видимому, также не в состоянии объяснить возрастание интенсивности непрерывной эмиссии в бальмеровском скакочке. Действительно, и в этом случае приходится приписывать излучение за пределом серии Бальмера свободно-связанным переходам водородных атомов во второе состояние. Несостоятельность этого механизма в случае самопроизвольных рекомбинаций фотозелектронов следует из приведенных и соображенений относительно механизма, предложенного К. Бёмом. Предположение же о том, что бальмеровский континуум возникает в результате инициированных рекомбинаций, инициированных синхротронным излучением*, также не в состоянии обеспечить наблюдаемое значение выражения $d\log I/d\log r$ в области бальмеровского континуума. Как легко можно убедиться, в этом случае максимальное значение приведенного выражения должно быть равно всего лишь $\frac{1}{2}$, т. е. меньше, чем при континууме, обусловленном спонтанными рекомбинациями.

4. Представляет определенный интерес сравнение результатов наших наблюдений с результатами, полученными К. Бёмом для звезд VY Ориона и NX Единорога. Приведенные на рис. 4 абсолютные распределения энергии в спектрах трех переменных показывают, что на участке длины волн, больших, чем предел бальмеровской серии, распределение интенсивности избыточного излучения в спектре AG Дракона качественно сходно с распределением ее в спектрах VY Ориона и NX Единорога. Однако дальнейший ход распределения интенсивности этого излучения в более коротковолновой области (для AG Дракона и исследованных Бёмом звезд (речь идет о средних данных, приведенных Бёмом) заметно отличается. Согласно данным Бёма абсолютная интенсивность излучения этих звезд достигает максимума вблизи предела бальмеровской серии, в то время как ин-

* В этом случае инициирующее излучение должно также проявляться и бальмеровском континууме. Поэтому приходится предположить, что континуум в спектрах нестационарных звезд является наложением инициирующего и инициированного излучений.

тенсивность излучения AG Дракона в исследованной нами спектральной области своего максимума не достигает.

Тем не менее есть основания полагать, что и у исследованных Бёмом звезд типа Т Тельца избыточное излучение не ограничивается ближайшими окрестностями предела бальмеровской серии, а простирается достаточно далеко вультрафиолетовую область спектра. В пользу этого может симметризоваться необычный цвет II. В некоторых звездах типа Т Тельца, в частности переменной NX Единорога Показатель цвета U-V этой переменной, согласно М. Уокеру [15], достигает величины $-1^{\circ}21$, а в звуке наблюдений В. Хильтнера [16] был равен $1^{\circ}35$.

С другой стороны, не исключена возможность, что различие в распределении энергии в спектрах звезд типа Т Тельца и AG Дракона связано с какими-либо характерными особенностями последней. Как известно, особенностью типичного спектра AG Дракона является наличие сильной эмиссионной линии $\lambda 4686$ (Н II), которая не наблюдалась в спектрах исследованных К Бёмом звезд типа Т Тельца. Возможно, эти два факта являются следствием одного и того же явления. Тем не менее представляется естественным рассматривать избыточное излучение в спектрах AG Дракона, звезд типа Т Тельца, также как непрерывную эмиссию, занимавшую линии поглощения во время вспышек звезд типа UV Кита, как результаты одного явления, проявляющиеся в широкой спектральной области.

Что касается различий в проявлении непрерывной эмиссии у различных представителей нестационарных звезд, так в смысле интенсивности и продолжительности непрерывной эмиссии, так и в смысле области спектра, в которой она проявляется, то они получают в схеме представления, разработанного В. А. Амбарцумяном [4], естественное объяснение в том, что избыточная нетепловая энергия выделяется в слоях звезды, характеризуемых различной оптической глу-

биной.

В заключение авторы выражают глубокую признательность академику В. А. Амбарцумяну за ценные обсуждение полученных результатов.

Г. Г. АРАКЕЛЯН, Н. Л. ИВАНОВА

AG ՎՐԱՆՔԻ ՍՊԵԿՏՐՈՒՄ ԱՆԲԱՌԱՀԱՆ ԷՄԻՍԻԱՆԻ
ՀԱՐՑԻ ՇՈՒՐԳԸ

Ա Ճ Փ Ո Փ Ո Ւ Ժ

Ներկա աշխատանքի վիճուպահն նշաթը ստուգվել է Բյուրում կամ ստուգադաշտանի 10° անձնեցր սպեկտրոգրաֆի և Արասթմանի ստուգադաշտանի 70 մ օրբեկուի պրիզմայի պահին լուսացն սպեկտրոգրաֆի ջամփ վիճակներին հավասար է 150 Ա/մմ և երկորդի 166 Ա/մմ Ա, ի-ի մոտ լուսամեծը պատարգվել է 4 սպեկտրոգրաֆ:

Որպես համեմատած ստուգ օպտագործեց Ծ տիպի նորմա ստուգերը, ստուգամ է ԱՀ Վիշտափ անկանոն վիճական ստուգայի սպեկտրոգրաֆի հարաբերական բաշխումը (նկար 1): Անմանեան ենթակա ար ավագներից ստուգամ է Աներգիափ բացառական սպեկտրոգրաֆի համարձակ բաշխումը ԱՀ Վիշտափ սպեկտրում՝ արահարակած կամացին միաժամկետուն (նկար 4):

Հասագությունը ցույց է տիեզ որ ԱՀ Վիշտափ սպեկտրում անբարձան էներգիափ ամեցութ սկսմ է հանդես զա ։ 3800 այլբային երկրության մաս և սպեկտրոֆունտմարի շափառների համար մասացին արտղ տիրություն (։ 3300) ար ամեցութ շափառ սեմ է վեց սպեկտր տրամանշաբանացման մասը:

Անմանեան ստուգամ արդյունքները համեմատած են կ. մ. Միջուկափ [5] իրգից ստուգամ ավագների համար, որոնք հիմնված են 420 Արմ զիսպերիս անեցու սպեկտրոգրամների վրա ։ Մուց է արամ, որ նոր մամանարշարժանում ստուգամ սպեկտրոգրամների վրա անկանոն հասագայթան ամեցութ բաշխումը նույն է:

* Ստուգամ արդյունքների բնարկումը հնամատ է որ անբարձան էներգիափ ամեցութ ԱՀ Վիշտափ սպեկտրում չի կարող հանդիսանալ բարեկարան արթափ հասագայթան զների միանումները նկատեն, ար վեպում անհրաժեշտ լինենք ենթագրել, որ արմերին արթափ ասմանից ավելի կարճաժի մասմ հասագայթան հանդիսանալ է երկրորդ բաժնային բակարտակի վրա կատարվող սեկուլինացիաների արդյունքը կարելի է ցույց տար, որ սեկուլինացիան անդհատ սպեկտրի վեպում — \log_{10} արահարական մարմար արթերը հազարար

32 М. А. АРАКЕЛЯН и Н. Л. ИВАНОВА

կիմք 2-ի, եթե կատարված են ապօնան սելումբինացիաներ և 3/4-ի եթե սելումբինացիաներ կատարված են սելումբորու ճառացման արգելության տարի
Քամի որ, ուստացած այդպէսի ԱՀ Վեհափառ ուժեղ-
տրու հիշոր արտահարսութան մեծաթրանք մեծ է երկար, չետարարա-
րար ար երկու երթարտութաններց կ պետք է հաջորդի
Բարեկարան վերի միանալուն արդյուն թրան զի՞ս խոռոչ է
չու ան փառար, որ անընդհատ էմիսիանի սկզբին համապա-
տասխանու ամերակին երթարտութանք կախած չէ սպասարկված
ազեկարուցափի գնացերախցից

Г. А. Гурզадян

О ПРИРОДЕ МАГНИТНЫХ ПОЛЕЙ ПЛАНЕТАРНЫХ ТУМАННОСТЕЙ

Анализ внешней формы и структуры биполярных планетарных туманностей привел к выводу о существовании в них магнитных полей, напряженность которых значительно превышает напряженность общего магнитного поля Галактики [1]. Характер этих полей, по-видимому, сходен с полем магнитного диполя. Однако они не составляют продолжение дипольного поля центрального ядра-звезды; планетарная туманность обладает своим собственным дипольным полем, магнитный момент которого может меняться в зависимости от изменения размеров и плотности туманности, в то время как магнитный момент ядра может остаться неизменным.

В настоящей статье ставится цель показать, что представление о наличии дипольного магнитного поля в планетарных туманностях хорошо объясняет наблюдаемое разнообразие из формы и структуры. Направляющей силы при разработке и развитии этого представления является идея, согласно которой планетарные туманности являются остатками звездообразовательного процесса и что их ядра суть недавно возникшие звезды [2,3].

§ 1. БИПОЛАРНЫЕ ТУМАННОСТИ

Биполярными мы называем те планетарные туманности, у которых наблюдаются две четко выраженные яркие области "шапки", расположенные симметрично относительно ядра [1]. Примерами таких туманностей являются NGC 7026,

туманности аион. 16^{10,5}; аион 16^{13,3} и т. д. Наряду с этим, имеется целый ряд туманностей, у которых хотя и не наблюдаются четко выступающие "шапки", но наблюдается понижение яркости на двух противоположных сторонах туманности. Примерами таких туманностей могут служить NGC 6720 (в Лире), NGC 7293 (в Водолее) и т. д. Для привильного понимания и применения полученных в дальнейших параграфах теоретических результатов желательно не забывать основные факты относящиеся к бинодиальным планетариям туманностей, формы и структура которых должны быть объяснены действием присущих им многих полей. Сюда нужно прибавить также особенности формы и структуры остаточных, в частности, спиралевидных и конусообразных туманностей, конусающихся, во всей вероятности, также электромагнитное объяснение.

1. Большинство планетарных туманностей имеет сферическую, часто эллипсоидальную (или овальную) форму. Краинним выражением сферичности является почти прямоугольная форма, которая наблюдается редко (лически неизвестно, чем это явится туманность IC 106).

2. Почти всегда яркость на концах малой оси эллипсоидальных туманностей больше, чем на концах большой оси. Сама форма области понижения яркости бывает различна, начиная от "бананообразной" сильно вытянутой и стягивающейся края (туманность аион 16^{10,5}, и кончая почти круговой формой туманность аион 16^{13,3}.

3. В некоторых случаях наблюдается туманность с четко выраженной бинодиностью, но без заметной сферичности, т. е. имеющей почти сферическую форму (NGC 3587, аион 7^{50,0}). Хороший снимок после пленки туманности см. в [5].

4. У некоторых туманностей яркие области ("шапки"), часто "бананообразные", соединены друг с другом светлой "перемычкой", проходящей через центр туманности (т. е. бинодальные туманности).

5. В редких случаях наблюдаются туманности, у кото-

рых имеются два спиральных выступа, расположенные симметрично с обеих сторон туманности (спиралевидные туманности). Важно отметить, что спиральчатые выступы расположены на концах *одной* оси туманности.

6. Наконец, края туманностей и направление их магнитных полей, реалии, в то время как и направление большой оси границы туманности иногда трудно определить.

7. Если бинодиальная туманность двухцветочная, то бинодиарность в наружной оболочке выражена менее сильно, чем во внутренней. Иначе это свойство и наружной оболочки отсутствует, тогда полностью, в то время как во внутренней оболочке оно выражено весьма четко.

2. ТОЧЕЧНЫЙ ДИПОЛЬ

Начнем с того что по всем объемам планетарную систему сферической формы радиуса R с одинаковой зоной туманности можно назвать "сферической туманностью". Но если мы хотим, чтобы туманность имела "бинодиальную" или "спиралевидную" форму, то ее надо расположить вдоль какой-либо линии, находящейся под углом θ к радиусу R . Собственно говоря, диполь с обычным для физики понятием мы будем иметь только в том случае, когда R является чисто магнитным полем, т. е. когда $R = I/2$. Однако мы допускаем, что "размер" диполя может быть также очень часто, сопоставим с размерами туманности, т. е. что может иметь место условия $R \ll I/2$. Поэтому при этом внести в терминологию некоторые изменения. Мы будем говорить о "точечном" диполе, когда $I/2 \ll R$, т. е. когда диполь как будто расположен в центре туманности, и о "спектральном" диполе, когда $I/2 \sim R$, т. е. когда диполь "занимает" всю туманность. Лишьно, проходящую через "шапку", назовем осью диполя, или магнитной осью туманности.

В этом параграфе мы рассмотрим влияние точечного диполя на планетарную туманность. Хотя, как увидим в следующем параграфе, действительная картина, наблюдаемая в планетарных туманностях, может быть объ-

яспана при наличии в них неточечного магнитного диполя, тем не менее, рассмотрение точечного диполя позволяет просто и легко проанализировать качественную сторону вопроса, а также пронести некоторые подготовительные расчеты формального характера.

Рассмотрим некоторое сечение туманности, проходящее через ее центр О («центральное сечение»), и поместим в начале координат точечный диполь, стоящий в моментом a . В некоторой точке А (рис. 1), определяющейся координатами r и φ (а таких точек в данном сечении, очевидно, будет четыре) полная напряженность магнитного поля вдоль данной силовой линии будет

$$H(r, \varphi) = \frac{a}{r^3} \sqrt{1 - 3 \sin^2 \varphi} \quad (1)$$

Вектор напряженности направлен по касательной к силовой линии, которая является уравнением

$$r = r_0 \cos^2 \varphi, \quad (2)$$

и составляет угол α с радиусом-вектором определяемым из соотношения

$$\operatorname{tg} \alpha = \frac{1}{2} \operatorname{ctg} \varphi. \quad (3)$$

Заметим, что α для всех силовых линий одинаково и не зависит от r , обстоятельство, которое, вообще говоря, не имеет места в случае неточечного диполя.

Из формулы (1) видно, что в рассмотренном сечении туманности магнитное поле обладает градиентом напряженности как по r , так и по φ -координате. Градиент напряженности магнитного поля создает градиент магнитного

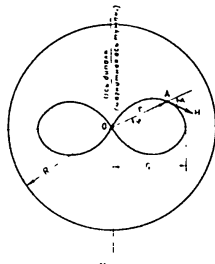


Рис. 1

давления, который приводит к нарушению первоначального равновесного состояния распределения плотности газа в туманности: возникает макроскопическое перемещение низкозависимого газа из областей высоких магнитных давлений в области низких давлений. В результате образуется перманентность в распределении плотности материи, т. е. возникает градиент газового давления по обеим координатам*. Градиент газового давления противостоит градиенту магнитного давления и в тот момент, когда обе эти величины будут равняться друг другу, дальнейшее перемещение газа прекратится; наступит стационарное состояние. Допустим, что время t_0 (время релаксации), необходимое для достижения стационарного состояния, после приложения к туманности дополнительного поля, значительно меньше, чем продолжительность жизни туманности. Тогда условие стационарности в данной точке сводится к взаимной компенсации градиентов магнитного и газового давлений и выражается в виде

$$\nabla \left(\frac{H^2}{8\pi} - kT \right) = 0 \quad (4)$$

или после интегрирования,

$$\frac{H^2}{8\pi} - kT = C \quad (5)$$

Отсюда имеем для концентрации ионов электронов $n(r, \varphi)$, подставляя значение H из (1):

$$n(r, \varphi) = \frac{C}{kT} = \frac{a^2}{8\pi k T r^6} \cdot \zeta^2(\varphi). \quad (6)$$

где T есть электронная температура туманности, а через $\zeta(\varphi)$ обозначено

$$\zeta(\varphi) = 1 + 3 \sin^2 \varphi. \quad (7)$$

Постоянную интегрирования C можно определить, смотря по тому, какую модель туманности рассматривать «бесконечную».

* Приняв, что температура туманности определяется процессами излучения и постоянна, а стационарное давление зависит только от концентрации газа.

конечную* или «конечную». В первом случае допускается, что туманность имеет очень большое по сравнению с длиной диапаза размеры и что на ее наружных границах магнитное поле диполя практически отсутствует*. Формально это означает, что «бесконечной» туманности

$$\text{п. (7)} \quad n_0 \text{ при } r = R \leftarrow \quad (8)$$

В случае «конечной» туманности в основе условия для определения S может служить попущение о равенстве масс «свободной» и «засмущенной» туманности, которое записывается в виде

$$4\pi \int_{r_0}^{R+2} n(r, z) r^2 \cos z dr dz = \frac{4\pi}{3} R^3 n_0, \quad (9)$$

Применение условий (8) и (9) дает из (6) для «бесконечной» туманности

$$\frac{n(r, z)}{n_0} = 1 + \frac{z^2}{r^2} q^2(z) \quad (10)$$

и для «конечной» туманности

$$\frac{n(r, z)}{n_0} = [1 + \Phi(R, r_0)] - \frac{z^2}{r^2} q^2(z) \quad (11)$$

При введении обозначения

$$z = \frac{a^2}{8\pi k T n_0}, \quad (12)$$

$$\Phi(R, r_0) = \frac{3}{2} \frac{z^2}{r_0^2} \int_{r_0}^R \left[q^2(z) + \frac{z^2}{r^2} \cos z dz \right] = \frac{z^2}{r_0^2} \left[\left\{ \frac{R}{r_0} \right\}^3 - 1 \right], \quad (13)$$

то есть радиус внутренней границы туманности (см. ниже).

* Во всех дальнейших формулах у нас будет получаться плотность, стремящаяся в бесконечности к некоторому постоянному значению от нуля величине. Внешняя граница туманности обусловлена не электромагнитными факторами. Поэтому значение радиуса избыточной внешней границы всегда здесь вне рассмотрения.

Формулы (10) и (11) дают закон распределения относительной концентрации ионов (электронов) по двум координатам на центральном сечении туманности. Из этих формул вытекает, что, во-первых, распределение концентрации симметрично в отношении магнитной оси туманности и, во-вторых, минимальное значение концентрации — на данном расстоянии от центра получается в направлении магнитной оси туманности ($z = 0$), а максимальное — в направлении, перпендикулярном этой оси ($z = 0$). Далее, в близких к центру туманности областях (т. е. мало) концентрация ионов мала, а в далеких (велико) она больше.

Объемный коэффициент излучения туманности пропорционален, как известно, квадрату электронной или ионной концентрации. Поэтому даже незначительное различие в величинах концентрации между различными точками в туманности может привести к заметному различию в поверхностных яркостях в этих точках. Это различие будет наибольшее между направлением магнитной оси туманности (область минимальной плотности) и направлением экваториальной оси туманности (область максимальной яркости). Конгруэнтность сохраняется, когда мы рассматриваем проекции на плоскость, перпендикулярную магнитной оси, результат пространственной картины, получаемой путем проекции центрального сечения вокруг магнитной оси туманности. В этом случае получим туманность с двумя областями максимальной яркости, расположенные симметрично по отношению к центру, т. е. получим биполярную туманность.

Из формул (10) и (11) следует, что при данном значении z , зависящем от величины магнитного момента и «пороговой» (начальной) концентрации ионов n_0 , существуют некоторые значения r_0 и z_0 , при которых концентрация становится равной нулю. Это, очевидно, есть область «избегания», где плотность магнитной энергии, первое магнитное излучение настолько велико, что заряженные частицы не могут оставаться в равновесном состоянии; они должны «выскакивать» из этих областей. Уравнение кривой, определяющей границу области «избегания», определяется из ус-

лония $n < 0$, и в случае, например, «бесконечной» туманности имеет вид:

$$r_0 = \{2(1 + 3 \sin^2 z_0)\}^{-\frac{1}{2}}, \quad (14)$$

где r_0 и z_0 суть координаты границы области «избегания». Зависимость r_0 от z_0 очень слаба, поэтому в первом приближении область «избегания» можно принять за кривую радиусом r_0 , радиусом

$$r_0 \approx \sigma \left(\frac{a^2}{8\pi k T_{n_0}} \right)^{\frac{1}{2}} \quad (15)$$

Таким образом, «плоская в начале планетарная туманность при наезии и её полного магнитного поля превращается в полуточку внутри туманности», причем, радиус ее внутренней границы будет тем больше, чем больше магнитный момент туманности (σ) или чем меньше концентрация ионов в ней (n_0).

Представление о существовании точечного диполя в туманности, расположенного в ее центре, как упомянуто, качественно может объяснить возникновение биполярных туманностей. Однако в количественном отношении оно противоречит экспериментам с астрономами. В самом деле,很小ные попытки согласовать реальные размеры туманностей R с размером диполя L приводят к тому, что напряженность магнитного поля на таких расстояниях от центра, которые сопоставимы с размером диполя $L/2$, оказывается чрезвычайно велика (порядка милливольт-гаусс, если допустить, что напряженность магнитного поля у реальных туманностей порядка 10^{-1} — 10 гаусс, а размер диполя порядка радиуса звезды). Эта грубоость легко устраивается, если отказаться от представления о точечном диполе и заменить его рассмотреть неточечным диполем, размер которого сопоставим с размерами туманности.

8.3. НЕТОЧЕЧНЫЙ ДИПОЛЬ

В случае неточечного диполя, т. е. когда $L \sim r$ (рис. 2), напряженность магнитного поля в точке (r, φ) определяется формулой:

$$\Pi(r, \varphi) = a \rho_i(r, \varphi), \quad (16)$$

где a — магнитный момент, а функция $\rho_i(r, \varphi)$ имеет вид

$$\begin{aligned} \rho_i(r, \varphi) &= 2 \frac{z^2 \{(1+z^2)^2 - 4z^2 \sin^2 \varphi - (1-z^2)\}[(1+z^2)^2 - 4z^2 \sin^2 \varphi]}{(1-z^2)^2 - 4z^2 \sin^2 \varphi} \\ &= 2 \frac{z^2 \{1 - 2z^2 \cos^2 \varphi\}}{1 - 2z^2 \cos^2 \varphi} \end{aligned} \quad (17)$$

где $z^2 = R^2/r^2$.

Эта формула является более общей, справедливой как для малых, так и для больших расстояний от начала коор-

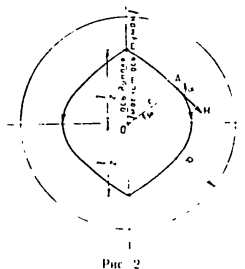


Рис. 2

динаг. В частности, когда $R \gg L$, формулы (16) и (17) превращаются в формулу (1). Практически диполь будет точечным уже при значениях отношения R/L порядка 0,1.

Для определения относительной концентрации ионов в точке (r, φ) имеем из (16) и (17), в случае «бесконечной» туманности:

$$\frac{n(r, \varphi)}{n_0} = 1 - \rho_i^2(r, \varphi) \quad (18)$$

Для «конечной» туманности имеем, аналогично (11),

$$\frac{n(r, \varphi)}{n_0} = [1 + \Phi_1(R, r_0)] - \rho_i^2(r, \varphi) \quad (19)$$

где $\Phi_1(R, r_0)$ равен



$$\Phi_1(R, t_0) = 3 \left(\frac{I}{R} \right)^2 \int_0^R r^2 dr \int_0^{2\pi} q_0^2(r, \varphi) r^2 \cos \varphi d\varphi \quad (20)$$

Конкретные выражения, прописанные по этим формулам, показывают, что, за исключением отношения нет большого различия между "конечной" и "бесконечной" гуманностями. Поэтому в дальнейшем мы будем ограничиваться рассмотрением только "бесконечной" гуманности. Заметим, что гуманность, диаметр которой будет превышать всего в три раза диаметр кипиолы L , уже является "бесконечной", так как на вне-полях границах такого гуманности напряженность единичного поля будет почти на четырех порядках меньше, чем в рассматриваемых $\epsilon = l/2$ (при $\epsilon \approx 0$).

Таким образом, формула (18) является расчетной формулой для определения распределения концентрации ионов в центральном сечении гуманиты. Для облегчения вычислений построены графики зависимости величины функции $\varphi_1(\tau_{\text{ср}})$ от t в единицах l для различных значений α , которые приведены на рис. 3 и 4.

Для определения уравнения границы области "избетания" в случае неточечного ниполя имеем из (18)

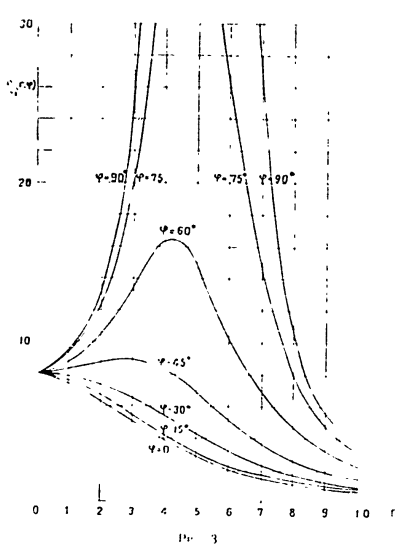
$$g_1^{(1)}(z_2) = \frac{1}{2} \quad (21)$$

или, воспользовавшись (17)

$$\frac{2\epsilon_1}{\epsilon_1^2} \left((1 + x_{\alpha}^2)^2 - 4x_{\alpha}^2 \sin^2 z_0 \right) - (1 - \epsilon_1) \left[(1 - z_0)^2 - 4z_0 \sin^2 z_0 \right] = 0 \quad (22)$$

При $z_0 = \frac{1}{2t_0}$ в t_0 и z_0 есть текущие координаты границы обледенения льда.

В отдельных случаях точечного цилиндра, где уравнение границы области «избегания» представляется из себя, грубо говоря, уравнение окружности вокруг начала координат, при всех значениях τ , в этом случае форма этой границы оказывается очень сильно зависящей от величины τ , т. е. в конечном счете от величины напряженности магнитного поля. Так, например, при очень малых значениях τ указанные границы изменения напряженности магнитного поля, указанные гра-



цица очерчивает две различные зоны от центра области симметрии: расположение симметрично по спиральной линии с центральной осью. Центры этих областей находятся на расстоянии $1/2$ от центра гуманности. При промежуточных и последующих повторяющихся вращениях зоны расширяются симметрически вправо и влево от центра зоны, зона при этом соприкасается с центром гуманности O , и, наконец, пересекается с аксиоматической плоскостью. При дальнейшем увеличении зона асимметрически смещается в окружности с центром, находящимся в центре гуманности. На рис. 5 при-

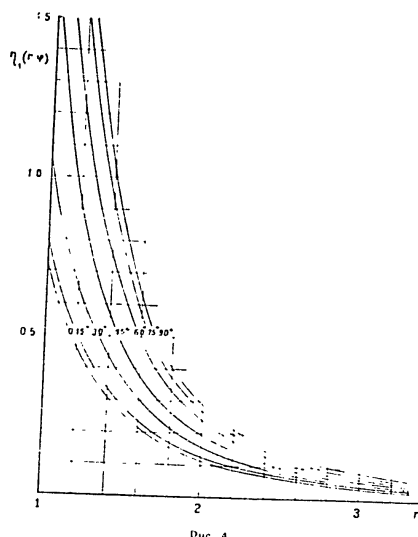


Рис. 4.

веденя примеры этих кривых для различных значений z на конец четвертой части сечения туманности. Там же указана полусфера радиуса $R/2$. Пунктиром изображена та же самая кривая для точечного поля, вычисленная по формуле (14) при $z = 1$.

Как следует из (12), z — прямая пропорциональна квадрату магнитного момента, т. е. магнитной напряженности, и обратно пропорциональна начальной концентрации η_0 . Примем, что η_0 одинаково для всех туманностей, имеющих одинаковые размеры по различным значениям напряженности

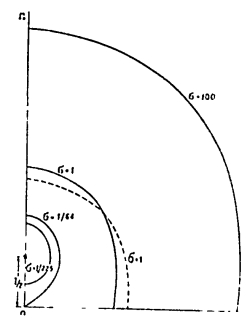


Рис. 5.

магнитного поля. Тогда z будет различное для этих туманностей. Соответственно этому формы областей "избегания" и, в конечном счете, формы центральных сечений этих туманностей будут существенно отличаться друг от друга. На рис. 6 схематически приведено несколько таких примеров, где не заштрихованые части туманностей соответствуют областям "избегания". Видоизменение общей конфигурации этих форм соответствует увеличению напряженности маг-

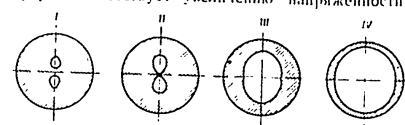


Рис. 6.

нитного поля при переходе от I до IV последовательно, т. е. наименьшее (относительно) напряжение магнитного поля мы имеем в случае I, наибольшее — в случае IV.

Допустим, что напряженность магнитного поля туманности постоянна и не меняется при ее расширении, а кон-

центрации ядра уменьшается обратно пропорционально кубу внешнего радиуса, т. е. $n_0 \sim R^{-3}$. Тогда, как следует из (12), с расширением туманности вдвое концентрация, вследствие гравитации, должна уменьшаться пропорционально R^{-3} , то есть в квадрате радиуса туманности. Итак, говоря, при симметричных расположениях ядерных форм туманности должна произойти ядра I + II + III + IV. Однако это возможно, не смотря на то, что вблизи ядра I туманность имеет поглощательную способность также уменьшиться с расширением туманности. Впрочем, это вопрос для будущего специального изучения.

Помимо ядер, имеющих форму центрального сечения, с учетом поглощения туманности в проекции на плоскость симметрии оказывается также поглощаемая IR_0^2 , и с определенными ядрами, в зависимости от расстояния r_0 от ядра, она характеризуется линейной зависимостью от ядра I. Поэтому, относительная концентрация "ядерных" матриц ρ_0 определяется туманностью

СРАВНЕНИЕ РАСТОРОННОСТИ ПО ТУМАННОСТИ ПРИ РАЗНЫХ МАГНИТНЫХ ОЧЕРЕДНОСТЯХ

В настоящем параграфе приведены сравнения серии изображений, полученных на основе построенных выше теоретических расчетов с наблюдаемыми системами изображений. При этом считается, что линии радиусов туманности R , а также обобщенные координаты R и ψ образуют координатами, которые находятся в квадратичном соотношении с начальной магнитной полюсной линией. Поэтому мы будем иметь в виду параметры I_0R и $I_0\psi$, которые в разных туманностях могут принять различные значения.

Относительная концентрация ядерных ранней и поздней областей "забетания" в зависимости увеличивается с удалением от этой границы, асимметрически стремясь к единице. На данном расстоянии от центра туманности функция $\psi(R, \varphi)$ достигает своего максимального значения при $\varphi = 0$ и наибольшего при $\varphi = 90^\circ$ (см. фиг. 3 и 4). Согласованно этому относительная концентрация будет наибольшая, согласно формуле (18), в направлении $\varphi = 0$ (экватор) и

наименьшая — по направлению $\varphi = 90^\circ$ (магнитная ось). Приводятся соответствующие численные для различных значений r и φ , мы можем построить кривые равных поверхностных яркостей — изображения, относящиеся к данному центральному сечению. Вращением этого сечения с системой изображений вокруг магнитной оси мы получим реальное трехмерное изображение этих изображений, что и будет соответствовать пространственной структуре туманности. Поскольку туманность обычно программа для собственного изображения излучения, то эту картину мы должны видеть в спироконформном виде на сфере Пуанкаре. Поэтому от этой трехмерной системы изображений переходим к четырехмерной системе. Формально решение этой задачи сводится к записи следующего выражения

$$I(R, \varphi) = C_1 \sqrt{\frac{R^2 - r^2}{4 - \frac{r^2}{R^2}}} \sin \varphi \quad (23)$$

Здесь r , φ , ψ есть поверхности сферы Яркость в точке $M(r, \varphi)$ изображения туманности (рис. 7). C_1 — некоторая постоянная, а $I(R, \varphi)$ берется из (18) и (17), причем, вспомогательные в них функции $\sin \varphi$ заменяются выражением

$$\sin \varphi = R \sin \psi \quad (24)$$

Интегрирование (23) производится численным или графическим способом. В наших задачах для применения графического способа интегрирования были построены теоретические системы изображений ряда случаев, некоторые из которых приводятся ниже.

На рис. 8 приведена система изображений, построенная при следующих предположениях: наружный радиус туманности $R = 2,5$ см. (т. е. $R/I = 2,25$), туманность — сплошная и $\psi = 1$. Цифры означают интенсивность в произвольных единицах.

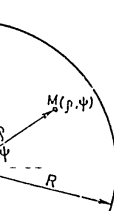


Рис. 7

ницах Пунктирной линией обозначены границы областей „избегания“. На этой системе изофот хорошо видны „шапки“ — области максимальной яркости, расположенные на экваториальной плоскости туманности, симметрично относительно ее центра. Области же наименьшей яркости расположены на магнитной оси. Любопытно отметить, что в приведенном примере интенсивность в направлении магнитной оси сперва уменьшается с удалением от центра и, где-то достигая минимума (равного 4.3), опять увеличивается, прежде чем достигнуть пуль на внешней границе туманности.

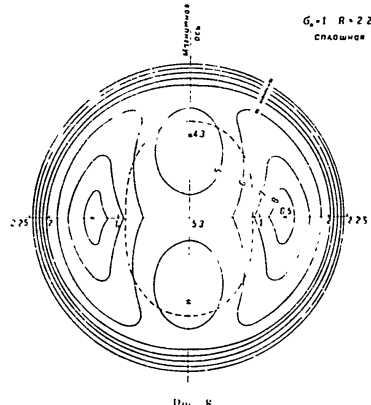


Рис. 8

Сходное с рис. 8 распределение поверхностной яркости дает известная планетарная туманность NGC 3587 („Собака“), изофот которой приведены на рис. 9, взятом из работы Аллера и Минковского [5]. Сходство при этом имеет место не только в качественном отношении, но даже в ко-

личественном. В частности, построением продольных фотографических разрезов по двум осям — магнитной и экваториальной, найдем для отношения наибольшей и наименьшей интенсивностей в случае туманности NGC 3587 (на рис. 9 цифры означают логарифмы интенсивностей в про-

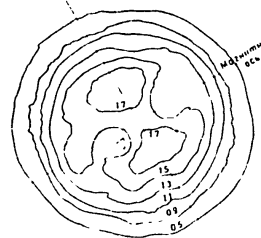


Рис. 9

извольных единицах) значение, равное приблизительно 1.9. Теоретическое же значение этого отношения, найденное из рис. 8, равно 2

Тождественность обеих систем изофот теоретической и наблюдаемой позволяет определить величину напряженности магнитного поля в различных частях туманности NGC 3587. Поскольку в нашем случае $\varepsilon = 1$, то имеем (12):

$$\frac{a^2}{8\pi k T_{\text{п}} \Gamma} = 1 \quad (26)$$

Примем $T = 10^4$ К, $n_0 \sim 10^{11}$ см⁻³. Тогда найдем из (26) $a \approx 6 \cdot 10^{-4}$. Для вычисления напряженности в некоторой точке туманности примем из (16)

$$H = a \cdot q_0(r, z) = 6 \cdot 10^{-4} q_0(r, z) \quad (27)$$

Из рис. 3 и 4 найдем, например, при $r = 1$ см, что соответствует расстоянию от центра, приблизительно вдвое меньшему радиуса туманности. Заметим, что при сделанных

предположениях радиус туманности NGC 3587 равен 2,25 ед.);

$$\eta_1(1,0) \approx 0,715 \text{ и } \eta_1(1,90^\circ) = 3,56.$$

Отсюда получим:

$$H \approx 4,10^{-4} \text{ гаусс при } \varphi = 0;$$

$$H \approx 2 \cdot 10^{-4} \text{ гаусс при } \varphi = 90^\circ.$$

На расстоянии, равном $r = 2$ ед. (почти на самом краю туманности) имеем:

$$\eta_1(2,0) = 0,115 \text{ и } \eta_1(2,90^\circ) = 0,286$$

Соответственно этому получим:

$$H \approx 7 \cdot 10^{-5} \text{ гаусс при } \varphi = 0;$$

$$H \approx 2 \cdot 10^{-4} \text{ гаусс при } \varphi = 90^\circ.$$

В центре туманности ($r = 0$) имеем: $\eta_1(0) = 8$, а следовательно, $H \approx 5 \cdot 10^{-4}$ гаусс.

На рис. 10 приведена теоретическая система изофот туманности, построенная при тех же предположениях, что и в предыдущем случае ($\sigma = 1$, туманность сплошная), но внешний радиус равен $R = 1,76$ ед. В общих чертах системы изофот, приведенные на рис. 9 и 10, сходны, но в последнем случае области максимальной яркости ("шапки") выражены более ярко, сами "шапки" имеют заостренную с внутренней стороны форму и, наконец, в направлении магнитной оси яркость убывает монотонно с удалением от центра туманности. В результате получается туманность, по внешней форме напоминающая "гимнастические гирь". Такую форму как раз имеет одна интересная туманность на южном небе с координатами $\alpha = 16^{\text{h}}13,3^{\text{m}}$, $\delta = -51^\circ52'$ [6]. С приведенной системой изофот очень хорошо согласуется и форма туманности NGC 3195, находящейся также на южном небе [6].

На рис. 11 и 12 приведены теоретические системы изофот, построенные уже не для сплошной туманности, а для оболочки, толщина h которой составляет $1/4$ и $1/8$ части радиуса туманности соответственно. Внешний радиус туман-

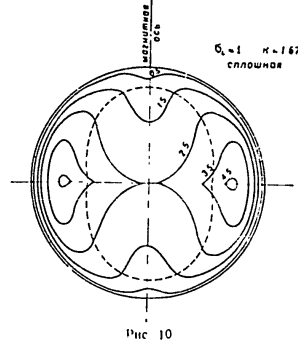


Рис. 10

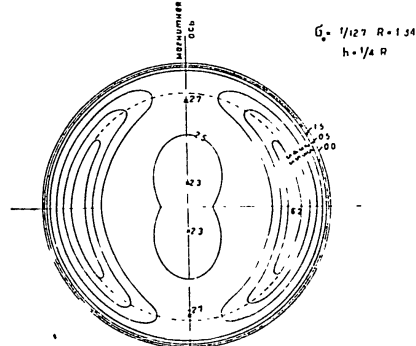


Рис. 11

ности равен: в первом случае $R = 1,34$ с.т., во втором случае $R = 1,17$ с.т. Обе системы изобретены для значения $\alpha = 1/12,7$. Первая из этих систем (рис. 11) по своей структуре напоминает некоторые колыцеобразные туманности.

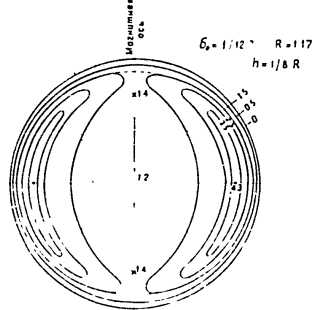


Рис. 12

ности, в которых наблюдается повышение яркости на концах малой оси, в том числе туманности NGC 6720, 7293 и т. д. Вспомогательные изображения изофот, например для туманности NGC 6720, легко дают нам отношение интенсивностей между областями повышенной яркости и центром. Оно получается порядка 2,5–3 (см., например, [7], а также [8], стр. 217). Почти такое же отношение получается из системы изофот, приведенной на рис. 11. Поэтому можно узять, что приведенные выше характеристики для "георефлексской" туманности достаточно хорошо соответствуют условиям туманности NGC 6720. Отсюда найдем для напряженности магнитного поля на расстоянии $r \sim 1-1,3$ с.т. в области "шапок" ($\alpha > 0$) $H \sim 10^{-1}$ гаусс, в области магнитных полюсов ($\alpha = 90^\circ$) $H \sim 5 \cdot 10^{-1}$ гаусс, а в центре туманности

туманности $-H \sim 10^{-3}$ гаусс, т. е. в всех случаях примерно в 4–5 раз меньше, чем у туманности NGC 3587.

С системой изофот рис. 12 (толщина оболочки равна $1/8$ радиуса) качественно хорошо согласуется структура и форма туманности $\alpha = 16^\circ 10.5^\circ$, $\delta = -74^\circ 50'$ [6], а также NGC 7662 [9], у которых "шапки" имеют "бананообразную" форму.

На рис. 13 приведен еще один пример построенных систем изофот. Они соответствуют значению $\alpha = 10^\circ$, $R = 2$ с.т.

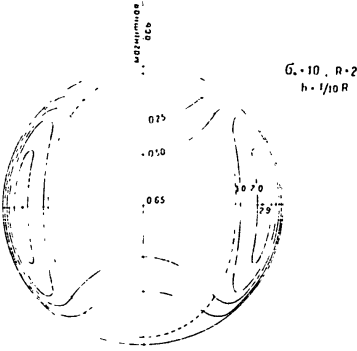


Рис. 13

и толщину оболочки, равной $1/10$ радиуса туманности. В этом примере достигнута контрастность между яркостью "шапок" и яркостью в центре туманности в еще большей степени, чем в предыдущих примерах (планетарные туманности NGC 40, 6058 и др.)

ЗАКЛЮЧЕНИЕ

Представление о существовании магнитных полей не точечного дипольного типа в планетарных туманностях хорошо объясняет наблюдаемое разнообразие их формы и структуры. Основные результаты, которые получены в настоящем этапе изучения этого вопроса, следующие:

1. Дипольное магнитное поле вызывает перераспределение ионизированной материи планетарной туманности, в результате чего в ней образуются две яркие области — "шапки", расположенные симметрично в отношении ядра. Линии, соединяющие обе "шапки", перпендикулярны магнитной оси туманности.

2. Дипольное магнитное поле может привести к образованию области "избегания" внутри туманности, где присутствие гамма невозможно. Радиусы этой области увеличиваются с увеличением напряженности магнитного поля.

3. Величина напряженности магнитного поля различна как для различных туманностей, так и для различных точек внутри данной туманности. В ярких областях (в "шапках") она в среднем порядка 10^4 — 10^5 гаусс, а в значительно меньшем количестве напряженности общего магнитного поля Галактики.

4. Относительная глубина "затечания" магнитных полюсов у различных туманностей различна и, возможно, меняется с расширением туманности.

Наряду с этим, можно заметить ряд последствий, которые обусловлены магнитными полями планетарных туманностей и которые нуждаются в дальнейшем изучении. Укажем некоторые из них.

1. У реальной, расширяющейся с некоторой скоростью планетарной туманности дипольное магнитное поле должно вызывать магнитное торможение, величина которого различна в различных направлениях. В результате туманность должна принять втянутую, т. е. сжатую форму, с длинной осью, расположенной на магнитной оси туманности. Степень сжатости, очевидно, должна зависеть как от величины напряженности поля, так и от относительной глу-

О ПРИРОДЕ МАГНИТНЫХ ПОЛЕЙ ТУМАННОСТЕЙ 55

бини "затечания" магнитных полюсов. При этом можно будет ожидать образование самых разнообразных форм планетарных туманностей, начиная от сферической, эллиптической и кончая почти "прямоугольной" формой.

2. При значительном удалении некоторой части материки туманности направление магнитной оси, эта материя может отстоять на большое расстояние от магнитных полюсов, где напряженность собственного магнитного поля мала и сравнима с напряженностью общего регулирующего магнитного поля Галактики в данном месте. Взаимодействие собственного дипольного поля туманности с регуляризованным полем Галактики должно оказываться на структуре туманности в этих частях, т. е. на концах магнитной оси. При этом может оказаться возможным образование спиральных рукавов и, тем самым, спиралевых туманностей.

3. Согласно вышеизложенной [3] концепции, ядра планетарных туманностей являются молодыми, еще не совсем сформировавшимися звездами. Поэтому не исключена возможность испускания ультрафиолетовых электронов со стороны центральной звезды. Взаимодействие этих электронов с магнитным полем туманности должно привести к появлению синхротронного излучения, непрерывного по своему спектру. Это излучение должно быть поляризовано. Максимальную степень поляризации, а также максимальную плотность синхротронного излучения следует ожидать в области "шапок", т. е. в направлении, перпендикулярном магнитной оси туманности. Относительная доля энергии этого излучения среди общего непрерывного излучения туманности, по-видимому, должна быть очень мала. Тем не менее, при особых случаях ее можно будет видеть путем тонких, в частности поляризационных методов исследования (по этому вопросу см. также [8]).

4. Планетарная туманность, расширяясь, в конце концов должна рассеяться в межзвездном пространстве. Поскольку материя, составляющая планетарную туманность, уносит с собой магнитное поле, то последнее также будет рассеиваться в межзвездном пространстве. Магнитная ось каждой туманности ориентирована в пространстве произвольным

образом. Поэтому сумма полей рассеянных туманностей дает новое поле, уже *хаотическое* по своей структуре. Учитывая относительную высокую частоту рождения планетарных туманностей (порядка одной туманности в год) и малую продолжительность их жизни (порядка нескольких десятков тысяч лет), следовало бы изучить дальневидную судьбу планетарных туманностей и их матинских полей в сфереической и промежуточной подсистемах Галактики.

Таким образом, уже полученные до некоторой степени предварительные результаты указывают на большое значение магнитных полей и вопросов динамики планетарных гуманностей. Поэтому проведение дальнейших исследований в этом направлении следует считать желательным. Особое внимание при этом следует обратить, в первую очередь, на получение новых наблюдательных данных, относящихся к ограждениям планетарным гуманностям, путем применения фотометрических, спектрофотометрических и поляризационных методов исследования.

January 1958

• 11 •

ՄՈՒՐԻՄԱՎԵԼ ՄԻԳԱՄԱՆՈՒԹՅՈՒՆՆԵՐԻ ՄԱԳՆԻՍԻԿԱՆ
ԴԱՇՆԵՐԻ ԸՆՈՒՅՑԻ ՄԱՍԻՆ

۱۴۰۰

Յայլ և արքան, որ մորտակաձև միբամածություններուա
պես է գրգիթիս ամենան ա վկասին ամիս զիսպարախ աղա-
միսական զաշանք, որոնք ե պարմանաւութիւնը և նրանց ձեռք և
կատացացիք դժմուգ բարգապատճեններ Աստագա են համա-
պատասխան բրանձուներ միբամածություններ նորի խօսքական
որոշման համար կիսամաս մարդկանամարդ զաշանք մեջ ե արդիական
թիւն ձեռն թթացիք ինչպես աս միբամածություններ ուսկերդ ու
նոր սկզբանական խօսքականից:

1. Թիգորալին մակնիսական զատեաբը թիգորմ ևն միգումած տալիս խառացած նորմիք միջադասիցմանը, որի հետեւառող միցամած մասն մէր ապացնում ևն միջորիք նկատմամբ միշտիք կիրագո զատապահում կրիս պարա ստրումեներ - «ԿՐ- ԽԱՐԱՐԻՒՆԵՐ» և «ՎԱՐԱՐԻՒՆԵՐ» են կրիս միացնում զիօք ողպահապաց առանցքներ:

2. Գրագութեն մաշնական զաշը կարող է մեղածածք ի հնարինութեան առաջ ըլբե չօտառապահ առարածաթիւն, պրա-
մաց զափ աստիքի միանք առնան է և օտառապահ առարա-
ծք այսիւ մեծանու են մաշնական զաշը բրագմաթիւն
մեջանաւու.

Л И Т Е Р А Т У Р А

1. *I. A. Гуревич*, ДАН СССР, 113, № 6, 1231, 1957.
 2. *I. A. Гуревич*, Вопросы космогонии, VI, 1958.
 3. *I. A. Гуревич*, ДАН СССР, 113, № 5, 1013, 1957.
 4. *L. Alter*, Gas-and Nebulae, London, 1956.
 5. *L. Alter* и *R. Minkowski*, Ap. J. 120, 261, 1954.
 6. *D. Evans* и *Thackeray A.*, M. N. 110, 129, 1950.
 7. *I. A. Пирогов-Вельчиков*, Галактики, туманности и Новые звезды, М., 1918.
 8. *I. A. Гуревич*, ДАН АрцССР, 24, 53, 1957.
 9. *O. Wilson*, Ap. J. 111, 279, 1950.

Г. А. Гурзадян

ОБ ЭЛЕКТРОМАГНИТНОЙ ПРИРОДЕ
СИРАДЕЦИДНЫХ ПЛАНЕТАРНЫХ ТУМАННОСТЕЙ

Сирадецидами мы называем те планетарные туманности, у которых наблюдаются два рукава, похожие на спиральную ветви, расположенные симметрично относительно туманности [1, 2]. Разновидностью сирадецидных туманностей являются зетобразные туманности, основная структура которых напоминает биполярные туманности с той лишь разницей, что "шапки" в этом случае соединены кругом с другом яркой перекличкой. Типичным представителем сирадецидной туманности является NGC 4361, новый снимок которой, полученный Минкоевским с помощью 200" телескопа, помещен в [3]. Представителями зетобразных туманностей являются NGC 6778, 2432 [1]. Как показал Н. В. Рязмате, зетобразную структуру имеет также планетарная туманность NGC 6853 [9]. На это указывает также снимок этой туманности, помещенный в [10].

Получение структуры биполярных туманностей привело к выводу, что в планетарных туманностях вообще должны присутствовать магнитные поля [5]. Дальнейшее исследование этого вопроса привело к представлению о существовании в них самостоятельных *дипольных* магнитных полей, причем размер диполя сопоставим с размерами туманности [6]. Напряженность магнитного поля в различных частях туманности оказалась при этом различной и доходила до величин порядка 10^{-3} – 10^{-4} гаусс, т. е. значительно превышающих напряженность магнитного поля Галактики.

Представление о существовании в планетарных туманностях дипольных магнитных полей хорошо объясняет многие особенности их структуры, а также наблюдавшееся разнообразие их форм. В частности, оно приводит к следующим двум важным следствиям:

1. При наличии дипольных магнитных полей туманность должна иметь билатеральную структуру, т. е. иметь две яркие, расположенные симметрично в отношении ядра "щеки".

2. Если туманность расширяется и вместе с тем обладает дипольным полем, то она должна приобрести вытянутую в направлении магнитной оси форму.

Остановимся на втором из этих особенностей. Вытянутость туманности в направлении ее магнитной оси означает, что она в этом направлении расширяется с большей скоростью, чем в направлении экваториальной плоскости. Внешнепланетное будто бы из полос происходит вселение газовой материи в направлении магнитной оси, кроме широкой струи, образуя выступы с обеих сторон туманности. На самом же деле имеет место замедление расширения туманности в экваториальной плоскости, т. е. в направлении, перпендикулярном магнитным силовым линиям. Указанные струи или выступы особенно хорошо видны, например, у двухбоковочной туманности NGC 7009; они расположены на дипольной оси туманности, которая одновременно является и ее магнитной осью.

Дипольное магнитное поле в планетарных туманностях обычно бывает *неточечного* типа [6], когда размер диполя l (расстояние между "точечными" зарядами) порядка диаметра туманности $2R$ (см. рис. 1, где через N и S обозначены северный и южный полюсы соответственно на центральной сечении туманности; последние защищированы). С удалением от туманности магнитное поле быстро уменьшается (напряженность поля уменьшается приблизительно обратно кубу расстояния).

Представим теперь, что упомянутые выступы настолько удалены от магнитных полюсов, что напряженность дипольного поля в них, уменьшаясь по величине, становится порядка напряженности общего магнитного поля Галактики в

данном месте, т. е. порядка $10^{-5} - 10^{-6}$ гаусс. Это общее поле Галактики может быть принято внутри рассматриваемых нами объемов однородным. В таком случае при рассмотрении струкции туманности уже нельзя будет игнорировать это поле. Галактика и поэтому, структура туманности на концах ее магнитной оси, т. е. в областях выступов, уже будет определяться комбинированным действием *однородного* поля туманности и *однородного* или почти однородного поля Галактики.

В дальнейших рассуждениях ограничимся рассмотрением только одной северной полуволны туманности, структура которой магнитных силовых линий которой, в виде пачки ниток, изображена на рис. 2. В отношении ориентации магнитной оси туманности поставим условие, чтобы она не была параллельна магнитной линии Галактики в данном месте. Примем, для простоты, что она перпендикулярна этим силовым линиям.

Возьмем две точки в пределах рассмотренного выступа A и B, расположенные симметрично в отношении магнитной оси, т. е. находящиеся на одинаковых расстояниях от полюса N. Магнитная силовая линия, проходящая через точку A, очевидно, представляет собой зеркальное изображение магнитной силовой линии, проходящей через точку B. Поэтому вектора напряженности от дипольного поля в точках A и B будут равны друг другу как по величине, так и по тому же вектору, состоящему между этими векторами.

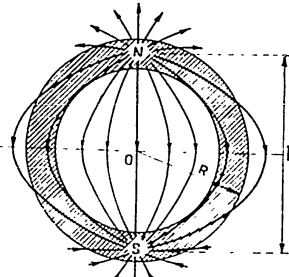


Рис. 1

и радиус-векторами точек А и В, будут равны друг другу. Абсолютная величина этого вектора в случае неточечного диполя определяется по формуле:

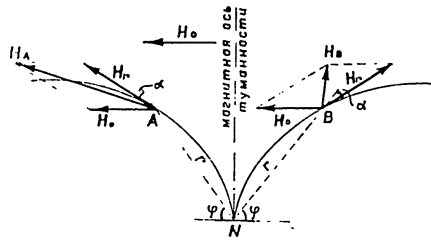


Рис. 2

$$\Pi_A = \Pi_B = a \eta_1(r, \varphi), \quad (1)$$

где a — магнитный момент диполя, а функция $\eta_1(r, \varphi)$ равна:

$$\eta_1(r, \varphi) = 2^x \cdot x^2 \frac{((1+x^2)^2 + 4x^2 \sin^2 \varphi - (1-x^2)(1+x^2) - 4x^2 \sin^2 \varphi)^{1/2}}{(1+x^2)^2 - 4x^2 \sin^2 \varphi} \quad (2)$$

где $x = l/2r$. Графики функции $\eta_1(r, \varphi)$ для различных значений l/r и φ приведены в [6].

В случае точечного диполя (когда $\frac{l}{r} \rightarrow 0$) выражение (1) примет более простую форму:

$$\Pi_A = \Pi_B = \frac{a}{r^2} \eta(\varphi), \quad (3)$$

где

$$\eta(\varphi) = \sqrt{1 + 3 \sin^2 \varphi}. \quad (4)$$

Что же касается угла α , определяющего направление

вектора напряженности, то он, например для случая точечного диполя, определяется из соотношения:

$$\lg \alpha = \frac{1}{2} \lg \varphi. \quad (5)$$

Наложим в точках А и В вектор напряженности магнитного поля Галактики H_0 , величина которого порядка величины напряженности дипольного поля в области выступов, т. е. в точках А и В. Тогда будем иметь для полных напряженностей в этих точках:

$$\Pi_A = H_r + H_0; \quad (6)$$

$$\Pi_B = H_r + H_0. \quad (7)$$

Из рис. 2 очевидно, что $\Pi_A > \Pi_B$. Важно отметить, что степень этого неравенства различна на различных расстояниях от полюса. Так, при близких к полюсу расстояниях, где $\Pi_r > \Pi_0$, будем иметь: $\Pi_A \sim \Pi_B \sim \Pi_r$. На больших расстояниях имеем: $\Pi_r \sim \Pi_0$ и поэтому $\Pi_A \sim \Pi_B \sim \Pi_0$. Таким образом, справа и слева от магнитной оси имеются некоторые замкнутые области, в пределах которых сохраняется неравенство $\Pi_A > \Pi_B$; это, очевидно, будет соответствовать расстояниям, где $\Pi_r \sim \Pi_0$.

Плотность ионизованного газа, находящегося в состоянии теплового движения, в точке (r, φ) при наличии магнитного поля определяется из следующего условия стационарности:

$$\frac{\Pi^2}{8\pi} \cdot \frac{mv^2}{2} = C, \quad (8)$$

где v — термическая скорость ионов, одинаковая во всех точках рассмотренной области, C — некоторая постоянная; способы определения этой постоянной описаны в [6].

Из (8) имеем:

$$\rho = \frac{2C}{v^2} \cdot \frac{\Pi^2}{4\pi^2} \quad (9)$$

Воспользовавшись этой формулой, найдем, что плотность газа в точке В должна быть больше, чем в точке А, т. е.

имеет место условие $\rho_0 = \rho_1$ для некоторых замкнутых областей вокруг А и В.

Вывод, который можно сделать из приведенных качественных рассуждений, напрашивается сам собой. Если при отсутствии галактического магнитного поля распределение плотности было симметричным в отношении магнитной оси, то при наличии такого поля оно больше не будет таким: плотность в правой половине от оси (при принятой схеме) будет больше, чем в левой. Далее, коэффициент объемного излучения туманности пропорционален квадрату концентрации ионов или электронов, поэтому даже при незначительной разнице плотностей может образоваться значительная разница в яркостях между областями, расположеннымами в разных сторонах от магнитной оси. Нетрудно убедиться, что при этом впечатление будет такое, как будто выступы превратились в спиральные рукава. Поскольку вся картина повторяется (в зеркальном изображении) и в отношении южного

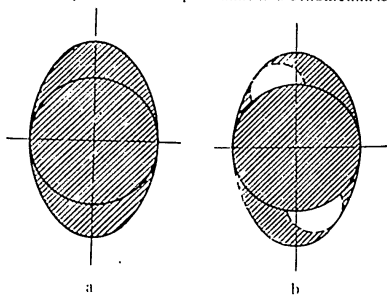


Рис. 3.

полюса, то в результате получим туманность с двумя спиральными рукавами, расположеннымими симметрично с обеих сторон; получим спиралевидную туманность. На рис. 3 схематически изображена форма продолговатой (с выступами)

туманности при отсутствии магнитного поля Галактики (а), и при комбинированном действии дипольного магнитного поля туманности и однородного магнитного поля Галактики (б).

В 1953 г. нами была выдвинута гипотеза, согласно которой происхождение формы спиралевидных туманностей может быть следствием истечения газовой материи из двух противоположных точек туманности и осевого вращения [1, 2]. Теперь мы видим, что существование магнитных полей в туманности естественным образом объясняет и появление спиральных ветвей. В отличие от прежней, гидродинамической теории возникновения спиральных рукавов здесь абсолютно не требуется вращение туманности. Спиральные ветви, таким образом, являются какими-то узорами, "украшающими" туманность, не иместе с тем они лишены некоторой "личинности", кажущейся на первый взгляд неизбежной.

Нами произведены конкретные вычисления с целью вынести картину распределения яркости по одному из полиродных выступов, т. е. картину изофотов, при комбинированном действии на него дипольного магнитного поля туманности и однородного внешнего магнитного поля. Дипольное поле принято иеточечного типа, а магнитное поле Галактики принято посемь раз меньшим напряженности дипольного поля туманности в ее центре и направленным перпендикулярно магнитной оси туманности. Что же касается угла α , то он определяется приблизительно по формуле (5), что, как было указано, справедливо только при точечном диполе.

Распределение относительной плотности газа по высоту вычисляется согласно формуле, выведенной из (9) (см. [6]):

$$\frac{\rho}{\rho_0} = 1 - \tau_{\theta}^2(r, \varphi). \quad (10)$$

где τ — некоторый коэффициент, зависящий, в частности, от величины магнитного момента диполя и средней плотности ионов (в наших вычислениях принято $\tau = 5$), а через $\tau_{\theta}(r, \varphi)$ обозначено абсолютное значение вектора τ_{θ} в данной точке, где $\tau_{\theta} = H_r + H_\theta$. Абсолютное значение вектора τ_{θ} опре-

делено графическим способом для ряда точек, расположенных на радиус-векторах, исходящих из полюса N во всем направлении в интервале от $\varphi = 0$ до $\varphi = +90^\circ$ и образующих между собой угол, равный 15° . Значения функции $\eta_1(r, \varphi)$, необходимые для определения величины вектора η_2 в точке (r, φ) , взяты из рис. 3 и 4 работы [6].

Речь пойдет о начальном иите построенных изофотон на центральном сечении выступа, приведена на рис. 4, где цифры обозначают интенсивности в произвольных единицах. Форма гуманности указана пунктирной линией, нас интересует только структура выступа, поэтому приходить подробности формы и строения самой гуманности нет необходимости.

Укажем лишь, что при данной структуре и форме выступа возможны самые различные формы и структуры гуманности.

Как видно из приведенного рисунка, при комбинированном действии циркулярного поля туманности и однородного поля Галактики в самом деле могут образоваться спиральные рукава на концах магнитной оси за счет перераспределения массы газа полярных выступов гуманности.

Помимо упомянутой выше туманности NGC 4361, у которой наличие спиральных рукавов не вызывает сомнения, имеется ряд туманностей, также

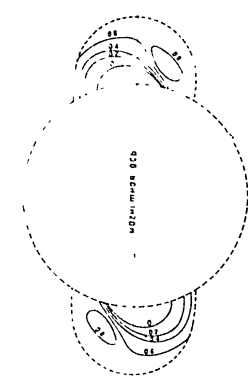


Рис. 4

обладающих спиральными рукавами. Сюда относятся, в первую очередь, известная биполярная туманность NGC 7026, для которой фото, полученное с помощью 200" телескопа,

и изофоты приведены в книге Аллера [7]. Изофоты воспроизведены нами из [7] на рис. 5 в несколько сокращенном виде, а именно мы отбросили последние два контура, соотвествующие значению Ig_3 , равному 0,1 и 0,3 соответственно, и оставили, как определяющий значение границу гуманности, контур, соответствующий значению Ig_3 , равному 0,5.

Наличие спиральных рукавов в этой гуманности, расположенных симметрично с ее обеих сторон, более чем очевидно. Что в $\pm 90^\circ$ от гуманности в самом деле имеется циркулярное магнитное поле, необходимое для образования спиральных рукавов, можно убедиться, обратив внимание на следующие факты. Во-первых, эта гуманность биполярная во вторых, она сильно скажа в направлении экваториального диаметра, в результате чего она и приняла почти прямоугольную форму (аналогично гуманности IC 4106). Пунктирной линией на рис. 5 обозначено направление магнитной оси так, как это следует ожидать, исходя из структуры туманности, а черточками направление плоскости экватора Галактики, по которой, как полагают, направлены силовые линии общего магнитного поля Галактики.

Другой пример спиралевидной гуманности мы имеем в случае планетарной гуманности CD-29 13998, изофоты которой воспроизведены, опять-таки из книги Аллера на рис.

6. Следует обратить внимание прежде всего на сильно сжатую, почти прямоугольную форму этой туманности, являющей собой убедительное доказательство существования магнитных полей в ней. Что же касается спиральных

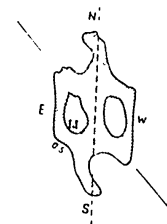


Рис. 5. Снимок спиральной галактики NGC 7026. Цифры обозначают Ig_3 . Пунктирная линия — магнитная ось гуманности, черточки — направление плоскости параллельной галактическому экватору.

ветвей, расположенных на концах магнитной оси (пунктирные линии), то их форма, напоминающая клещи, как будто более близко подходит к тем, которые приведены на рис. 5 для одного частного случая расчетной схемы.

Довольно ясно выраженную спиралевидную структуру имеет также вторая оболочка одной из интересных биполярных туманностей: $z = 16^{\circ}10'5$, $\delta = +51^{\circ}50'$, фото которой помещено в статье Эванес и Текерей [6].

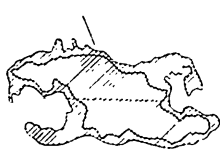
Возникающие в туманности NGC 7009, уже упомянутой выше, следует подчеркнуть, что в этом случае мы имеем также спиралевидную туманность, огибающую тахоболонуку, плоскость спиралей которой приближительно перпендикулярна плоскости картины. Что же касается некоторой напряженности магнитного поля Галактики, то он также находится в плоскости, перпендикулярной картине, но, судя

по симметрично расположенным темным пятнам на второй оболочке, слегка наклоненном (порядка 30°) в отношении магнитной оси туманности; последние совпадают с линиями, проходящими через центр туманности и обоих выступов.

Теперь несколько слов о зетобразных туманностях. В отношении этих объектов также была развита в [1, 2] гидродинамическая теория образования перемычек и спиральных ветвей, на основе гипотезы об истечении газовой материи из центральных областей туманности. Теперь от этого объяснения, по-видимому, следует отказаться, так как зетобразная форма некоторых туманностей, как видим ниже, по всей вероятности, также может быть объяснена как результат частного случая проявления магнитных полей внутри туманности.

Рис. 6. Снимок планетарной туманности CD-29°1'1998. Пунктирные линии—магнитная ось туманности, черточки—параллельный галактическому экватору

материи из центральных областей туманности. Теперь от этого объяснения, по-видимому, следует отказаться, так как зетобразная форма некоторых туманностей, как видим ниже, по всей вероятности, также может быть объяснена как результат частного случая проявления магнитных полей внутри туманности.



допустим, что планетарная туманность имеет довольно большие линейные размеры, так, что напряженность поля, будучи наибольшей на ее наружных границах (размер диапазона I порядка диаметра туманности $2R$), будет довольно мала в ее *центральных* частях, причем настолько мала, что она может быть сравнима по своей величине с напряженностью магнитного поля Галактики ($H_0 \sim H_g$).

Проанализируем возникшую при этом картину поближе тому, как это было сделано выше, когда условие $H_0 \sim H_g$ имело место в отношении *далеких* от центра туманности областях. Для этого обратимся к рис. 7, где схематически изображены магнитные полюсы туманности N и S и пара магнитных спиральных линий, расположенных симметрично относительно магнитной оси. Вектор напряженности магнитного поля Галактики H_0 приведен перпендикулярами магнитной оси туманности. В точках A_1 , A_2 , B_1 и B_2 , находящихся на одинаковых линейных расстояниях от центра и одинаковых угловых расстояниях от магнитной оси, напряженности магнитного поля неточного типа и туманности H_t одинаковы. Однако векторная сумма H_t , H_0 уже неодинакова во всех точках. Она одинакова в точках A_1 и A_2 с одной стороны ($H_{A_1} = H_{A_2}$), и в точках B_1 и B_2 с другой ($H_{B_1} = H_{B_2}$). Но $H_{A_1} \neq H_{B_1}$. Степень этого не равенства хотя может меняться при передвижении вдоль направлений aa' и bb' , но в среднем, следует умать, она будет сохранена в пределах некоторой величины.

Возникновение неравенства $H_{A_1} \neq H_{B_1}$ приводит к тому, что в направлении bb' , как это следует из 9, плотность газа будет больше, чем в направлении aa' . Это значит, что

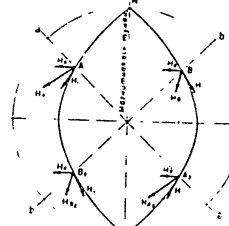


Рис. 7.

если действие дипольного поля приводит к образованию биполярной туманности, с максимумом яркости в направлении ее экваториальной плоскости и симметричной в отношении магнитной оси, то при наличии дополнительного ускорения $P_1 - P_0$, указанные максимумы должны не будут симметричны в отношении магнитной оси, в этом случае яркость, например, в направлении $b\theta$ будет несколько больше, чем в направлении за A . Это уже есть изображение туманности

Мы здесь описали качественные кафтаны мышления, то есть для центрального сечения гуманности. В качественности, для изображения изофотопа реальной гуманности, прорачиваемой для собственного излучения, следует решить проблему стравленную задачу. Эта задача трущее и поэтому мы пока ограничимся только что еденицем анализом, оставляя ее решение для дальнейшего.

Таким образом, основная структура и форма будущего гноса планетарных гуманистов хотя и обусловлена действием собственного веточного членности поэзии, но тем не менее должны или элементы их структуры могут быть обозначены своим существованием или происхождением комбинированием тематиками матинистского поэта Гауклы и цинского поэта-гуманиста. Необходимым условием подобного комбинирования является: И_п-И_п, т. е. одновременное появление порядка напряженности обеих типов поэзии в одной точке гуманности. При выполнении этого условия в наружных областях гуманности могут образоваться спиральные типы гуманности; когда же оно выполняется в ее внутренних областях, могут образоваться изогибющие гуманности.

В заключение следует отметить, что некоторое отношение к вопросам вышеупомянутым может иметь экспериментальные работы Богосика [11], воспроизведющие астрофизические процессы в лабораторных условиях. В частности, при пропускании струеки почти полностью ионизованного газа (плазмы) по магнитному полю в вакууме он может наблюдать процесс искашивания формы плазмона и, в частности, образование в результате этого спиральных рукавов с обеих сторон плазмона.

Գ. Ա. ԿԱՐԵՎԱՆՅԱՆ

ԱՊԻՔԱԾ, ՄՈԼՈՎԱԿԱՋԵՎ ՄԻԳԱՎԱՆՈՒԹՅՈՒՆՆԵՐԻ ԱՅԽՏՐՈՄԱԳԻՒԹՅՈՎԱԿԱՆ ԲՆՈՒԹՔԻ ՄԱՍԻՆ

Из философии

Թեսեաւ մորտակած միզմանաթթվանների հիմնական ձեռք
և կառապահը պարագանաբարփառ են անփառան զիսպարթին
զաշամքին ներդրութամբ, Կարպատ զիսպարթ առաջաձիռ առա-
ցուցանակի և մասնագործական պարբու կանոնադրի իրավու առաջաց-
մանը և կամ զարթամքը հնանաբար և Գործադիմութիւնի համա-
նակութ մարդկանան զարթա և միզմանաթթվան զիսպարթին
զաշամք հնանաբար Ներդրութամբ համար հնանակ անդրդրութեան
անդրդրութեան պարմանն Ը 11, ~ 110, արթին 9, Գործադիմութիւնի
իշխանաց մասնական զարթա բարբառաթթվանը (Աթ.) և միզմա-
նաթթվան զիսպարթին մասնական զարթա բարբառաթթվանը ալլար-
իթանու (1), պարագ է ինձնեան նորի կորպու մասնաթթվանը կուր-
տը պարմանը ազգի տնիք միզմանաթթվան արարացին մասները,
կորպու ևս առանան պարբու միզմանաթթվանները, իսկ եթի այն
ազգի նոր միզմանաթթվանը ներքին մասները կարու ևս առա-
նան զիսպարթան միզմանաթթվանները

Բնորդ է արի հանգստականը, որ սպիրոլ թեսեր մոլորախան միշտածառ թրանիկուս յանեն զինամիկ բնութիւն. Նախար ներփական են իրենցից երլրասափամն անցը այն արթուրիթեսերի սուրկ մաքսիսան զարտի բարփած թրան բացարձակ արձեր ամենափոքրն է:

Л И Т Е Р А Т У Р А

10. J. Hatt & A. Hoag, *Sky and Telescope*, 16, № 1, 1956.
11. W. H. Hostik, *Trans. N. Y. Acad. Sci.*, 20, № 1, 79, 1957, *Phys. Rev.* 104, 292, 1956; 106, 404, 1957.

Р. А. Саакян

ФУНКЦИЯ РАСПРЕДЕЛЕНИЯ ТЕСНЫХ ДВОЙНЫХ
ЗВЕЗД ПО СУММЕ ОТНОСИТЕЛЬНЫХ
РАДИУСОВ КОМПОНЕНТ

І В В Е С И Н І

Обнаружение двойных звезд обычно происходит тремя путями: визуально, спектроскопически и фотометрически.

Визуально обнаруживаются сравнительно широкие пары. Спектроскопическим путем легко обнаруживаются тесные пары, состоящие из звезд, у которых орбитальная скорость велика. При этом вероятность открытия больших пар звезд, у которых плоскость орбиты составляет малый угол с лучом зрения. Учитывая это, можно утверждать, что число пар (с расстояниями меньше 10 а. е.) гораздо больше, чем может быть обнаружено спектральным путем.

Фотометрическим способом обнаруживаются тесные двойные звезды, у которых плоскости орбит составляют очень малый угол с лучом зрения. Фотометрическим способом легко обнаруживаются те звезды, у которых i (угол между лучом зрения и нормалью к плоскости орбиты) больше, орбитальный период обращения меньше, размеры компонент больше и у которых поверхностные яркости компонент сильно отличаются друг от друга.

Таким образом, мы видим, что на число обнаруженных в инсессионных каталогах двойных, имеющих данные особенности, большое влияние может оказывать избирательность наблюдений. Поэтому при обработке материала наблюдений со статистическими целями надо учитывать избирательность наблюдений. В противном случае часто можно прийти к неправильным заключениям.

Визуально-двойные звезды статистически изучены лучше, чем тесные двойные звезды. Для визуально-двойных звезд, из данных наблюдений, получено несколько функций распределения. Так, например, Энном [2] и Амбарцумяном [1] получены функции распределения визуально-двойных звезд по расстояниям между компонентами, а Валенкистом и автором [3] получена функция распределения визуально-двойных звезд по различиям звездных величин компонент и т. д.

Для тесных двойных звезд эти функции распределения до сих пор не получены и пока не ясно, можно ли закономерности, относящиеся к широким парам, распространить на тесные двойные или нет. Чтобы ответить на этот вопрос, надо изучать данные наблюдений, касающиеся тесных двойных. При этом получить прямые данные о некоторых характеристиках этих звезд непосредственно из наблюдений часто еще невозможно.

Однако можно попытаться получить законы распределения некоторых элементов тесных двойных звезд из данных наблюдений над спектральными двойными и фотометрическими двойными, используя знание вероятностей открытия и статистику величин, зависящих от этих элементов, где используется косвенные данные.

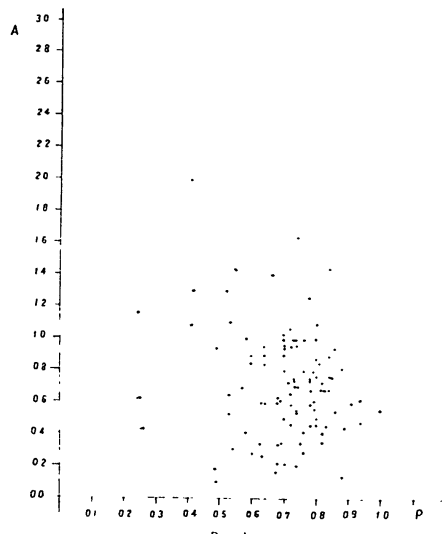
Ниже делается такая попытка в отношении фотометрических двойных.

§ 1. О КОРРЕЛЯЦИИ МЕЖДУ АМПЛИТУДОЙ ЗВЕЗДНОЙ ВЕЛИЧИНЫ, ПРОДОЛЖИТЕЛЬНОСТЬЮ ОБЩЕГО ЗАТМЕНИЯ И СУММОЙ ОТНОСИТЕЛЬНЫХ РАДИУСОВ КОМПОНЕНТ

Допустим, что имеется затмение переменной с определенными элементами. Если оставить все элементы этой звезды постоянными, а наклонность орбиты менять, то будут изменяться амплитуда звездной величины и продолжительность затмения, так как они обе зависят от наклонности орбиты. Таким образом, должна существовать зависимость между амплитудой и продолжительностью затмения затменной переменной. В случае же, когда имеется много пар со

невозможными физическими элементами звезд и элементами орбит, положение дел будет другим.

Данные наблюдений, взятые из каталога переменных звезд Кукаркина-Паренико, показывают, что никакой корреляции между амплитудами и продолжительностями затмений нет и в среднем, как показывает таблица 1, различия величин амплитуды A соответствует примерно оди-



и та же средняя продолжительность затмения D , где D выражено через периодом. График 1, составленный по данным кат-

лога земных переменных Казанской обсерватории, также показывает, что нет корреляции между Λ и r , где r —сумма радиусов компонент, выраженная в единицах расстояния между компонентами.

То явление, что каждому Λ может соответствовать любое D и r , наоборот, каждому D и r может соответствовать любое Λ , объясняется теоретически.

В самом деле $\Lambda = \text{const}$ (при $j' = \text{const}$, $k = \frac{a_2}{a_1}$, где a_1 и a_2 —радиусы компонент, а j' —отношение первых орбитальных яркостей компонент), соответственно $z = \text{const}$, где z —фотометрическая фаза при соединении компонент (орбиты при этомются кругами).

z определяется из формулы (7). Из формулы (7) и $\Lambda = \text{const}$ следует, что

$$\frac{\cos j'}{r} = \text{const}, \quad (1')$$

где i —наклонность орбиты, $r = \frac{a_1 + a_2}{2}$ и a —расстояние между компонентами.

Очевидно видно, что одному и тому же Λ соответствуют разные r , зависящие от i . Из [4] имеем:

$$y^2 = \frac{r^2 - \cos^2 i}{\sin^2 i}, \quad (2)$$

где $y = \sin j'$. Из (1') и (2) получим:

$$y = c \cos i \quad (2)$$

формула (2) показывает, что одному и тому же Λ соответствуют разные y , следовательно, и разные D , зависящие от i .

Теперь можем показать, что среднее y зависит, а среднее Λ не зависит от r .

В самом деле, в интервале $\frac{\pi}{2} \leq i \leq \arccos p$ среднее y определяется из формулы:

Таблица 1

A	0°31'	0°61'	1°01'	1°41'	1°83'	2°17'	2°57'	3°05'	3°47'	Сред.
D	0.15	0.13	0.13	0.13	0.14	0.12	0.11	0.10	0.11	0.13
\bar{a}	35	70	67	30	20	10	8	7	4	250

$$y = \frac{c_1 \cos i}{\sin i} = c_1 \frac{1}{\sqrt{1 - \cos^2 i}},$$

откуда видно, что y зависит от r .

Очевидно, что Λ при постоянном j' зависит только от z и $k = \frac{a_2}{a_1}$.

Среднее z определяется из соотношения

$$z = \frac{\int z \sin i \, di}{\int \sin i \, di} \quad (3)$$

Нижний предел интегралов определяется из формулы (1), при $D = 0$.

Следовательно получим

$$i_1 = \arccos p$$

z определяется из формулы (4) [5].

$$z = \frac{1}{\pi} \left[\varphi_1 \frac{a_1^2}{a_2^2} + \varphi_2 \frac{\Delta}{a_2^2} a_1 \sin \varphi_1 \right], \quad (4)$$

где $a_2^2 = a_1^2 + \Delta^2 - 2a_1 \Delta \cos \varphi_1$.

$$a_2^2 = a_1^2 + \Delta^2 - 2a_2 \Delta \cos \varphi_2, \quad (5)$$

а Δ —проекция расстояния между компонентами на небесной сфере.

При соединении компонент $\Delta = a \cos i$.

Из (4) и (5) получим.

$$x = \frac{1}{\pi} \left[\frac{1}{k^2} \arccos \frac{k}{p} - \frac{1 - \cos^2 \frac{1}{p}}{2 \cos \frac{1}{p}} \arccos \frac{1 - k^2 \cos^2 \frac{1}{p}}{2k \cos \frac{1}{p}} \right] + \frac{1}{2} \left[\frac{(1 - k) \cos \frac{1}{p}}{kp} \right] - \frac{1}{2} \left(\frac{k - 1 - \cos^2 \frac{1}{p}}{2 \cos \frac{1}{p}} \right)^2 \quad (6)$$

Выразите эту зависимость x от k и p обоими путями.

$$x = F\left(\frac{k \cos \frac{1}{p}}{p}\right) \quad (7)$$

Из (3) и (7) получим

$$x = \int_{-\infty}^{k \cos \frac{1}{p}} F\left(\frac{k \cos \frac{1}{p}}{p}\right) \sin di \quad (8)$$

обозначим:

$$\cos \frac{1}{p} = x_1$$

тогда получим

$$x = \int_{0}^{1} \frac{F(k, x_1) p dx}{pdx} = \int_{0}^{1} F(k, x_1) dx \quad (8)$$

Как видно из (8), x не зависит от p .

Таким образом, выясняется, что A не зависит от p , в то время как y зависит от p .

§ 2. ФУНКИИ РАСПРЕДЕЛЕНИЯ ОБНАРУЖИТИЯ ЗАМЕЧНЫХ ПЕРЕМЕННЫХ ПО x

Для определения этой функции составлены табл. 2 и график 2. На график 2 нанесены все обнаруженные замеченные переменные, у которых известна D (продолжитель-

НОСТЬ общего затмения). Из этих данных функцию $N(y)$ можно представить интерполяционной формулой

$$N(y) = 643 y e^{-\frac{y^2}{16}} \quad (9a)$$

или экспоненциальной формулой

$$N(y) = 2257 y^{\frac{1}{2}} e^{-\frac{y^2}{16}}, \quad (9b)$$

которые даны на графиках 3 и 4 соответственно.

Таблица 2

Функции распределения обнаружения замечных переменных по x									
x	0.031	0.091	0.156	0.218	0.279	0.337	0.397	0.453	0.510
y	0.662	0.707	0.750	0.790	0.826	0.861	0.891	0.999	0.611
$N(y)$	8	27	92	196	188	143	167	146	93
$N(y)$	28	11	4	9	1	4	2	1	27

§ 3. ФУНКИИ РАСПРЕДЕЛЕНИЯ ТЕСНЫХ ДВОИХ ПО СУММЕ ОБНАРУЖЕННЫХ РАДИУСОВ

Обозначим эту функцию через $F(p)$, физическую вероятность открытия замечной переменной через w_1 и «геометрическую вероятность открытия» через w_2 [6].

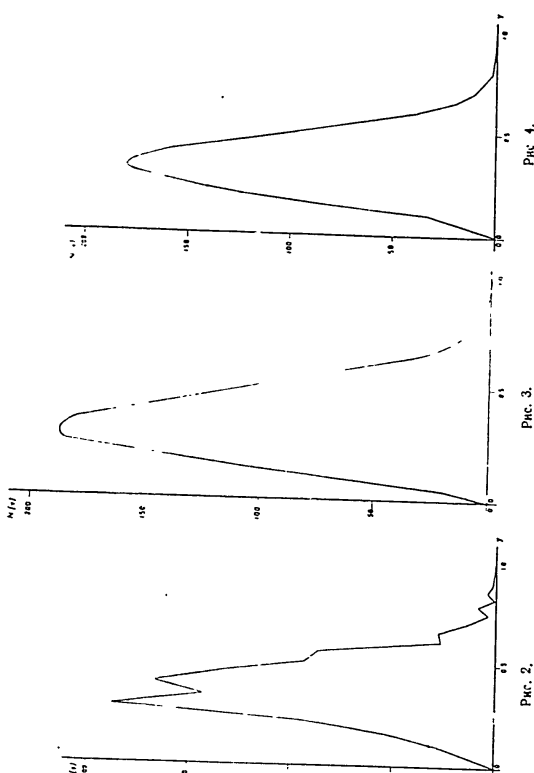
Тогда число замеченных переменных, имеющих p в интервале $r, r + dr$, определяется через

$$f(p)prdp$$

Теперь если принять, что среднее число наблюдений, произведенных на обнаружения замеченных переменных для всех участков неба, постоянно, то число обнаруженных замеченных переменных выражается через

$$f(p)prdp$$

а из них число тех, для которых p находится в интервале $k, k + dk$, будет



ФУНКЦИЯ РАСПРЕДЕЛЕНИЯ ТЕСНЫХ ДВОПНЫХ ЗВЕЗД 81

$$c f(p) p w \sin l dt dp \quad (10)$$

Из (1) имеем $l = l(p, y)$, тогда из (10) получим:

$$c f(p) p w \sin l(p, y) dl(p, y) dp. \quad (11')$$

Из (1) и (11') видно, что число всех обнаруженных звездных переменных, имеющих y в интервале $(y, y + dy)$, будет

$$N(y, dy) = c \int_y^1 f(p) p w \sin l dl dp, \quad (11)$$

где пределы интеграла определены согласно формуле (1): при $l = 0$, $p = 1$, при $l = 90^\circ$, $p = y$.

Из [4] приближенно получается

$$w = 2D(1 - 2D)^{-1} \frac{(0.7A)^2}{(0.7A)^2 + f_0(m)}, \quad (12)$$

где принимаем $D = 1$ (период), а $f_0(m)$ определенная функция от звездной величины.

Мы видели, что нет корреляции между A и p , а также между A и y , следовательно, можно A принять постоянным и вывести его из-под интеграла

Из (12) получим:

$$w = c \arcsin y \left(1 - \frac{2}{\pi} \arcsin y \right). \quad (13)$$

Согласно формуле

$$dl dp = \begin{vmatrix} \frac{\partial l}{\partial y} & \frac{\partial l}{\partial p} \\ \frac{\partial p}{\partial y} & \frac{\partial p}{\partial p} \end{vmatrix} dy dp \quad (14)$$

$$\text{имеем } dl = \frac{\partial l}{\partial y} dy, \text{ так как } \frac{\partial p}{\partial y} = 0. \quad (15)$$

Из (15) находим

$$\frac{\partial l}{\partial y} = \frac{y \sin^2 l}{\sin l \cos l (1 - y^2)}, \quad (16)$$

а из (1), (15) и (16)

$$\sin l dl = \frac{(1 - p^2)y dy}{(1 - y^2)^{1/2} p^2 y^2}. \quad (17)$$

Из (9a), (11), (13), (17) следует

$$H(y) = \int_0^y \frac{z(p^2 dz)}{1 - p^2 - z^2}, \quad (18)$$

где обозначены

$$z(p) = f(p)(p - p^2) \quad (19)$$

$$H(y) = c_1 \frac{(1 - y^2)^{1/2} e^{-\frac{(p - 0.23)p}{0.06}}}{\arcsin y \left(1 - \frac{2}{\pi} \arcsin y \right)} \quad (20)$$

Из (18), (19) и (20) получим

$$f(p) = e^{-\frac{1}{1 - p^2}},$$

$$\times \frac{d}{dp} \int_0^1 \frac{y(1 - y^2)^{1/2} e^{-\frac{(p - 0.23)p}{0.06}}}{\arcsin y \left(1 - \frac{2}{\pi} \arcsin y \right) \sqrt{y^2 - p^2}} dy \quad (21)$$

Легко видеть, что в подинтегральном выражении главное значение имеют те значения y , которые близки к p , поэтому можем написать

$$\int_0^1 \frac{y(1 - y^2)^{1/2} e^{-\frac{(p - 0.23)p}{0.06}}}{\arcsin y \left(1 - \frac{2}{\pi} \arcsin y \right) \sqrt{y^2 - p^2}} dy \approx$$

$$\approx \int_p^{p + \Delta p} \frac{y(1 - y^2)^{1/2} e^{-\frac{(p - 0.23)p}{0.06}} dy}{\arcsin y \left(1 - \frac{2}{\pi} \arcsin y \right) \sqrt{y^2 - p^2}} \approx$$

$$\approx \frac{c_2 p (1 - p^2)^{1/2} e^{-\frac{(p - 0.23)p}{0.06}}}{\arcsin p \left(1 - \frac{2}{\pi} \arcsin p \right) \sqrt{1 - p^2}}. \quad (22)$$

где Δp — очень малая величина, c_2 — постоянная величина.

Из (21) и (22) получим

$$f(p) = \frac{ce^{-\frac{(p - 0.23)p}{0.06}}}{(1 - p^2)} \left| \frac{p^2(1 - p^2) \left(1 - \frac{2}{\pi} \arcsin p \right)}{\arcsin p \left(1 - \frac{2}{\pi} \arcsin p \right)} \right|^2$$

$$\times ce^{-\frac{(p - 0.23)p}{0.06}} \times$$

$$\times \frac{\left(1 - \frac{2}{\pi} \arcsin p \right) \arcsin p}{(1 - p^2) \cdot \left[\arcsin p \left(1 - \frac{2}{\pi} \arcsin p \right) \right]^2} \times$$

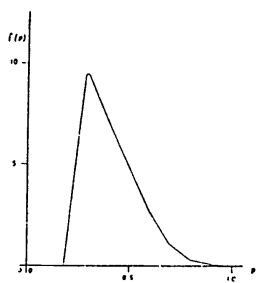
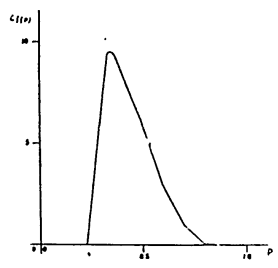
$$\times \frac{\left[\frac{1}{2} p^2 + 3.5 p^4 - 33.3 \frac{1}{2} p^3(1 - p^2)(p - 0.23) \right]}{(1 - p^2) \cdot \left[\arcsin p \left(1 - \frac{2}{\pi} \arcsin p \right) \right]^2} \quad (23)$$

По формуле (23) мы вычисляли таблицу 6 и составили график 5.

Таблица 6

p	0.1	0.2	0.3	0.4	0.5	0.6	0.7	0.8	0.9	1.00
$f(p)$	3.67	1.2415	5.38	3.71	1.82	0.59	0.13	0.022	0.00	

Теперь, если в интегральном уравнении вместо формулы (9a) взять формулу (96), то вместо (23) будем иметь:



$$f(p) = ce^{-\frac{(p-0.04)^2}{0.1}} \frac{p^{\left(1-\frac{4}{\pi} \arcsin p\right)}}{\left[\arcsin \left(1-\frac{2}{\pi} \arcsin p\right)\right]^{\frac{1}{2}}} - ce^{-\frac{(p-0.04)^2}{0.1}} \frac{\arcsin \left(1-\frac{2}{\pi} \arcsin p\right)}{(1-p^2)^{\frac{1}{4}} \left[\arcsin \left(1-\frac{2}{\pi} \arcsin p\right)\right]^{\frac{1}{2}}} \times$$

$$\times \frac{\left[1-4p^2-20(p-0.04)(1-p^2)\right]}{(1-p^2)^{\frac{1}{2}} \left[\arcsin \left(1-\frac{2}{\pi} \arcsin p\right)\right]^{\frac{1}{2}}}. \quad (24)$$

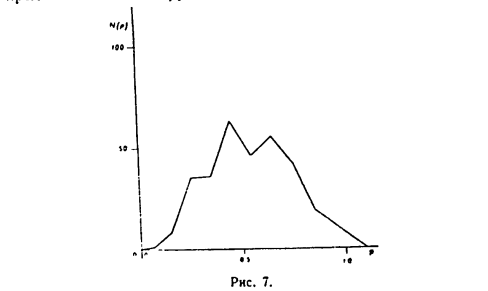
По этой формуле получены табл. 7 и график 6.

Таблица 7

p	0.1	0.2	0.3	0.4, 0.5	0.6	0.7	0.8	0.9
$c_1(p)$	-7.11	1.27	9.38	7.12, 4.88	2.58	1.05	0.32	0.09

4. ФУНКЦИЯ $I(p)$ ТЕСНЫХ ДВОЙНЫХ ПО НЕПОСРЕДСТВЕННЫМ ОПРЕДЕЛЕНИЯМ ЗНАЧЕНИЙ p

Функцию распределения тесных двойных по p можно получить из данных наблюдений, пользуясь функцией распределения тех обнаруженных затменных переменных непосредственно по p , для которых известны элементы орбиты.



Из данных каталога Казанской обсерватории, для обнаружения затменных переменных, получены табл. 8 и график 7, где N —число звезд.

Таблица 8

P	0.00–0.10	0.11–0.20	0.21–0.30	0.31–0.40	0.41–0.50
N(p)	1	8	35	36	63
P	0.51–0.60	0.61–0.70	0.71–0.80	0.81–0.90	0.91–1.0
N(p)	46	55	42	19	4

Рассуждая таким же образом, каким рассуждали при выводе формулы (11), получим уравнение (25), откуда легко определяется функция распределения тесных двойных по p :

$$N(p) dp = c \int_0^p \sin \text{d}l f(p) p d\omega dy. \quad (25)$$

Имеем:

$$dy dl = \begin{vmatrix} \frac{\partial y}{\partial l}, & \frac{\partial y}{\partial p} \\ \frac{\partial l}{\partial l}, & \frac{\partial l}{\partial p} \\ \frac{\partial y}{\partial y}, & \frac{\partial y}{\partial p} \end{vmatrix} dl dy.$$

откуда, пользуясь (1), получим:

$$dl = \frac{\partial l}{\partial p} dp = \frac{\frac{\partial \varphi}{\partial p}(l, p) dp}{\frac{\partial \varphi}{\partial l}} = -\frac{p dp}{(y^2 - 1) \sin l \cos l}. \quad (26)$$

Из (1), (25) и (26) получим:

$$N(p) = c f(p) p^2 \int_0^p \frac{\left[\arcsin y \left(1 - \frac{2}{\pi} \arcsin y \right) \right] dy}{\sqrt{1-p^2} \sqrt{p^2-y^2}}. \quad (27)$$

Учитывая, что главное значение подинтегральной величины получается при $y = p$, получим:

ФУНКЦИЯ РАСПРЕДЕЛЕНИЯ ТЕСНЫХ ДВОЙНЫХ ЗВЕЗД 87

$$N(p) = c f(p) p^2 \frac{\arcsin p \left(1 - \frac{2}{\pi} \arcsin p \right)}{\sqrt{1-p^2}} \int_{p-\Delta p}^p \frac{dy}{\sqrt{p^2-y^2}},$$

откуда

$$f(p) = \frac{c_2 N(p) \sqrt{1-p^2} / \sqrt{p}}{p^2 \arcsin p \left(1 - \frac{2}{\pi} \arcsin p \right)}. \quad (28)$$

Пользуясь формулой (28) и табл. 8 для функции $f(p)$ получаем табл. 9 и график 8.

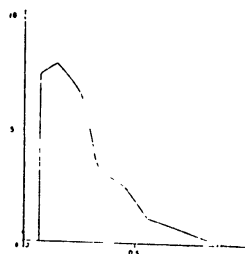


Рис. 8.

P	0.07	0.15	0.25	0.35	0.45	0.55	0.65	0.75	0.85	0.95
c f(p)	7.46	8.00	6.72	3.20	2.54	1.16	0.81	0.40	0.12	0.01

Как видно, графики 5, 6, 8, полученные для функции $f(p)$, в общем похожи друг на друга и показывают, что функция $f(p)$ в некотором интервале $0 < p < p_1$ равна нулю, в интервале $p_1 < p < p_{\max}$ возрастающая а в интервале $p_{\max} < p < 1$ – убывающая. Причем p_1 и p_{\max} на разных графиках имеют различные значения. Эти различия между первыми двумя

случаями малы и объясняются тем, что виды интерполяционных функций и u_{\max} были взяты разные, а в третьем случае наряду с другими причинами объясняется и тем, что в данные для $N(p)$ не вошла часть звезд, входящая в $N(y)$.

Исходя из этих трех графиков, функцию $f(p)$ для тестовых пар можно представить в виде:

$$f(p) = c(p - 0.05)e^{-\frac{(p - 0.05)^2}{0.1}} \quad (p > 0.05). \quad (29)$$

Возрастающая часть этой функции, где $a_1 > a_2$ значительно меньше, чем a , представляет собой закон Эпика, который выражается формулой

а убывающей часть этой кривой выражается формулой

© 2019 Kuta Software LLC

ՆԵՐ ԿՐԿՆԱԿԻ ԱՍՏՂԵՐԻ ՌԱՋԵՄԱՆ ՅՈՒՆԿՑԻԱՆ, ԸԱՏ ՆՐԱՆՑ
ԿՈՄՊՈՆԵՆՏՆԵՐԻ ՀԱՐԱԲԵՐԱԿԱՆ ՇԱԽԱՎՈՂՆԵՐԻ ԳՈՒՄԱՐԻ

Ա Մ Պ Ի Ռ Ա Ջ Ա Մ

Նեղոսակ կրիմակի ատագերի համար վիճակաբարական այլայնեցրի բառ կրանց ֆիքիվախան կմիմնաների և օրբորի էկմիմնաների ստացած են մի շարք օրինաչափություններ Ալպան, օրինակ, արդ աստղագերի համար ստացած են բաշխնան վանդակներու հայմանանաների միջև եղած հեռապրոթանձնների, բառ կուտակնաների ստացածն Անեսթրոնների տարրերը թրանձների և այլն:

Արք Փանցիկաները նեղ իդիանի տառերի համար գեղ ստացած Ներաց արածումներ կատար է որոշ զժամանակակից ներաց, քանի որ ներ իդիանի ասույթը համար զհամանելիք առաջ փած փախանակ արք Փանցիկաները, վիտովական ամբաների բարձրագույնության հետանքութ, չեղ ասիս իրավաբար բարձրագույն Փանցիկաները:

Մեր իրավուց ստացված այլ գոմակիան թիվ փառքի արձեկաբների հետապն նախարար է նախարար է, թիվ որոշակի արձեկի ղեկավար նախարար է մարդաբան, ապա պատմ է նախարար է թիվը պատմ նա պատմ է ղեկավարի:

Նախարարի առաջին առող մասը իրենից ներկարանուն է կոչվի որենքը, իսկ իրեղությունը մասը ցույց է տալիս, որ յատ նեղ իրավակի առաջինը թաշմանը փանդիքնան, բայց կոմպոնենտների միջին եղած հասարակությունների նախարար է ի համար առաջ առաջ:

Л И Т Е Р А Т У Р А

1. В. Альбандукин, К статистике двойных звезд А. Ж., 14, 3, 1937
 2. Tartu Observatory Publ., 2a, 1921
 3. Р. А. Сакин, Функция распределения двойных звезд по различиям звездных величин компонент, полученная из статистических данных. Доклады АН АрмССР, XIX, 5, 1954.
 4. Р. А. Сакин. Вероятность открытия затменных переменных. Сообщение Бакинской обсерватории, X, 1952
 5. М. С. Зверев, В. Н. Петрович и другие, «Методы изучения переменных звезд», 1947
 6. Л. О. Ильин. О геометрической вероятности открытия переменных звезд типа Аллена. А. Ж., 1946

Генеральный редактор М. А. Карапетян
БИФ ОИ227 Заказ 273 Изд. 1570 Тираж 900
Корректор Р. А. Штибен
Сдано в производство 12/VI 1958 г. Подписано к печати 30/VII 1958 г.
5 2/4 п. л.
Информация издана АН Армянской ССР, Ереван, ул. Абовяна 124.

POOR ORIGINAL

Lebedinsky A.I.

ON THE REASONS OF VARIOUS ABUNDANCES
OF HYDROGEN IN PLANETS

O.J.SCHMIDT's cosmogonical theory created general premises for explaining various abundances of different elements in the planets. This explanation was given in L.E. GUREVICH's and my article, published in 1950(1).

Shortly the explanation was following. In protoplanetary cloud with great abundance of hydrogen and helium the substances with low temperature of condensation have transformed into dust. The dust component was concentrated in the equatorial plane creating the most flattened out subsystem in the protoplanetary cloud, in other words, creating around the Sun a ring like that of Saturn. Inner parts of the ring heated by the solar radiation might consist of the particles of refractory substances, such as metals, different oxides, etc. In the outer parts the ices of different volatile substances condensed on the particles, making their masses many times greater.

That is why the planets near the Sun have small masses and consist mostly of stones and metals, but the planets of Jupiter group are of great masses and consist of light substances.

Our theory explaining the most sufficient nature of planets led at the first glance to the conclusion that the density of the planetary substances must increase with the greater distances from the Sun. In fact the substance of

POOR ORIGINAL

- 2.

Uramus and Neptune are of smaller density than that of the Jupiter and Saturn. In this report we shall try to explain this peculiarity.

The peripheral parts of the greatly oblate dust subsystem are not heated by the Sun radiation. Only the stars' radiation 10^{-2} erg/cm 2 sec heats these parts of the dust subsystem. This radiation can heat the dust only up to 3°K.

The most intensive source of energy is the friction of large protoplanetary bodies when they go through the dust subsystem.

These large bodies create not greatly flattened out subsystem. The distant gravitational interaction between these bodies is equivalent to elastic collisions. The thickness of oblate subsystem of elastically colliding bodies increase if this process is not limited by the friction. When the friction is not sufficient the eccentricities and the cosinus of the inclinations of orbits reach after some time some stationary value not of great difference from 0,5.

Let us define terms as follows: m - mass, v - velocity, r - radius of the bodies, H - the thickness of the subsystem, and s - the surface density or mass per column of the unitary cross section perpendicular to the equatorial plane.

The terms referring to the dust subsystem will be defined as index "1" and to the large bodies subsystem as index "2".

In column of the unitary cross section large bodies gives small bodies and dust the following energy per second:

POOR ORIGINAL

- 3.

$$C = 0.30 \frac{V_e^3 S_e}{m H_e} r_e^2 \quad (1)$$

where r_e - is the medium effective radius of large bodies in collisions with small bodies.

In the case of gravitational interaction:

$$r_e = \frac{a m_e}{V_e^2} \left[1 + 8 \ell_n \left(1.57 \frac{H_e V_e^2}{a m_e} \right) \right] \quad (2)$$

here a is gravitational constant. In the case of direct collisions $r_e = r_2$. Produced energy e is very roughly determined by formula (1), because we do not know what portion of solid protoplanetary substance was dispersed. In order to define S_e a complicated theory must be needed. The large bodies are broken by direct collisions and their splinters add to the dust and small bodies subsystems. On the other hand the substance of these subsystems is drawn by large bodies. That is why S_e is defined by the complicated dynamic balance.

According to the formula (1) e is in the limits of $0,1 \div 100$ erg/cm²sec for different distances from the Sun. It is sufficient to heat the particles above 5°K but not more than 30°K.

Substance	H ₂	CH ₄	OH	HCl	H ₂ S	NH ₃
Evaporation energy in ev	0,61	0,10	0,17	020	0,22	032
Temperature of evaporation °K	6	32	47	65	74	93

POOR ORIGINAL

Table I for the most volatile substances with hydrogen gives the temperatures under which saturated vapour has for hydrogen the density 10^{12} molecules per cm^3 and for other substances 10^{10} cm^{-3} . Practically these may be the temperatures of evaporation of these substances in the protoplanetary cloud.

This table shows that all the substances except hydrogen may be condensed. That is why the planets get the molecular hydrogen only by accretion of the gas subsystem. The difference of the gas from the solid particles is that it can be transported filling the vacuum created by accretion or falling on to the Sun surface.

These conditions are favourable for the Jupiter and Saturn to get the gas from the zones of other planets.

Under the same other conditions the accretion is proportional to $R^{-7/2}$, where R is the distance of the planet from the Sun.

Besides the sufficient dependence of arretion on the planetary mass the following important fact must be taken into consideration.

During all the time of formation the planet moved inside of the dust subsystem where the gas temperature was very low and the gas density was respectively high.

Without taking into consideration this condition we take for Jupiter the time scale of accretion of order 10^9 years and for Neptune - 100 times greater. The correct calculation must give probably the time scale one order less.

The absence of considerable quantities of hydrogen in the planets of the Earth group may be caused by several

POOR ORIGINAL

- 5.

reasons.

One of them is that the high temperature of the gas near the Sun might make the hydrogen accretion impossible. Then as a result of the small masses of planets the accretion might be compensated by dissipation. May be also that the hydrogen had disappeared by the time when the masses of the planets in the Earth group became sufficient for the accretion.

Effect of density decreasing with distance from the central body is observed not only for the planets of solar system but also for Jupiter satellites. In this case sufficiently high temperature of the Jupiter's surface during all time of satellite formation, as it was suggested by W.A. KRAT, lead to quantitative contradiction. Most natural explanation of this phenomenon may be the hypothesis that in the region near Jupiter solid particles were warmed by collisions and all volatile substances became gases.

The escape velocity from this region was so great that all products of the evaporation could not leave Jupiter and fell on its surface. The escape velocity of the formed Jupiter satellites was so small that gas substances did not become the contents of satellites and that was the reason of their high density.

1. Л.Э.Гуревич и А.И.Лебединский. Известия Академии Наук СССР, серия физическая, 14, стр.765-99, 1950.

POOR ORIGINAL

A.I.LEBEDINSKY

SIMCHRONOUS AURORA REGISTRATION BY ALL SKY
CAMERA C-180° AND PATROL SPECTROGRAPH C-180°-S.

The most part of Soviet aurora instrumental stations was set up by the beginning of the IGY. The stations were provided with new specially produced equipment including 40 identical all-sky cameras C-180° and 10 patrol spectrographs C-180°-S.

Ten years ago I came to the idea of using spherical mirrors for obtaining all sky photography and spectrography of every meridian. We conducted first experiments in Murmansk in March, 1949, independently from the similar work of the American scientists. The principle of all-sky camera was first used by Prof. Cartlein in 1947. But his article published in National Geographic magazine was unknown to many scientists article

The all-sky camera became widely known under the name Heney-Grenshtein camera after publishing the article in 1950, the authors of which might not know like me about prof. Cartlein's work.

During the winter of 1949-1950 all sky photography was carried out at two stations near Murmansk and spectrography of the meridian at one of them. The spectrograms obtained during the first experiments in March, 1949 were published by S.S. Juravlev and the later ones were partially investigated and published by S. I. Isaev.

Modern all sky cameras C-180° and patrol spectrographs C-180°-S differ from their prototypes of 1949 by considerable improvements. It concerns especially patrol spectrographs. In 1949 they were slitless. The modern two-mirror system made it possible to create a normal 180° slit spectrograph, which obtains the spectrum of individual aurora rays like a slitless spectrograph with short exposure (1-2 minutes for the four brightest lines).

These C-180° camera gives a 20 mm diameter anastigmatic image on a 35 mm film. They have effective focal ratio 1/1.5 and equivalent focal length 7,65 mm.

POOR ORIGINAL

- 2 -

The camera operator in a diotant room sets in operation a ten minute programme which is repeated automatically. Within this ten minute programme various exposures and intervals between them are possible. A coordinate grid and a watch are photographed on each photo at the start of the exposition. The correction of the watch, relative to a chronometer is made automatically every full hour of G.m.T. or more friguently. Every night the date is photographed. On each 60 m piece of film the standard scale of brightness is photographed by the laboratory sensitometer. The film mechanism are thermostated for the operation at low temperature.

Twenty Soviet stations in addition to all sky cameras are equipped with automatic zenith cameras with objectives "Jupiter 3" (focal ratio 1/1.5, focal length 52.5 mm) for photographing the regions of the magnetic zenith.

The patrol spectographs are designed for the visible part of spectrum and have a dispersion of 240 Å/mm. They are a modification of cameras C-180° but they have two differences: first, before the objective "Jupiter 3" there is a diffraction grating with 600 lines per mm and the angle of incidence 67°, second, in the focal plane of a concave mirror there is a slit with of chengable width cutting the needed vertical from the all sky image. The station which has a patrol spectograph has a zenith camera and an all sky camera.

All this equipment was designed at one of the plants by the group of engineers headed by V.I.Shtannikov.

I shall not go into details of mechanical properties of this equipment because they are fully described in a special book, but I want to dwell on the optical principles because it seems to me that the aberrationless system was first used in our all sky cameras.

In figure 1 there are two versions of an anastigmatic all sky camera.

In figure 1a a pencil of parallel rays reflected first by the convax mirror S_1 and then by the concave mirror S_2 forms the real image F and fills the objective O_1-O_2 consisting of two parts: the collimator objective O_1 and the usual "Juvipter 3"

POOR ORIGINAL

- 3 -

high aperture objective O_2 . The all sky image F is at the principle focus of objective O_1 and the film is at the principle focus of O_2 .

On figure 1 the focal surface of the imaginary image for sagittal and meridional pencils of rays is shown by dotted lines. The distance between them is so great that when taking direct photos of this image (as it is made in usual cameras), the stars' images near the horizon are not points. If the all sky image is $d = 20$ mm the stars' image will reach 0.2-0.3 mm but if $d = 8$ mm the stars' image will be 0.03-0.04 mm. The spherical aberration and coma are of no importance in this case as the pencils of rays are sufficiently narrow.

If $l_s = l_m$ the astigmatism of the real image F in the focus of the mirror S_2 nearly disappears, but the curvature of the surface F is considerably great. Here l_s and l_m are the distances from the mirror to sagittal and meridian focus respectively. These distances are measured along the ray crossing the center of the objective $O_1 - O_2$.

Let us define terms as follows: h - distance between the tops of the mirrors S_1 and S_2 , R_1 and R_2 - their radiuses of curvatures, D_1 and D_2 - their effective diameters. Then we can write $\frac{l_m}{l_s} = 2 \frac{R_1}{R_2} \frac{1}{\cos I_2} - \left[\frac{z}{R_1} + \frac{1}{2} \cos I_1 \right]^{-1}$
 $\frac{l_s}{l_m} = 2 \frac{R_1}{R_2} \cos I_2 - \left[\frac{z}{R_1} + \frac{1}{2} \frac{1}{\cos I_1} \right]^{-1}$

I_1 and I_2 - the angles of reflection from the mirrors S_1 and S_2 for the ray crossing the center of the objective $O_1 - O_2$. If $D_1 = 400$ mm under the condition that $l_s = l_m$ we have $D_2 = 120$ mm, $R_1 = 473$ mm, $R_2 = 132$ mm and $h = 272$ mm.

Choosing various R_1 , R_2 and h we can transform the surface F into a plane with sufficient accuracy, but the astigmatism in this case is not completely corrected. In this case $D_1 = 400$ mm, $D_2 = 200$ mm, $R_1 = 373$ mm $R_2 = 291$ mm and $h = 517$ mm. This formula was calculated by Mrs. A.V. Balanina under the direction of Prof. G.G. Slusarev. The correction of the lens L is not needed in this case.

POOR ORIGINAL

- 4 -

In order to transform the all sky camera C-180° into the patrol spectograph we must put the refraction grating into the parallel rays between objectives O₁ and O₂ and a slit on the focal surface F. It is possible because all the rays falling on the objective O₁ cross the optical axis of the mirror system near the focal surface F. The cross section area of the useful rays bundles in the focal surface F is not great. It is minimal when the distance along the rays from the top of the convex mirror to the objective is R₁. In this case the real decreased

$\frac{1}{2}$
image of the objective is projected onto the focal surface F. This principle is used in C-180°-S.

Figure 2 gives the slitplane of the patrol spectograph C-180°-S. The rays go up through the 20 mm hole in the center of the diaphragm and when reflected by the concave mirror form real sky image of 125 mm diameter on the upper surface of diaphragm. The hole is fully covered by that part of the sky image which is shaded by the concave mirror. A great circle is cut out of the all sky image which is directed 22° to the optical axis of the mirror. This circle coincides with the vertical because the camera is directed 22° from the vertical (as can be seen on figure 3). The rotation of the apparatus changes the azimuth of the meridian.

Figures 7-11 give some sky films and figures 12-15 show spectra taken by C-180°-S.

During the winter of this year I managed to visit ten arctic stations. I saw that inspite of some difficulties of the exploitation of such complicated automatic apparatus in severe conditions of arctic winter they are working without interruption. The development of the films is carried out in Moscow and about 20 000 meters of film were developed, though most of the stations began their work some months after the beginning of the observation season.

The greatest difficulty in the work of the net of the aurora stations is the provision of synchronized exposures and photometric standardization of all the films. The maximum attention was paid to this side of the work. Both the time

POOR ORIGINAL

- 5 -

corrections and photometrical standards are fixed on the films by two independent methods. The development of films is carried out under standard conditions. All the stations use the same kinds of film ("Negative D_H"). The most important difference between films follows from the different times of storage.

As the main task of the IGY is the investigation of the auroral world distribution a special projector was constructed. This apparatus gives the possibility to project simultaneously on one great screen all sky photographs received from 18 stations and a geographical map. The centers of the all sky photographs coincide on the screen with the geographical points of the map where the films were taken.

POOR ORIGINAL

V.I.KRASSOVSKY, Y.M.KUSHNIR, G.A.BORDOVSKY, G.F.ZAKHAROV
AND E.M.SVETLITSKY.

Institute of Physics of Atmosphere
Academy of Sciences of the USSR

A DISCOVERY OF CORPUSCULE FLUXES BY MEANS OF THE
THIRD SPUTNIK.

S U M M A R Y

1. With the object of discovering corpuscles the third Soviet Sputnik has been equipped with two indicators having fluorescent screens covered with aluminium foils of different thickness and photoelectronic multipliers which register the radiation from the fluorescent screens. The fluorescent screen is of $2 \cdot 10^{-3}$ gr cm $^{-2}$, the foil is of $4 \cdot 10^{-4}$ gr cm $^{-2}$ and $8 \cdot 10^{-4}$ gr cm $^{-2}$.

2. The intensive signals from corpuscles going through the mentioned above aluminium foils have been registered. The intensity of signals strongly varied. The more Sputnik removed from the Earth the more the intensity grew and it was the greatest in the most removed points. It was also greater in the Polar regions than in the Equator ones. Sometimes the signals happened to increase or, on the contrary, to decrease and there were moments when the signals went off scale of the instrument.

3. The corpuscles registered are electrons of 10^4 ev. At the moment when the signals were off the scale the energy flux associated with the corpuscle fluxes reached $4 \cdot 10^3$ erg sec $^{-1}$ steradian $^{-1}$ cm $^{-2}$.

4. The electrons observed can't be a part of the primary corpuscle radiation of the Sun, since their velocity is too great as compared to the hydrogen corpuscles observed in auroras. These electrons seem to arise in electroconducting

POOR SIGNAL

- 2 -

circuits along the magnetic force lines in the outer atmosphere and in the lower layers effected by the magnetic fields freezed into the corpuscules fluxes of the Sun or interplanetary gas passing by the Earth. Acquiring a certain speed the electrons can oscillate along the crooked magnetic lines.

5. The same as a direct effect of the fast electromagnetic and corpuscle radiation of the Sun the mechanism like that can be conductive to the heating and ionization of the upper atmosphere.

POOR SIGNAL

EVLASHIN, L.S.

THE FIRST RESULTS OF INVESTIGATIONS OF AURORAS ON THE SPECTRUM CAMERA C - I80 - S DURING THE IGY.

Annotation : During the season of 1957 - 1958 in MD NIZMIR ($\phi = 64^\circ$) on the spectrum camera C-I80-S, dispersion 260 Å/mm , the light power of the camera I: 1.5, the width of the picture of a chink (split) in a focal plane of the camera objective $-33-200\text{A}$. More than 2500 spectrums in a visual plane were obtained for 125 working days.

Space-time variations of main emissions of auroras and twilights were studied : H α , $1P\text{H}_2$, 6300, 6364, 5893, 5577, 4708, 4278 and 3914 Å . The presence of hydrogen lines H_α and H_β was revealed in homogeneous quiet arcs, diffusive strips, stops, in hardly visible veil during magnetic-disturbed and calm time. With the transformation into ray forms, hydrogen radiation disappears, and sometimes it is observed in "afterglow". Hydrogen radiation is absent in red glow. The correlation of hydrogen emission with a green oxygen line is observed. The results of recording H_α on the camera were controlled by the spectrograph C/1-46. In the twilight of 19-20 of September, 1957 a flash of the line 5577 Å was observed.

The spectra of satisfactory quality in heavy clouds and in full moon which successfully complete the data of photocamera C-I80, were obtained.

During autumn, winter and spring of 1957-1958 in a Mursmanns Department of NIZMIR on a spectrum camera C-I80 - S of prof. Lebedinsky's design during 125 working days more than 2500 spectra were got.

The installation was built on the basis of the photocamera C-I80, which prototypes were described in literature (I) and is designed for obtaining all visible part of spectrum of the arc of the vertical of the length of 180° . on every photo. Fig. I presents a general view of the camera.

The transformation of the mirror system of the photocam-

POOR ORIGINAL

- 2 -

The chink of the camera was oriented by the geomagnetic meridian. Its picture of a film comprised 200_h, that corresponds to the strip of the sky to the width of 4°. Alter-nation of two and ten. minute expositions was provided. The photo was carried out on the film, A_{H} Since February 1958 on day before filming the colouring of the film was fulfilled the density of diming of colouring is 0.30.

In the most cases on spectrograms with the exposition of 10 minutes the main lines of radiation 6300, 6364, 5577, 4278, 3914 Å⁹⁹ are of more or less equal intensity on the overall length (fig.2). This manifests that a part of light energy due to bright forms in comparison to diffusion glow, which fills up all the firmament is not great. However, using very short expositions, a number of interesting spectra of separate forms of radiation was possible to be obtained. Fig.3 presents the spectrum of a red crown, photographed with two-minute exposition over the night of the 31st of March till the morning of the 1st of April 1958.

Comparatively high dispersion and light-power of the device allow to investigate space-time variations of not only main lines but also hydrogen emission H_α.

Some investigations report that H_α is revealed in a spectrum of ray forms and is absent in non-ray forms and is absent in non-ray forms, correlating with oxygen doublet

$\lambda = 6300-6364 \text{ Å}$ (2.3). Others, vice-versa, point out the systematic presence of hydrogen lines in calm, non-ray arcs, and with the transformation into ray forms H_α disappears (4,5). The third group of investigators finds intensive H_α in all forms of glow both in ray and diffusion ones. At last H_α is noticed in "after-glow" in the phase directly following bright forms (?). The results obtained are explained not only by various displays of hydro-

POOR ORIGINAL

gen emission but also by the difference of methods of observation and the apparatus used.

During the season of 1957-58 in MD of MIZMIR hydrogen radiation was revealed by the camera C-I80-S during 29 nights. The registration of hydrogen radiation on C-I80-S was for some time controlled by light powerful spectrograph of high dispersion. Cn -48. The exposition varied within 20 minutes to 3 hours. The results of observation II , obtained on Cn-48 and C-I80-S exceedingly well correspond to each other. Visual observations of weak diffusive forms were pursued with the filter OC-12.

Most cases H_λ appearance refer to the days of great and moderate magnetic disturbance, however there are some nights when intensive H_λ appears in a slightly-disturbed or in almost calm period (I6 - I7 II.58).

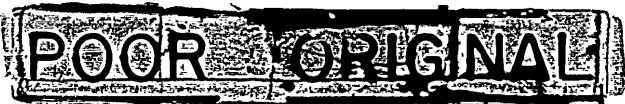
At the same time on the days characterized by great magnetic disturbance (C =2) one cannot observe some visible hydrogen radintion (23-24 IX.57). Hydrogen lines are revealed only in calm, non-ray arcs of green colour, diffusivo lines, spots and hardly visible glow: Most of all H_λ appears in the south half of the sky (fig.4) however it can be observed both in the north (fig.5) and all over the firmament (fig.6). The character of development and the time of hydrogen radiation existance are very various. On the I6th to the I7th of Feb - ruary I958 in twilight H_λ existed all over the sky, at middle night from time to time if increased in the south, and at dawn the radiation was concentrated only in the north.

Most nights, when bright ray forms were obsorved, were marked by the presence of hydrogen emissions, however 40% of nights were without visible appearance of hydrogen radiation. Under the scrutiny of the data obtained (spectrograms for September, Octobor, November I957 are compared with the photos of photocamera C-I80) one can observe discrepancy between the period of the existance of hydrogen radiation and the dovelopment of bright ray forms. If during diffusive glow a great H_λ is observed, then with the appearance of bright

POOR ORIGINAL

- 4 -

ray forms; when almost all main emissions increase, hydrogen radiation decreases sharply and then with the transformation into calm diffusive forms, it again appears as a rule (2I-22 XI - 57; 10-II.III.58; 24-25.III.58). However are some cases when after a bright flash, hydrogen radiation is not observed, while before the appearance of ray forms when there are no traces of glow for a naked eye, an intensive H_A is registered (II- I2.XII.57). On the days of increased activity of auroras, when during a night two bright flashes of ray forms were recorded, the appearance of hydrogen is always connected with diffusive glow before bright forms, between flashes, after them, but it is never recorded during a flash itself (3 ~ 4.III.58). Analogous picture is observed with the appearance of red glows (rays, arcs, crown). One half of cases, when a red glow was observed, passed without the appearance of hydrogen radiation on this night. The other half is always characterized by discrepancy of the appearance of hydrogen emission with red glows either in time or in space. Red glows of the type A were observed when the lines of the first positive system of nitrogen are absent (fig.7) and the cases of the sharp increase of the lines both all over the sky and of local character corresponding to the low red edge of the arc. In all these kinds of glow hydrogen is not revealed though sometimes on the same night H_A is seen either before the appearance of red glows (10 - II.VII.57, 10-II.IV.58) or after their disappearance (II-I2.II.58, 22-23.II.58, 3I-III- I.IV.58). Sometimes hydrogen radiation is observed during the appearance of red glows, but it appears by all means in that part of the sky, where diffusive glow of red colour is observed (27-28.XI.57). A special case represents a glow observed on the 10th to 11th of February 1958 when for a long time an intensive red glow existed all over the sky in the form of a glow in the south, wide lines in the zenith, long rays of red and green colour. A strong hydrogen radiation was recorded. H_A is visible on the photos with the exposition of 2 minutes. At the beginning of the development of aurora= when H_B achieved



its maximum value, the ratio of intensities of oxygen lines of 6300 Å and 5577 Å is equal to a unit, at the end of the night, when H_B disappeared, $I_{6300} : I_{5577}$ was equal to 10. The increase of ratio grew both due to the sharp decrease of intensity of lines 5577 Å and to the visible increase of intensity of a red line. Simultaneously with this at the end of night anomalous widening of the strips of the first negative system of nitrogen was observed.

The similar correlation of hydrogen emission with a green line was observed on the night of the 2^d to 3^d of September 1957, when in the south, where hardly visible diffusive glow existed, intensive hydrogen radiation was recorded. At the moment of the beginning of observations (intensive H_x and visible H_B), the correspondence of intensities /0/ 6300 Å to /0/ 5577 Å was equal to 0.5 in two hours when hydrogen radiation disappeared, the correspondence of intensities was 3. The change of the correspondence in six times was due to sharp decrease of intensity of the line 5577 Å while the intensity of red oxygen lines does not change.

The filming on the camera C-180-S was made during all dark time, including twilight, in any state of clouds when there was no precipitation, able to harm somehow a low mirror.

Photographing of spectra of twilight was made as a rule with a comparatively narrow chink (33 Å) - on a film with the exposition of 5 minutes. Interpretation of spectrograms obtained in the zone of maximum repetition of auroras is very difficult, as it is practically impossible to fix the time of the beginning and end of aurora. With confidence it is possible to judge about a twilight effect only by variations of a yellow line of sodium. A typical case of a twilight flash is presented in figure 9. For the whole season of 1957-1958 there was only one night on the 19 to 20 September ($C=0$), when even through the filter OC-12 it was impossible to catch a visible aurora on the sky excluding far north. The obtained series

POOR ORIGINAL

of spectra vividly illustrates the existence of diffusive glow in the north and complete absence of any signs of aurora in the largest part of the sky. In twilight in the morning and evening usual flashes are registered; flashes of red oxygen lines, D-lines strips 3914 \AA . The same effect was revealed in the oxygen line 5577 \AA . The character and the size of this flash are analogous to the flash 6360 \AA . Probably, a twilight effect of a green oxygen line in high latitudes is not an exception.

The photographing on the camera C-180-S with 10 minute exposition with complete clouds is always marked by the appearance of oxygen lines 6364 \AA and 5577 \AA , and in one half of the cases by the presence of the strips of the first negative system of nitrogen. A spectrum of satisfactory quality is obtained in full moon when visual and photographic observations of the weak forms of radiation are almost impossible. The usage of the data of patrol spectrograph in this case fills up the gap which arouses quite naturally while working with the photographic camera C-180.

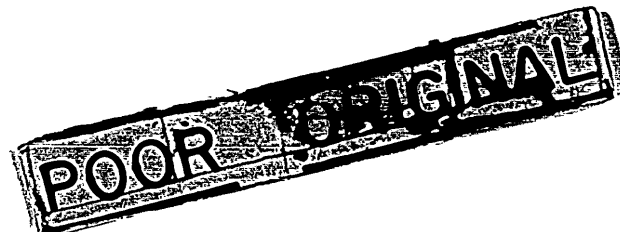
A more detailed analysis of spectra and their comparison with other geophysical phenomena will be given in the next work.

POOR SIGNAL

- 7 -

INSCRIPTIONS TO THE DRAWINGS

- Drawing 1. The general view of the camera C-180-S
Drawing 2. The typical spector of the aurora, received on the
camera C-180-S (18-19 XI.57)
Drawing 3. The red crown (31 III-1 IV 58) 2 min exposition.
Drawing 4. H - preferable in the South 25-26 III.58
10 min exposition
Drawing 5. H - in the North (16-17 II 58) 10 min exposition
Drawing 6. H - troughout the whole Sky (16-17 II 58)
10 min exposition
Drawing 7. The a type red glow. A slout is directed upon the
glowing arc from E to W (28-29 X 57) 10 min exp.
Drawing 8. The highly developed the first positive system of
nytrogen (22-23 II-58) 10 min exp.
Drawing 9. The typical spector of the twilight 5 min exp.



THE CITED LITERATURE

1. Lebedinsky A.I. DAH, 102, 3, 473, (1955)
2. Vegard L., Ann Geophys., 8, 91, (1952)
3. Vegard L., Nature, 170, 559 (1952)
4. Fan C.Y., Schulte D.H., Astrophys J. 120, 563, (1954)
5. Meinel A.B., Proc. Nat. Acad. Sci., 40, 943, (1954)
6. Galperin J.I. Astron. J. 34, 1, 131, (1957)
7. Veller A.E. The minutes of the reports of XI General Assembly
of the Geodesical and Geographical Union.
The Akademy of Sciences Moscow 1957 pp.36-37

POOR ORIGINAL

ON HYDROGEN EMISSION IN THE NIGHT CLOUDS

by I.S. Shklovsky

At the Zvenigorod Station of the Institute for Atmospheric Physics an H_δ line has been discovered recently in the night sky spectrum without any appreciable geomagnetic disturbance (1). Another feature of this H_δ line is its narrowness. Its breadth does not exceed the instrumental breadth, i.e. lies within $\pm 2\lambda$. From this the scatter of the radiating hydrogen atoms' velocities will be found to be $|\Delta v| < 50$ kms per second. On the other hand, the breadths of H_α line in auroral spectra are known to attain tens of angstroms, and the scatter of velocities of the radiating atoms (for observations in the magnetic horizon) attains some hundred kilometres per second.

It will be obvious that the H_δ emission observed at Zvenigorod may differ essentially from the hydrogen emission of auroras. We are inclined to connect this Balmer line with the diffuse Ly_α emission of the night sky, observed recently at high altitudes (2).

According to (2), the average intensity of the diffuse Ly_α radiation coming from the upper hemisphere, at heights starting with 120 kms, is

$$(2) \quad I_{Ly\alpha} = 3.2 \cdot 10^{-3} \frac{\text{erg}}{\text{cm}^2 \text{ sec. steradian}} = 2 \cdot 10^8 \frac{\text{photon Ly}\alpha}{\text{cm}^2 \text{ sec. steradian}}$$

As has been emphasised in (2), the observed Ly_α radiation is most likely to be due to interplanetary gas. Nevertheless no preference has been given in (2) to either of the two possible hypotheses on the origin of Lyman's emission of the interplanetary gas, viz., (a) recombination of protons and free electrons, (b) scattering of solar Ly_α quanta by interplanetary neutral hydrogen atoms. It is easy to see however that hypothesis (a) is quite untenable. Suppose that the concentration of free electrons in the interplanetary space is $n_0 = n_1$, where n_1 is the concentration of protons. Then we can make use of the well-known formulae from the theory of light emission by gaseous nebulae and determine n_e when

POOR ORIGINAL

- 2 -

\bar{I} and the extension of the radiating region \mathcal{E} are known. Putting $\mathcal{E} = 10^{15}$ cm, we find that $n_e \sim 2 \cdot 10^4$ cm $^{-3}$. But this concentration of free electrons in the interplanetary space seems impossibly high and is strikingly at variance with the photometric and polarization observations of the zodiacal light.

By far more effective is the mechanism of resonance scattering of solar Lyman quanta on interplanetary neutral hydrogen atoms. In this case the concentration of the latter, n_H , can be determined from the relation

$$\frac{I}{L_\alpha} \frac{1}{4\pi} n_H \nu_{12} u_{21} w \cdot \mathcal{E} = \frac{\mathcal{E}}{4\pi} n_H \nu_{21} \frac{c_2}{c_1} e^{-(h\nu_{12})/(kT)} \quad (2)$$

Here ν_{12} is the frequency of the Lyman line, $w = 6 \cdot 10^{-6}$ is the dilution coefficient, $c_2/c_1 = 4$ is the ratio of statistical weights, and T can be determined if the flux of solar Lyman quanta and the profile of the solar Lyman line are known.

According to the observations reported in (3), the flux of solar Lyman quanta varies within a rather wide range, viz., from 0.1 erg/cm 2 sec. to 5 erg/cm 2 sec., being apparently correlated with solar activity. A month before the flight of the rocket by means of which Lyman emission in the night sky was investigated, day-light rocket measurements of the flux of direct solar Lyman radiation had given $F_{Ly}^0 = 0.6$ erg/cm 2 sec. (3) On this basis we put $F_{Ly}^0 = 0.5$ erg/cm 2 sec. in further calculations. On the other hand, the breadth of the solar Lyman line is $\Delta\lambda < 0.3 \text{ \AA}$ (4). Making allowance for the high thermal velocities of the hydrogen atoms and for turbulent velocities in the upper chromosphere (wherefrom apparently the solar Lyman is radiated), we find that the breadth of this line is hardly below 0.15 \AA . Taking 0.2 \AA for the true value of the breadth of Lyman in the sun's spectrum, and putting $F_{Ly}^0 = 0.5$ erg/cm 2 sec, we find $T \sim 7000^\circ$ for the equivalent temperature. Substituting this value of T in (2) gives $n_H \sim 0.5$ cm $^{-3}$. Suppose that there is ionization equilibrium in the interplanetary gas and that the flux of solar radiation in the Lyman continuum is ~ 0.3 erg/cm 2 sec.; then, knowing n_H , we can use the formulae of the theory of gaseous nebulae to find that the concentration of ionized hydrogen atoms,

POOR ORIGINAL

- 3 -

which is equal to the concentration of free electrons, will be $\sim 200 \text{ cm}^{-3}$ one astronomical unit away from the sun. This value is much lower than that obtained by Siedentopf and Bohr⁽⁵⁾ from polarization observations of the zodiacal light. So the observed polarization of the zodiacal light appears to be due to dust particles rather than free electrons (see, for instance, ⁽⁶⁾).

Even if the observed diffuse Lyman radiation should be accounted for by some reason other than the interplanetary gas, e.g., by a "geocorona" extending over several thousands or tens of thousands of kilometers (this hypothesis cannot be excluded entirely for the time being), then, all the same, the results obtained in ⁽²⁾ are of exceptional importance for the study of the nature of the interplanetary medium. In this case the values of n_H and n_e found from these observations must be considered as the upper boundary of the content of neutral and ionized hydrogen in the interplanetary space.

If the scattering of solar Lyman quanta by interplanetary (or "geocoronal" - this makes no difference here) neutral hydrogen atoms is the causal mechanism of the Lyman radiation from the night sky, we may expect that other solar Lyman lines, and in the first instance the Ly_β line, will be scattered too. Owing to fluorescence this must lead to a Balmer emission, possibly of an interplanetary origin. Let us estimate this effect quantitatively.

The intensity of the solar Ly_β line, obtained in the rocket flight of February 21, 1955, is $0.01 \text{ erg/cm}^2 \text{ sec.}$, if allowance for absorption by O_2 and N_2 molecules in the higher layers of the atmosphere is made. This is $1/60$ of the Ly_α line intensity. Alongside the absorption of Ly_β by O_2 and N_2 molecules its resonance absorption by oxygen atoms on the transition

${}^3P_2 - {}^3D^0$ should be expected ⁽⁷⁾. If the oscillator strength for this ${}^3P_2 - {}^3D^0$ transition is 0.01 ⁽⁸⁾, we may state from the computations made in ⁽⁷⁾ that the atomic oxygen of the earth's atmosphere will absorb as much as 30% of the Ly_β radiation flux. This gives rise to a fluorescence of the terrestrial atmosphere in lines $\lambda = 8446$ and 11294 Å which can be observed during twilight (see ⁽⁷⁾).

POOR ORIGINAL

- 4 -

Thus the flux of L_B radiation liberated from absorption by the atmosphere is 1/40 of the L_d radiation flux.

Upon the absorption of an L_B quantum an interplanetary hydrogen atom can pass to the second level with the emission of an H_{α} quantum. Let us estimate the number N of H_{α} quanta thereby scattered:

$$N_{H_{\alpha}} = N_{L_d} \cdot \frac{F_{L_B}^0}{F_{L_d}^0} \cdot \frac{\lambda_{31}}{\lambda_{21}} \cdot \frac{g_3}{g_2} \cdot \frac{\lambda_{32}}{\lambda_{32} + \lambda_{31}} \quad (3)$$

N_{L_d} being the number of scattered L_d quanta. Substituting the quantities in (3) by their values gives

$$\text{According to (2), } N_{H_{\alpha}} \approx 3 \cdot 10^{-3} N_{L_d} \quad (4)$$

the flux of L_d radiation from the night sky is $F_{L_d} \approx 10^{-2} \text{ erg/cm}^2 \text{ sec.} = 6 \cdot 10^8 \text{ photons/cm}^2 \text{ sec.}$
Hence the flux of interplanetary (or "geocoronal") H_{α} will be

$$F_{H_{\alpha}} \approx 2 \cdot 10^6 \text{ photons/cm}^2 \text{ sec.} \quad (5)$$

As a matter of fact this value must be several tens per cent higher owing to the scattering of the higher Lyman lines and the subsequent cascade transitions.

Thus the presence of the diffuse L_d radiation in the night glow must necessarily have for its consequence the presence of a weak but yet measurable field of H_{α} radiation. This emission is likely to arise in the interplanetary space, although there is no sufficient argument for the present to refute the "geocoronal" hypothesis. It should be emphasised that our conclusion on the presence of an H_{α} emission does not depend on either "interplanetary" or "geocoronal" location of the scattering hydrogen atoms.

As has been stated above, the flux of solar L_d quanta is variable within a fairly wide range. At the end of 1955 this flux, according to (5), was about 5 erg/cm² sec., which may be connected with increase in the general activity of the sun. In 1957-1958, when the observations at Zvenigorod were being conducted, the general level of solar activity was higher on the average than in 1955. The flux of L_B may also be supposed to be correlated with solar activity. If so, the flux of H_{α} quanta in the night glow can be an order of magnitude higher than

POOR ORIGINAL

- 5 -

the computed value, reaching $2 \cdot 10^7$ photons/ cm^2 sec., or 20 R, and even more, perhaps.

The flux of H_{α} measured at Zvenigorod fluctuated from night to night within 5 to 20 R, which is in fair agreement with the concepts developed above.

An interesting experiment, decisive for the evolved theory, may be suggested. Namely, if the H_{α} emission in the night glow is due to scattering by hydrogen atoms, it should be considerably polarized. The observations which might verify this point are not easy indeed in view of the slight intensity of the H_{α} emission. Still they can be fulfilled.

Institute for Atmospheric Physics
Academy of Sciences of the USSR

References

1. V.S.Frokudina, Astronomical Journal (Moscow), 35 1958(in press)
2. J.E.Kupperian, E.T.Byram, T.A.Chubb and I.H. Friedman (in preprint, N.R.L., 1958).
3. E.T.Byram, T.A.Chubb, H.Friedman and J.E.Kupperian, Astrophys.Journ., 124, 430, 1956.
4. F.S.Johnson, H.H.Malitson, J.P.Purcell and R.Tousey, Astrophys. Journ, 127, 80, 1958.
5. H.Siedentopf, A.Behr, H.Elsasser, Nature, 171, 1066, 1953.
6. L.Biermann, Observ., 77, 11C, 1957.
7. I.S.Shklovsky, Astronomical Journal of the USSR, 34, 127, 1957.
8. A.Omholt, Journ. atm. Terr. Phys., 9, 28, 1956.

POOR ORIGINAL

А. М. ГОРЬКИЙ АДЫНДАКЫ ТУРКМЕН ДЕВЛЕТ
УНИВЕРСИТЕТИНИҢ ҮЛМЫ ЯЗГЫЛАРЫ
УЧЕНЫЕ ЗАПИСКИ ТУРКМЕНСКОГО ГОСУДАРСТВЕННОГО
УНИВЕРСИТЕТА им. А. М. ГОРЬКОГО

Выпуск VI

1935

I. S ASTA
И. С. АСТАЛОВИЧ

ПЫЛЕВЫЕ СЛЕДЫ БОЛИДОВ

Пылевой след метеора представляет собою редкое явление природы. В отличие от газовых следов, видимых только в ночное время, пылевые следы заметны только днем или в сумерки. Они появляются при полете крупных болидов, низко проникающих в атмосферу. На светлом фоне неба, подобно обычным облакам, в зависимости от освещения солнечными лучами, они могут быть и светлыми, и темными. Проектируясь на фон зари, они будут казаться почти черными, если они лежат в тени Земли, либо чрезвычайно яркими, как бы раскаленными, если эти следы освещаются прямыми лучами Солнца на-тек высотах, где они расположены. Если в это время Солнце находится под горизонтом наблюдателя и наступили сумерки, то их свет может быть так ярок, что будет давать тени от земных предметов. Первоначально прямолинейный след под влиянием воздушных течений уже через несколько секунд кажется изогнутым и затем все более и более искривляется, напоминая застывшую молнию, пока его ветра не развеет в стороны. При этом след расширяется, расползается, тускнеет, превращается в одно или несколько бесформенных облачков, иногда вытянувшихся в направлении своего движения, и через полчаса-час, а иногда и через несколько часов, рассеивается совсем.

Первые сообщения с метеорных следах, судя по описанию — пылевых, мы встречаем у китайцев. Прихотливые изгибы следа подорвали у народов Востока представление о небесных драконах, пожирающих Солнце и Луну во время затмений, т. е. в узлах их орбит; эти узлы затем стали обозначать значками искривленного метеорного следа (у и л).

В Ливрентьевской летописи уже под 11. II. 1110 г. описан пылевой след болида. В отношении другого болида с вилемым диском — „яко кругу огненну“ сказано, что его след был „в образе змея великого и стоял по небу с час дневный и разидеся“. При падении Великоустюжских метеоритов 25 июня 1296 г. „о полудне найде внесапу над град Устюг облак темен“, из туч „блестався молнико блестание беспрестанно... огненные же туки хотяху со-ступитися вместе“, после него „разводящеся облаки огнennи на все страны и пондста на места пустынна и тами поломиша на пустыннях многия леса и дебри“.

3*

35



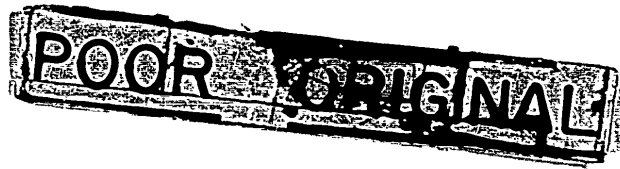
POOR ORIGINAL

многим и бесчисленным камнем поломило лес и дебри омы древеса ис корени избытии, а иные вполы положиша". Мы увидим почти точное описание такой же картины 657 лет спустя при падении Сихоте-Алинского метеорита. В народе яркий пылевой след назывался представлением о возникшей трещине в небосводе ("небо раздвоилось"), сквозь которую проникает "свет неизреченный" по "объяснению" церковных деятелей. В Никоновской летописи, сообщается, что 19 (?) V. 1421 г. произошло падение метеоритов "изо облака", а 29. XI. (9. XII. н. ст.) 1662 г. показалось по небу вин бы молния, небо надвое раздвоилось и потом камение падали с великою яростию великое и малое горячее". Ряд описаний пылевых следов из сибирских летописей 17—18 вв. был приведен проф. Дравертом. В них содержится аккуратное и бесхитростное описание явления, каким оно представлялось глазам очевидцев [1].

1 декабря 1898 г. в Полтаве наблюдался полет яркого болида, оставившего след. В. А. Баласный сделал несколько снимков с него, которые и прислали Русскому Астрономическому обществу, основанному за несколько лет до того. Эти фотографии, погибшие в блокаду 1942 г. в Ленинграде, были первыми в мире. Вторую фотографию получили также русские ученые: в Монголии Ц. Г. Бадмаажапов, спутник П. К. Козлова, сфотографировал поразительный след болида 29. XII. (1? XII. н. ст.) 1905 г. из Ха Тау-О, Южное Гоби: его нижняя часть на фоне зари была темной, а верхняя часть, в лучах Солнца — светлой. Болид, появившийся в 5 ч. дня "по пути своего полета" оставил едва заметную сероватую полоску и, склонившись "градусов 10 к горизонту, мгновенно превратился в густое облачко дыма, образовавшее затем змеевидную фигуру... Змеевидная полоска представлялась очень эффектной в области нижней трети, попавшей в сферу наиболее густой окраски пустынной зари, тогда как средняя треть походила на яркую белизну кучевых облаков, а верхняя — представляла простой серый дым".

Большой Тунгусский метеорит, пролетевший в Сибири в 7 ч. утра 30. VI. 1908 г., оставил после своего полета след, отмеченный жигичами лицами. В начальной стадии он был бледным, затем более ярким (это явление отмечается постоянно, так как в более разреженных областях разрушение метеорного тела идет менее интенсивно, чем в более плотных нижних слоях и достигает повидимому "максимума" в нижнем участке пути). Этот след завивался клубками из-за вихревых движений в воздухе. Напомним, что в следе Оханского метеорита 30. VIII. 1907 г. наблюдалось спиральное закручивание. В с. Кежме на Ангаре пылевой след Тунгусского метеорита был сначала правее Солнца, к западу, но воздушными течениями "его" сильно смещать к востоку и он прошел перед Солнцем. В этот момент появились "радужные полосы... синие, зеленые, красные", т. е. имели место иризация. По наблюдению Н. Т. Науменко (Кежма) в это время след стал "во много раз шире". В связи с падением метеорита в воздухе, а также оттого, что метеорит сопровождал пылевые массы, в узкой ятмоатмосфере возникали оптические аномалии.

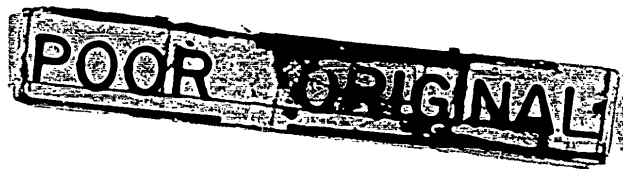
Замечательный пример еще одного пылевого следа дает метеорит Богуславка, выпавший в 11 ч. 49 м. утра 5/18. X. 1916 г. в Приморской области близ станции КВЖД Гродеково-Хорватово в долине р. Бэйчанхэ. В с. Григорьеве бл. Никольска Уссурийского наблюдалось "неяркая полоса сгущенного серого дыма... На горизонте... белое густое облако дыма", рассеянное в 12 ч. 07 м. Этот же след был виден за 350 км в Китае (В. И. Назаров) с Муданьцзянского блок-



горы из Луэн Ту-дза. Болид был красным, а след при полете — виде дыма". И. В. Сапелкин в 1933 г. рассказывал автору, что в 16 км от Никольска-Уссурийского он и инж. Н. Н. Бондарь видели, что болид "с Луну" оставил "туманный, быстро растворяющий след". Это относится к верхней части траектории. В нижней части, ближе к удачному "черному облаку", след был весьма грандиозным (по Гусеву), передавшем автору его сведениям в 1933 г. При движении болида было видно, как сквозь густой темный след моментами прорывались огневые струи. Поднятые метеориты, два из которых находятся в коллекции АИС СССР, третий — в Японии, общим весом свыше четверти тонны, оказались железными. Таким образом, пылевые следы производят не только квадратные, но и железные метеориты. Впрочем при космических скоростях состав вещества не играет главной роли в образовании следа. При падении Сихоте-Алинского железного метеорита также возник мощный пылевой след. В обоих случаях, как и вообще, происходит быстрое расширение следа, особенно в его верхней части.

В 1916 г. в Томске наблюдался солнечный, причем была получена для него третья фотография, находящаяся в Комитете по метеоритам АИС СССР, на ней след болида виден как серая искривленная полоска 21 I 1924 г. в г. Тара, Омская область, в сумерках прошел яркий болид. Между 16 ч 40 м и 17 ч 1 м, т. е. в течение 30 мин., он образовал 4 петли, отмеченные А. Г. Слоницким След болида 1933 г. в Ангарской Стреле (один виден несколько минут 16 XII 1933 при падении каменного метеорита). Первомайский поселок вблизи Южного Польского возник из-за следа, в одном из пунктов проективавшегося на диск Луны в фазе Чудней. Розник радужный венец как и при Гулагском падении, с диаметром, которого автор нашел размер пылинок следа (десятье микрона). Замечательный пылевой след проявился над Троицбургской (ниже Ткаловской) областью 13 VI 1933 г. перед закатом Солнца. Так как сюда съехались многие экспедиции для наблюдения полного затмения 14 VI 1936 г., то этот след наблюдался астрономами (что является редчайшим случаем). Желтый болид с крутым падением — 7 зв. град. прошел на еще свете том небе (из звезд и оставил след, видимый глазом). Его точка и, чрезновения по очень хоршему наблюдению в Сагарчине, Ак Булаке Сары и др. оканчивалась на высоте 11,5 — 24 км. Голос из экспедиции Ююо Стендартов (ША) нашел его поверхность яркость в первые минуты, равную 0,4 фут.-свечей (свет неба исключен).

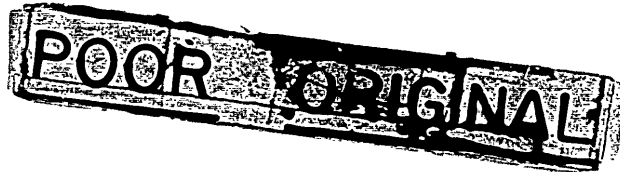
24 XI 1936 г. в 16 ч 40 м (Моск.) над Кузбассом и Сибирью Киргизией прошел грандиозный болид, наблюдавшийся на обширной территории. Его полет явился крупным событием в жизни области из-за мощности звуковых и оптических явлений. След, оставленный находящим Солнцем (в его огне местах уже зашедшим) был виден с час. Здесь несомненно имело место падение метеорита, но не найденного из-за слабой населенности района. Техника сильно выросла за время Первой Мировой войны и давшая развитие ряду областей метеорной астрономии, в отношении изучения пылевых следов, даже немного. Можно лишь сило заключить о сходстве явлений, возникших при конденсации воздушного пара на продуктах горения мотора самолета и болидов 18 V 1941 г. и 17 ч 10 м., т. е. боять туман в сумерки, на мысе Чайки (из бухты Приморской на Чукотке) пролетел над Беринговым проливом огненно-красный болид, оставивший яркий след на голубом небе. Различные стадии развития его пылевого следа были сняты Д. Г. Дебабовым. Турбулентция в следе изучена Ягером.



Разобраные выше случаи относились к вечерним болидам. Причина теперь пылевой след, наблюдавшийся утром на рассвете. В 6 ч 10 в (V пояс) 2. X 1933 г. крупный болид, разразившийся каменным дождем „Старое Песчаное“ в Курганской области Зап. Сибири, со скоростью 15 км/сек проник под углом 54° к горизонту до высоты 43 км, найденный из теодолитных замеров. Высота появления следа $H_{1s} = 82$ км, исчезновения — $H_{2s} = 43$ км, его длина $L_s = 43$ км. Верхняя часть следа расплзлась, как обычно, быстрее нижней, более при этом плотной. В сел. Кушма след, поддержавшийся 1,4 часа, стал проектироваться на взошедшее Солнце, так что у него возник „верх синий, средина злая и светлая“. Наблюдатели, наиболее близко расположенные к концу траектории, указывают на густой черный „дымя“ при полете, перешедший по мере разрежения следа в голубо-изумрудный (близ горизонта казавшийся желтоватым от поглощения света). Таким образом в итоговой стадии след, как и обычное, напр., трюковое, обтеко, создавал гену, почему и казался темным. Бело-голубой оттенок указывает на высокую степень радиопрозрачности материала метеорита. Вначале линейные размеры следа (ширина) были 0,4 км на высоте 70–80 км и 0,1 км в его нижней части (45 км). Затем след расширился до 6–10 км ширины, а его отдельные части разнесены течениями на 40 и более км один от другого. Объем следа в первый момент оказался в 2,5 км³, в конце в сотни раз больше. Нижний конец суммарной массы следа не менее нескольких килограмм, судя по упавшим метеоритам. (Образование следа имело место при дроблении метеорита в концах, когда он летел „лавиной“ отдельных ярких частиц, окутанных черным дымом).

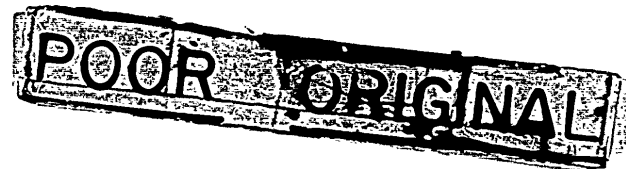
23 VI, 1950 г. на пустыне Центральных Каракумов в Туркменистане в лучах вечерней зары прошел болид — 9 вел. из потока Скорченкоид под углом 34° к горизонту. Болид появился на $H_1 = 93$ км, его след — ниже на 47 км, точка угасания болида, как обычно, совпадает с точкой нижнего конца следа и оказалась в высоте $H_2 = 25,6$ км. След был виден из Астрофизической лаборатории, Ашхабад, в течение 33 мин. Граница земной тени проходила на высоте 43 км, таким образом след освещался рассеянными, а не прямыми лучами Солнца. Длина следа составляла 40 км из 122 км длины пути болида.

Еще один пылевой след в лучах вечернего заката наблюдался также в юго-западной Туркменистане 18. XII. 1950 г. Болид летел над горами Кала с северо-востока на юго-запад; падение метеорита должно было произойти в горах Северного Ирана. Совершенно исключительный пылевой след был сфотографирован Ю. Н. Павловым близ Пензы; он был виден на площади 6 областей от Москвы до Пензы. Воздушные течения уже через 20 минут придали ему вид линии двойной кривизны, так что в некоторых местах он проектировался на небо в виде гигантской цифры „3“. Это было 24. IX. 1948 г. Особенno интересен был след Сихоте-Алинского железного метеорита 12 II 1947 г., тянувшийся до самой поверхности земли, так как метеорит имел большую массу и ударился в почву со скоростью 0,5–1 км/сек, роем кусков. Падение произошло в 10 ч. 36 м. декретного приморского времени, ДВК. Его след был широким, дынным, бурлящим и клубящимся и держался до вечера, т. е. около 8 часов. Вещество следа было совершенно непрозрачным, но вспомнила, что дымовые шашки дают мощные дымовые завесы малым количеством вещества и что дым из печной трубы тоже может заслонить Солнце, т. е. уменьшить его яркость не менее чем на 20 зв. величин (считая, что — 6 зв. в. можно хорошо заметить днем), или более чем в 10⁴ раз. При полете



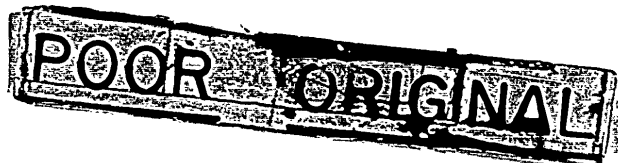
из болида желто-белого цвета вырывались красные пламенные струи и тянулся хвост темно-серого цвета, который в голове был черным. Когда след расширился через несколько часов до 10°—15°, через него начало просвечивать голубое небо. Ночное небо в области полета казалось значительно ярче, чем в других местах*, а на следующие дни на месте следа образовалась белая облачая полоса конденсации, восстанавливавшая его очертания [17]. На расстоянии 300 км в Улунге было видно, что в первой половине пути следа не было и болид летел со следом только во второй половине пути. След имел сначала резкий край и там, где он проектировался на Солнце, последнее во все не было видно. Когда след стал редеть, то Солнце стало просвечивать красноватым диском, что отмечено очень уверенно разными лицами. Художник Медведев в Имане рисовал случайно местный пейзаж и после дорисовал на картине полет метеорита и его длинный след. Из-за штиля общий дрейф следа был мал.

Упомянем некоторые факты из зарубежных данных. Винтообразное движение усматривалось в пылевом следе метеорита Орвиньо 31. VII. 1972 г., пролетавшего над Италией; в следе метеорита Хомстед 12. II. 1872 г. штат Айов, США, было видно сильное движение воздушных масс, возмущенных потоком метеорита С 1907 г. начал исследование метеорных следов Траубридж, показавший, что газовые следы появляются выше 82 км, а пылевые в основном с $H = 64$ км и ниже. Они особенно часты на высоте 40 км, редки выше 64 км (до 80 км); самый низкий след был отмечен простирающимся до высоты 8 км (падение метеорита Эннмерн в Пруссии 1. VII. 1920 г.), были получены фотографии пылевых следов болидов 24. XI. 1910 г. (Центральная Индия), 2 VI. 1912 г. в Южной Африке, несколько снимков из разных мест огромного болида 24 III. 1933 г., показавшие первые признаки пылевого следа на высоте 100 км и достигшего потом объема в 4000 км³. Начало интенсивного свечения болида было на $H = 56$ км, где образовалось облачко, видимое еще час спустя после восхода Солнца К 1920 г. Кальке имел данные о смещении 20 пылевых следов. Размер пылинок Нагвока считал в 10^{-2} — 10^{-3} микром. В 1931 г. Шефер заключил, что диаметр пылевого следа в первый момент составляет десятки метров при длине в десятки км. Траубридж полагает, что пылевые следы видны также и ночью при свете Луны. В 1941 г. Мохаммед Хан, президент Хайдерабадской академии наук (Индия) сообщил о том, что иногда в лунные ночи видны на мгновение в местах вспышек освещенные Луной пылевые облачка некоторых метеоров 2—3 вел. и ярче. Обычные метеоры не оставляют заметных пылевых следов, так как пролетают выше, где рассеивание частиц следа происходит на большее расстояние. Впрочем, Макс Вольф 22. V. 1911 г. видел метеор со следом в 4', после погасания которого звезда в Ориле, которую он пересек (что бывает вообще редко), исчезла на 3,5 сек. Может быть звезда исчезла от нарушения оптической прозрачности воздуха например Л Уилсон 17 V 1911 г. наблюдал прохождение метеора в 35' от Юпитера, после чего в телескоп на протяжении 4—5 мин были видны лишь смутные контуры планеты — так сильно метеор взбаламутил воздух своим полетом. В 1917 г. Эмили Туше во Франции получил снимки следа одного дневного болида. По сообщению В. Гута в Праге на геофизической обсерватории имеется еще один снимок пылевого следа 24. III. 1935 г. Ван-Стрален и Груневальд из 2 пунктов Голландии сняли вертикальный след болида и его смещение. Метеорит Пантар, Филиппины, при полете 16 III 1938 г. создал след, видимый сквозь цирrusы. Яркость



явления, его длительность и распространение пленочных камер ныне облегчает сбор документальных данных по пылевым следам. След 2. V. 1939 г. над Техасом был снят такой камерой за $\frac{1}{25}$ сек. В 1940 г. были получены первые 2 снимка одного следа с самолета, и первая цветная фотография „кодахром”, где след вышел чисто белым на голубом небе (получено несколько кадров ручным киноаппаратом). 28. IX. 1953 г. близ Парижа Бланшар получил фото пылевого следа, видимого на закате Солнца в течение часа и превращающегося в светлые облака. След напоминал конденсационные следы самолетов. Но, к сожалению, обычно эти фотографии остаются без ориентиров и не могут быть научно обработаны. Систематических же наблюдений над пылевыми следами в каком-либо пункте поставить нельзя, так как за несколько десятилетий число таких следов будет 1 или 0. На 250 стойких газовых следов в личном архиве автора пылевых следов только 1 да и то вне программы наблюдений (13. VI. 1936 г., Сагарчин). Имеет смысл, однако, не только проверить „освещенные Луной” метеоры М.-Хана, но и попробовать понаблюдать в бинокли на фоне, заря пылевые полоски более слабых метеоров. Обычные метеоры, как известно, заметны, хотя бы и слабых, пылевых следов не оставляют, так как пролетают выше, плотность следа делается заметной только от высот 64 км и ниже, а обычные метеоры сюда не доходят. Если же какой-нибудь метеор сюда попадает, то он уже не „обычный”, а редкий, потому редки и пылевые следы.

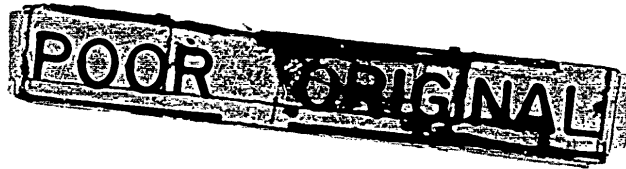
Какими путями можно исследовать след, находящийся в воздухе? Наиболее интересным был бы прямой метод получения „пробы” такого следа с целью определения l — расстояния между пылинками, a — поперечника пылинок имея в руках собранные пылинки, следовало бы найти их распределение $N = f(a)$ по размерам a , расстояние d между рассеивающими элементами в саже частице. Тогда оптическая структура частицы определится отношением $\frac{d}{a}$, где a есть длина волны света, рассеивающие свойства пылинки — величиной $\frac{a}{R}$, оптическая структура следа в объеме R характеризуется через $\frac{1}{a}$, а его рассеивающие свойства — величиной $\frac{R}{a}$. Исследование следа оптическими средствами затрудняется тем, что нам неизвестна функция распределения $f(a)$; в атмосфере напр. наличие пылинок и капелек с $a \sim 0,1$ микрона создает атмосферную дымку, очень сильно влияющую на прозрачность воздуха. Если $l < 1$, то свет отражался бы от следа, как от сплошного твердого тела. Если $l \gg 1$, то возникают явления интерференции света. Если $l \sim 1$, то происходит многократное рассеяние света, при этом играет важную роль величина $t = \frac{aR}{\lambda}$, называемая оптической толщиной мутной среды (у нас — следа). Если $t \ll 1$ то задача упрощается, так как это означает, что достаточно исследовать однократное рассеивание света одной пылинкой. Такая пылинка может быть прозрачной (напр., силикаты каменных метеоритов), либо совсем непрозрачной (частицы железных метеоритов), но это может относиться только к одному участку спектра, а в других лучах оптические свойства, особенно металлических пылинок, бывают совсем иными. Поэтому можно ожидать различия для ультрафиолетовых и инфракрасных снимков следа и спиральных явлений в нем. Для металлических пылинок наиболее рационально производить измерения



поляризации света, отраженного от них. Если μ есть показатель поглощения и n показатель преломления, то для силикатных пылинок можно найти у по величине поглощении света, прошедшего через лабораторный образец, по коэффициенту отражения которого можно получить и μ . Разнообразие μ и n производит разнообразие красок в природе. Мало прозрачные тела отражают одни цвета и пропускают дополнительные; мало поглощающие тела рассеивают свет на элементах мутности и потому одинаково окрашены и в отраженном, и в проходящем свете. Чёрное тело не отражает и не пропускает света. Как же будет обстоять дело с пылевым следом в целом?

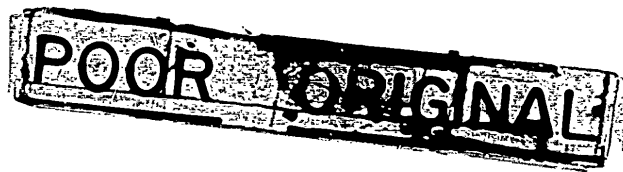
Рассмотрим сначала поведение отдельной пылинки, которую будем считать шариком радиуса a . Помня о волевой природе света, положим $\mu = \infty$. Если $\mu > 0$, то такую частицу можно считать малой.

она будет рассеивать свет обратно пропорционально r^4 , так что мы увидим голубых лучей больше чем красных, как, напр., в свете дневного неба или в кольце Сатурна. В силу волновых свойств света такая частица (прозрачная или нет) рассеивает одинаковое количество света как по направлению падающего света (вперед), так и навстречу ему (назад). Представим теперь себе, что наш шарик гладкий и отражает зеркально, как велосипедный шарик. Ясно, что основное количество света он отразит назад, причем равномерно во все стороны. Это легко видеть, наблюдая отражение света Солнца в таком шарике. Теперь увеличим шарик до $r = 1$; из-за дифракции света часть световой энергии начнет перебрасываться вперед в теневую область, так что при $r = 3$ вперед и назад будет рассеиваться свет поровну. При $r = 6$ наступает переход к "крупным" частицам. Возьмем шарик с $r = 10$. Он может быть прозрачным, как стеклянный, или непрозрачный, как угольный или как зеркальный. В первом случае световая энергия, проходя через шарик, рассеется вперед и назад ничего не отразится. Практически соотношение будет около 94% и 6%. Зеркальный шарик даст простое сферическое отражение назад, впереди него будет тень. Чёрный угольный шарик назад ничего не даст, а практически из-за дифракции и отражения некоторое количество энергии пошлет вперед. Теперь посмотрим, что даст облако частиц, т. е. пылевой след. Сначала допустим, что все шарики одного размера. Облако малых частиц ($r < 0.1$), прозрачных и непрозрачных, если оно не слишком густое, будет казаться голубоватобелым, если же очень густое, то начнет давать теневые явления. Пусть теперь будет облако из "больших" частиц ($r > 10$). Оказывается, что рассеяние от массы таких частиц происходит так же, как от шара того же объема. Мало того мы считали частицы шариками. Оказывается, что очень вытянутые частицы (типа палочки), или очень сжатые (лепешечки), беспорядочно ориентированые, будут рассеивать также, как и шар, но только несколько иного объема. Гораздо сильнее оказывается влияние неоднородности частиц, когда они неодинаковы. Тогда появляется добавочное рассеяние, которое может исказить довольно сильно теоретически ожидаемую "индикатрису рассеяния". Таким образом для пылевого облака важно было бы измерить прозрачность в слое, толщина которого известна, найти индикатрису рассеяния и определить степень поляризации рассеянного света. Все это лучше всего делать в лучах одного цвета. Смещение угла β наибольшей степени поляризации происходит закономерно при измерении β от 0 до 1, поэтому, измерив β , можно судить о размере частиц. Если I есть количество света, прошедшее путь L в облаке, а I_c — начальное



количество света, то величина $\alpha = \frac{1}{c} \log \frac{n_1}{n_2}$ называется коэффициентом экстинкции. Зная его, легко определить число пылинок N в 1 см³, так как с учетом дифракции оказывается, что $\alpha = 2\pi N a^2$, а общее количество пыли в граммах на см³ будет $M = \frac{\rho}{a^3}$. Всем известно, что вблизи Солнца небо кажется ярким: причиной тут индикатора рассеяния, направленная вперед. Околосолнечное сияние тем ярче, чем больше V . Есть еще замечательное явление — венец или глория вокруг тени головы, падающей на облако тумана, на пыльную почву или на росинки. Глория видна вокруг тени самолета, попадающей на облако. Это дифракционное явление происходит из-за рассеяния света "назад". Им же объясняется "Брокенский призрак" и наличие обычных иконописцев изображать венчики вокруг головы. Дифракционные круги или радиужные "венцы" вокруг Луны обязаны происхождением рассеянию "вперед", это явление наблюдается в пылевой атмосфере (кольца Биннера), на капельках воды и кристаллах льда в облаках или на замерших окнах. Угловой радиус θ такого круга, радиус частицы r в зависимости от порядка n кольца и длина волны λ связаны формулой Шерниера $r = \frac{n+0.22}{\sin \theta} \lambda$. Например, красно бурое кольцо при извержении Кракатау дало размер вулканических пылинок $\alpha = 1,5$ микрона.

Вернемся к темам о пылевых следах. Дифракционные кольца наблюдались в них трижды у нас в СССР — в 1903, 1933 и 1947 гг. и видимо также при падении Старого Песьяного в 1933 г. Для радиуса кольца первого порядка ($n = 1$, примем $\theta = 6^\circ$, тогда $a = 3,5$ микрона $\sim 44 \mu$, следовательно частицы пылевых следов были "крупными". Когданибудь, поднявшись выше следа, можно будет увидеть на нем глорию, так как для $\theta = 6^\circ$ зеркальные шарики отражают 25% назад и 75% вперед (при $\theta = 0$ и 180° соотношение соответственно есть 80, 20 и 67, 33). То, что шарики можно принять за зеркальные, видно из работ Е. Л. Крикона, нашедшего их кук на поверхности самих метеоритов, так и на месте падения Сихотэ-Алинского метеорита: шарики блестящие, словно никелированы. Вероятно также гладкие и блестящие силикатные шарики судя по данным опытов с их плавлением и пульверизацией. В том и другом случае они оказываются микроскопическими капельками, слущеными с расплавленной поверхности тела и пульверизованными в воздухе. Имеются ли в пылевых следах частицы неправильной, обломочной формы, мы не знаем, но если они есть, то влияние формы для малых частиц является второстепенным в рассеянии света. Здесь важны размеры r и число частиц V . Лабораторные исследования дымов табака, ладана, копоти, нацатыря и др. показывают, что в визуальной области спектра коэффициент поглощения $K = \alpha \cdot \lambda^{-2}$, причем при $a = 10^{-2}$ микрона и менее, $x = 6$, $\alpha = 4$; при $a > 10$ микрон и более, $x = 2$, $\alpha = 0$, т. е. более крупные частицы пропускают свет, не окрашивая его. Для частиц в 1 и 0,1 микрона соответственно $x = 3,2$ и 4,8 и $\alpha = 1,2$ и 2,8. Это использовал В. Г. Фесенков для оценки размеров частиц выброшенных в атмосферу взрывом Тунгусского метеорита; он получил их радиус $a = 1$ микрон. Можно думать, что при движении метеорита на разных высотах будут формироваться частицы разных размеров и что в каждый данный момент полета образующиеся частицы могут быть также различными. Найдем то расстояние D , проходя которое в пылевом следе интенсивность света уменьшится в $r = 2,718$ раз.



(τ неперово основание). Если a есть коэффициент ослабления, то $D = \frac{1}{\tau} = \frac{1}{2\pi a N}$; выражая a в микронах, плотность δ в $\text{г}/\text{см}^3$, число частиц N на см^3 , q массу частиц в $\text{г}/\text{м}^3$, мы получим $D = \frac{2a}{3q} \cdot 100$ метров. Мы уже видели, как велико поглощение в дымах печной трубы, где D может оказаться менее дециметра: в облаках водяного пара обычно $D = 5 - 10$ м, в обычном тумане 500 м. Измерим всю длину пути светового луча в пылевом облаке, выразив ее в единицах D . Мы получим отвлеченное число, называемое оптической толщиной T . При $T = 3$ из 100% упавшего света сквозь тело пройдет только 1% или около 5%. Для ориентировки укажем, что в обычном тумане при диаметре капелек 10 микрон среднее расстояние $L = 4 - 5$ м и $q = 6$ миллиграммов м^3 . В густом тумане капли крупнее, около 100 микрон, $L = 20$ м, q больше в 9—10 раз, а в облаках — в 25—80 раз. Н. Полатбеков исследовал лабораторно поглощение света одной час-тицей каменного метеорита Старо-Песчаного, пылевой след которого был описан. Он произведено измерение в чистой воде и в воде, примесью порошка метеорита (спирт), причем подсчитывалось число N частиц. Спектр поглощения сфотографирован. При $\lambda = 1,3$ и 2,6 миллиона на см^3 оказалось, что размеры частиц $r = 3$, причем частицы с $r = 4$ или 2 было меньше в несколько раз. Коэффициент ослабления света есть K ; на одну частицу получается $\tau = \frac{K}{N} =$

$-0,05, 10^{-6}$ в зеленых лучах и в 2,5 раза больше в синих. Более мелкие частицы дают меньшее τ , хотя и непропорционально радиусу. Общеизвестно, что наиболее непрозрачным будет такой туман, где $\tau = a = \lambda$ (Г. И. Покровский, 1939). Пылинки комнатного воздуха, видимые в луче солнечного света, в среднем имеют размер 0,5 микрона.

Наиболее распространена следующая классификация мелких частиц-взвесей (аэрозолей)

1. Пыль — размер свыше 10 микрон, падение в воздухе с ускорением, диффузия места не имеет. Ее совокупность есть аэрозоль.

2. Туман — размер от 10 до 0,1 микрона, падение в воздухе с постоянной, но малой скоростью, диффузии нет. Частицы твердые или жидкые.

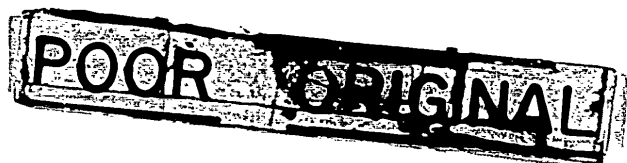
3. Дым — размер 0,1 до 0,001 микрона, падения не происходит, движение подобно молекулам газа, частицы участвуют в броуновском движении, диффундируют.

Опыт показывает, что частицы размером > 1 микрона в воздухе не могут долго оставаться они слипаются, соединяются с ионами, скрупляются и потому выпадают на землю, как говорят — коагулируют (обратный процесс есть дегидрация). Такие частицы неустойчивы и загрязняют воздух временно. Постоянное загрязнение создают более мелкие частицы. Например, частицы взрывов Кракатау носились на высотах 8—24 км более 5 лет. Однаковая электризованность частиц тумана приводит также к его относительной устойчивости. Наблюдениями [1] в лаборатории над жизнью дымов найдено, что нет пропорциональности между концентрацией и яркостью. Напр., в очень тонких дымах увеличение отражения происходит через несколько времени после образования дыма, причем оно связано с изменением цвета дыма. В других случаях дымы с большей концентрацией частиц почти прозрачны, напр., дым автомашин. С увеличением степени измельчения частиц общая яркость облака частиц растет при том же количестве



материала, это справедливо в больших пределах. При медленном дымообразовании возникают крупные дымовые частицы и обратно. Дымы с концентрацией 50 мг/м³ изменяются не слишком быстро (часами), причем изменение числа частиц со временем одинаково для разных дымов. При испарении металлов всегда (кроме Au, Ag и Pt) в электротропогене получается дым из их окислов; при этом частицы дыма получались сильно заряженными, как и при бурных химических дымообразующих реакциях. При низкой температуре этого нет, зато частицы оказываются заряженными потоком, видимо за счет присоединения ионов воздуха. Таковы свойства металлических аэрозолей, соответствующих пылевым следам железных meteorитов. Поскольку их шарики найдены металлическими, то это значит, что они были слуги при "низкой" температуре из вязкой пленки застывающего железа. Действительно, многие шарики имеют вид капельки с хвостиком или, как пузырьки, полы внутри. В электрическом поле частицы окислов железа Fe₂O₃ образовывали цепочки, тогда как в отсутствии поля этого не было, как и напр. для окиси кремния SiO₂. Окись магния имеет довольно большие шарки. При возникновении дычковых частиц играет роль концентрация, температура, давление, размер и электрическое состояние. Степень дисперсности определяет устойчивость дыма: крупные частицы коагулируют быстрее. Кроме того, с понижением концентрации ниже некоторого предела аэрозоль становится устойчивым, напр. при N = 10⁹ - 10¹⁰ м⁻³. Аэрозольное облако обычно полидисперсно - в нем всегда представлены частицы разной величины. Плотность каждой пылинки всегда ниже плотности вещества, из которого она возникла в 2-10, обычно в 4-6 раз, поэтому она при расчётах заменяется эквивалентной ей сферической. Считается, что устойчивость дымового облака не зависит от его электрических свойств, хотя напр. действием ультрафиолетовой радиации пылинки заряжаются. Работа, идущая на образование пылинок, пропорциональна их суммарной площади, подчас очень большой: напр., 1 мк³ вещества, превращенного в 10¹⁰ кубиков по 1 куб микрону будут иметь поверхность 0,6 кв. метров! Механическое измельчение твердых тел не дает частиц мельче 10 микрон и с трудом удается рядом приемов получить 1 микрон. Гораздо легче получается распыление жидкости, причем степень дисперсности пропорциональна энергии удара и тем больше, чем меньше вязкость, плотность и повеохностное напряжение жидкости, причем оказывается, что процесс пульверизация связан с возникновением пузырьков с тонкими стенками. При лопании последних они еще разрываются на более мелкие части, принимающие сферическую форму, как имеющую наименьшую энергию (К. И. Вейцер, Г. П. Лучинский, б, стр. 25). Наиболее высокую дисперсию дают взрывы, так как газовая волна ударяет с большой энергией и преодолевает силы сцепления. Вещество с высокой температурой и кипящим, будучи жидкими, могут насытить своими парами потоки горячего воздуха. После их охлаждения может выделиться (конденсация) высокодисперсный аэрозоль. При t > 500° уже трудно искусственно получить из данного вещества дым, его окажется слишком мало. При взрывах иногда конденсация паров вещества происходит на раздробленных пылинках того же вещества. Оседание пылинок в воздухе определяется формулой Стокса (1852 г.) в пределах от 0,4 до 100 микрон: $v = \frac{2}{9} \cdot \frac{\rho_m - \rho}{\eta} \cdot r^2 \cdot g$

где r - радиус частицы, ρ_m и ρ - плотность воздуха и частицы, g - ускорение силы тяжести и η - коэффициент вязкости ($1,6 \cdot 10^{-4}$). Частицы падают в воздухе так, чтобы сопротивление движению оказалось наи-



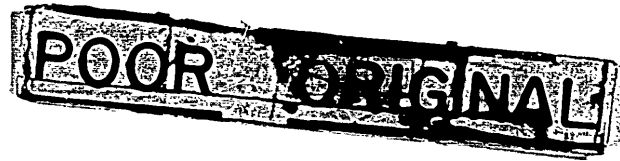
большим, напр. пластинки — плашмя, бруски — горизонтально и т. д. На более крупных частицах оказывается влияние энергии воздуха, который сжимается и замедляет падение. Такие «надстоксовые» частицы нам не будут встречаться. Численно скорость падения для шарика плотности $\rho_m = 1$ такова (Стокс-Милликен).

табл. 1

Радиус шарика $r=100$	10	1	0,1	0,01	0,001
Скорость падения 120	12	0,013	0,0022	0,00011	10^{-6} см/сек

При $a = 0,1$ микрона размер шарика делается сравнимым с даниной пути свободного пробега молекул воздуха, шарик начинает проскальзывать между ними и сопротивление падению уменьшается, что учтено в данной табличке. Для частиц 0,05—0,1 микрона скорость оседания делается такой, как и скорость Броунова движения и падение начинает происходить зигзагообразно. Более мелкие частицы участвуют в молекулярном движении газа и не оседают. Опытом это нашел Винкель для дыма окиси железа. В случае метеорных следов развеивание их ветром оказывает большее действие, чем старение дыма от коагуляции и осаждения, поэтому эти два явления должны играть второстепенную роль. Если концентрация N становится менее 10^6 на см^3 то коагуляцией, играющей роль рекомбинации в ионных следах, можно пренебречь. Каково V в ионных следах? Мы знаем, что с 1 см^2 поверхности метеорита в полете за 1 сек. может срываться слой до 4—7 мк толщины. Пусть полет метеорита в 300 кг длится 8 сек, из них 4 сек со следом, длиной 80 км и начальной шириной 100 м. Потеря вещества при плотности $\delta = 3$ составит около 100 кг, которые, будучи равномерно рассеяны в пылевом цилиндре следа, дадут плотность $4 \cdot 10^{-6}$ г/ см^3 . Приняв размеры пылинок следа в 1 куб. микрон, мы найдем их число в 1 см^3 равным $N = 180$. Только при ширине следа в 10 раз меньшей, что может длиться лишь мгновение, $N = 1,8 \cdot 10^6$ см^3 . Таким образом коагуляцией в пылевых следах метеоров можно вполне пренебречь. Только в случае присутствия субмикроскопических частиц, оптически заметных, но в массе составляющих лишь несколько процентов вещества следа, это имело бы значение, но удельная роль таких частиц, как видим, невелика. Пылевой след, образованный метеорным телом в атмосфере, становится составной частью этой последней и в своем поведении обязан подчиняться законам поведения воздуха — напр. участвовать в термической и динамической циркуляции и турбулентции. Чем последняя выше, тем быстрее идет перемешивание следа с чистым воздухом и быстрее разрушается пылевой след.

По причине недостаточности концентрации N частиц следа в нем можно было бы пренебречь многократным рассеянием света, если бы оптическая толщина не была велика. Изза многократности рассеяния возникают те дифракционные явления, о которых мы говорили и по этой же причине поляризация отраженного света уменьшается, снет в некоторой степени деполяризуется. К сожалению, мы не знаем пока таких измерений, их следовало бы произвести в трех положениях под 60°. Добавочное освещение следа рассеянным светом неба также уменьшает степень поляризации и придает белесоватый оттенок. На границе следа происходит частичное отражение света, на величину которого (альбедо) оказывает влияние количество света, пог-



лощенного и рассеянного внутри следа. Однако видимая яркость следа будет зависеть от того, под каким углом его освещает Солнце. В облаке частиц происходит рассеяние света. Его производят частицы с $r \ll 1$ (молекулярное рассеяние Рэлея), $r \sim 1$ (дифракционное рассеяние Мю) и преломление и отражение по законам геометрической оптики в случае $r \gg 1$ (геометрическое рассеяние Френеля). Эти три вида рассеяния плавно переходят друг в друга; иногда в одном облаке можно одновременно получить все три вида рассеяния. В первом случае интенсивность рассеянного света F пропорциональна квадрату объема V частицы или a^3 , что следует из закона Рэлея $F = \frac{24\pi^2}{\lambda^4} \cdot V^2$.

$\left(\frac{n^2 - n_0^2}{n^2 + 2n_0^2} \right)^3$, где n и n_0 коэффициенты преломления частицы и воздуха.

Изучая рассеяние света, удалось даже установить, какие молекулы газа вытянуты или сплюснуты Центрами дифракционного рассеяния являются пылинки; оно является для нас основным фактором, определяющим оптические свойства пылевых следов, а так как a близко к λ , то малые изменения исходных параметров могут привести даже к противоположным результатам. Интенсивность рассеяния будет зависеть от диаграммы направленности, длины волны и некоторой степени радиуса. Это — известный нам случай из радиолокации, где размеры излучателя и длина волны одного порядка. Мы уже видели, что при $a = 1$ микрон $r = 11$, так что частицы будут считаться крупными для них геометрическое рассеяние дает 16,8% энергии, рассеиваемой назад и в стороны, тогда как 63,2% обогнет частицу и пройдет вперед. Поэтому пылевое облако вблизи Солнца будет особенно ярким; то же происходит на небе в сегменте зари. Таким образом, дифракционное рассеяние в нашем случае является основным. Если бы можно было измерить из двух пунктов по разным направлениям яркость облака, тогда, используя рассеяния, по соотношению яркостей можно было бы найти размер частиц пыли. Например, по Ф. Ф. Юдаевичу для синего света ($\lambda = 0,525$ микрон), это отношение для углов 160° и 20° равно 0,01. Изменение размера частиц всего в два раза увеличивает эту цифру в десятки раз, так что метод был бы очень точным. Совместное действие молекулярного и дифракционного рассеяния приводит к тому, что в законе Рэлея интенсивность рассеяния будет убывать пропорционально λ^{-6} , где $b < 4$. Наблюдая облако „на просвет“, можно было бы найти общее поглощение света, хотя нужно помнить, что здесь действует также избирательное поглощение. В лучах одной волны прозрачность облака может быть совсем не такой, как в другом цвете. Шулькин доказал наличие максимума прозрачности при некоторой λ , например, для капелек воды в 1–2 микрона $\lambda = 0,490$ мк. У более крупных частиц, где рассеяние геометрическое, этого нет. Прозрачность пылевых облаков как из мелких, так и из крупных частиц увеличивается к красной части, что хорошо известно из применения светофильтров в биноклях и фотоаппаратов. Размеры частиц искусственных лабораторных дымов, включая сажу, обычно равны 1–2 микрон. У них поглощение наибольшее в видимом спектре. Более крупные частицы (2–14 микрон) рассеивают и ослабляют одинаково все длины волн. Здесь рассеяние пропорционально квадрату радиуса: таким образом переход от второй к шестой степени радиуса происходит плавно между $r = 6$ и 2 , например для $\lambda = 0,61$ при $a = 0,26$ – $0,29$ и $0,31$ – $0,35$ микрон $r = 2,8$ и $3,4$ и соответственно показатель $3,8$ и $2,2$. Для рыхлых пылинок дело будет обстоять иначе. Интенсивность рассеянного света может быть пропорциональна их объему и

POOR ORIGINAL

зависеть от формы. В пылевых следах каменных метеоритов вероятно можно встретить большее разнообразие формы и размеров частиц, чем у железных метеоритов. К сожалению, оказывается невозможным, измеряя интенсивность облака находить N и λ , и только для больших частиц, когда справедлив закон квадрата радиуса, это возможно, как доказали Траубер и Вернер. Это уже область геометрического рассеяния. Диаграммы рассеяния здесь также направлены вперед с коэффициентом направленности напр. для капли воды, равным 24, соотношение „назад : вперед“ попрежнему 0,168, рассеяние независимо от λ , что хорошо проверяется напр. на обычных облаках. На металлических шариках преломленная энергия по лотится и потому лепесток диаграммы рассеяния будет направлен не вперед, а назад, металлические шарики будут действовать как непрозрачные экраны. Таким образом, пылевые следы метеоритов каменных и железных, если они состоят из таких крупных частиц (>2 – 3 микрона), будут отличаться по виду: проектируясь на диск Солнца или Луны, они не создадут вокруг них таких ярких ореолов, как более мелкие частицы с дифракционным рассеянием. Действительно, при падении Сихотэ-Алинского метеорита „железное облако“ дало лишь поглощение солнечного света и потом его частичное окрашивание а для Тунгусского и других каменных метеоритов наблюдались радужные дифракционные явления в следе.

При малой концентрации или малом объеме облака происходит однократное рассеяние света и суммарное действие облака равно действию одной частицы, помноженному на число частиц. Если же концентрация велика и либо облако очень протяженное, то рассеяние света происходит после ряда отражений. Если частицы занимают 1 : 10³ всего объема, то хотя такое многократное рассеяние и имеется, но оно еще невелико. Так как пылевые следы обычно густы и непрозрачны, то приходится считать, что в них кроме основной массы частиц сравнительно крупных (напр., порядка 1 мк) присутствует еще малое по массе, но большое по количеству, число субмикроскопических частиц, напр. с $a=0,1$ – $0,01$ мк. В В. Шулькиным доказано, что при сильном многократном рассеянии ослабление потока света идет не по показательному закону Ламберта $J=J_0 e^{-x}$, а по гиперболическому $J=J_0 \cdot 4,5/d$, где d есть коэффициент рассеяния. Кроме того, происходит „осреднение“ спектрального состава и деполяризация. В целом пылевое облако оказывается вполне непрозрачным, белым, мало поляризованным. Вдобавок в нем сильно увеличивается поглощение, пропорциональное площади частиц (а не массе их). Частицы угля с $a=0,18$ мк в желтозеленых лучах $\lambda=0,50$ – $0,70$ мк поглощают 20–15% по вычислению и опыту, общих же формул не существует. Если существует в видимом спектре область избирательного поглощения света, то пылевое облако окажется окрашенным. Мы обычно этого не наблюдаем очевидно потому, что в облаке присутствуют частицы разных размеров с разными областями поглощения.

ЛИТЕРАТУРА

1. Астапович И. С. — Большой Тунгусский метеорит. II. Результаты исследований Природы 40, № 3 11–23, 1941, англ-часть 59 назв. Стр. 14 — пылевой след Тунгусского метеорита, его природа
2. Ои же — Новые успехи в изучении метеоритов Природа 30, № 4, 8–27, 1941. Стр. 19–20. О пылевых облаках и космопыле в атмосфере.



3. Он же—Инструкции для наблюдений болидов. Бюлл. ВАГО № 5 1940, стр. 8-14. Имеются указания в наблюдению газовых и пылевых следов.
4. Он же—Метеорные методы исследования стратосферы. Уч. зап. Сарат. ун-та, 15, в 3 Астр.-физ. 82-99, 1940. Стр. 89-90 первое определение размеров пылинок следа по дифракционным явлениям
5. Ватолин Н.—Пыль. М.—Л., 1935, 80 стр. Обзор по атмосферной пыли.
6. Вейцер Ю. И., Лучинский Г. И.—Химия и физика маскирующих дымов. М.—Л. 1938, 320 стр. Отдельные главы излагают оптические явления в дымовом облаке, рассеяние и поглощение света на пылинках, устойчивость дымового облака и поведение его в атмосфере. Изд. 2, 1947 г.
7. Дебабов Д. Г.—Редкое зрелище—падение метеора Огопек 1944, № 1, стр. 12. Имеются 3 фотоследа, описание источника Одна фотография в книге „Метеоры фотографии”, 1952, М.
8. Драверт Н. П.—Воздушные страхи Тобольска в старину. Отд. отиск № 3 из „Сибирские огни” Новосибирск 1940 г. Летописные занятия о болидах 17-19 вв. и о их пылевых следах.
9. Джинбас—Аэрозоли. М., 1929
10. Известия Русск. астр. об-ва т. № 7-9-12. Журнал общего собрания от 17. XII. 1898 г., сообщение С. П. Гаврилова
11. Кринов Е. Г.—Инструкции по наблюдению падений, поискам и сбору метеоритов М.—Л., 1950, 32 стр. Имеются указания к наблюдениям положения сас-дов болидов
12. Козлов Н. К.—Нар. Русск. геогр. об-ва 43, 215. Фотография следа болида.
13. Полатбеков П. Ф.—Исследование оптических свойств метеоритного вещества Изд. АН Каз. ССР, сер. астр. и физ., в. 3, 1948, стр. 42-61.
14. Саврухин А. Н.—Исследование болида 1950 июня 23 и дрейфа его следа. Изд. АН Туркм. ССР № 7, 69-73, 1951. 1 фиг
15. Святской Л. О.—Астрономические явления в русских летописях. Илл., 1915. Летописные данные о сасдах болидов 11-17 вв.
16. Фесенков В. Г.—Помутнение атмосферы, произведенное падением Тунгусского метеорита 30 июня 1908 г. Метеоритика, б, 8-12, 1949.
17. Он же—Обстоятельства падения Сихотэ-Аянского метеорита Нар. АН Каз. ССР, сер. астр. и физ., в. 3-11. Описание следа.
18. Падение метеорита в Приморской области Изд. РОДМ 5, № 6 (14), 297-298, 1916. Описание следа метеорита Богуславки (Ред.).
19. Уайтлоу Грей, Петерсон—Дым. Исследование в области взрыводispersных систем. М.—Л., 934, 172 стр. Гл. 13—рассеяние света дымами, гл. 14—электрические заряды в дыме
20. Шифрин Н. С.—Рассеяние света в мутной среде М.—Л., 1911, 928 стр., лист-ри 128 изв. Лучший обзор вопроса.
21. Hoffmeister C.—Die Meteorre 1917, 124 стр., Leipzig.
22. Nielsen A.—Medd. Ole Rømer obs., Aarhus, 23, 36, 1953. Фото пылевого следа болида 8. III 1951 г. в конку с некоторым зари
23. Nöllinger H. H.—Sky and Tel. 7, 12, 292-295, 1913. Две фотографии пылевого следа метеорита Нортон, падение 14. II 1913 г.
24. Oliver J. h P.—Meteor, Balt 1915, 276 стр. Глава 13—метеорные следы.
25. Union obs Circ № 1, 1912, Капштадт. Фото пылевого следа № VI. 1912 г.
26. Malsch W.—Zts. ang. Meteor. 50, 325, 1933. Метеорные следы
27. Huburt E.—Publ. astr. Soc Pac 44, 178, 1932. Дрейф следов.
28. Kahlke, S.—Ann. d. Hydrogr. 1921, сентябрь. Смещение следов под действием воз-душных течений.